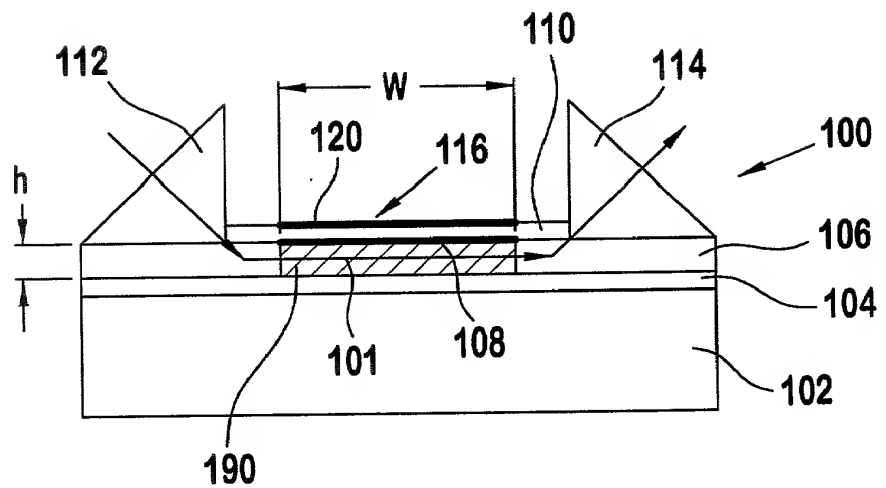
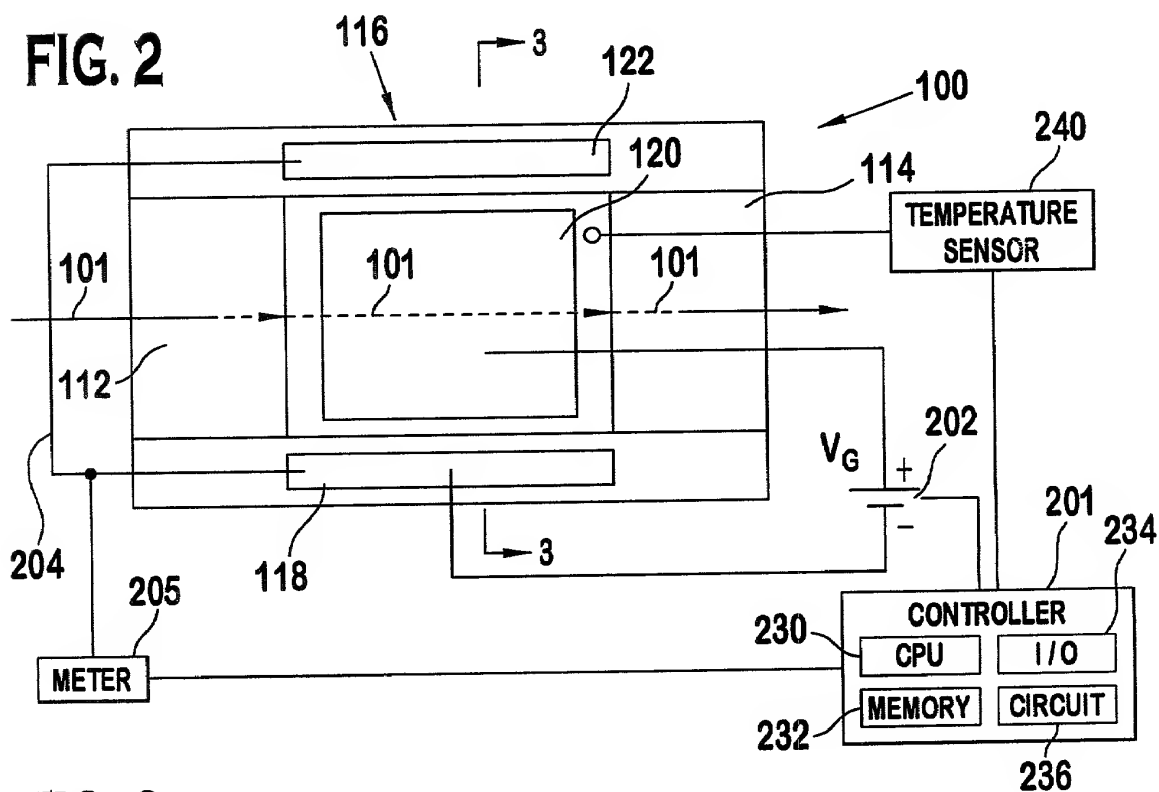
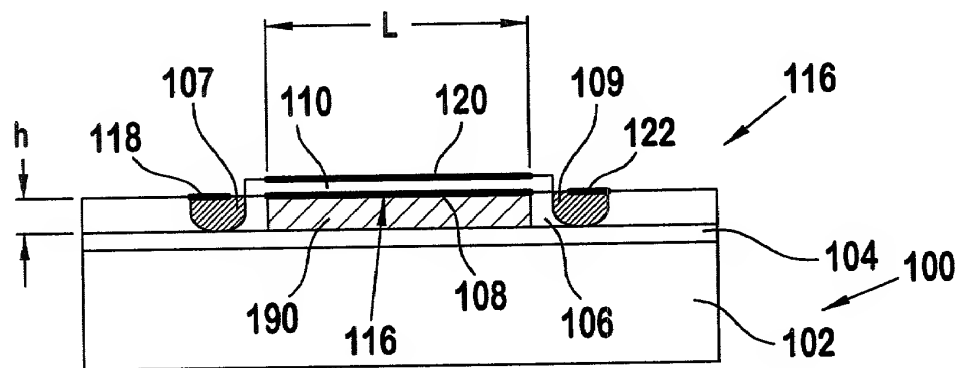


FIG. 1**FIG. 2****FIG. 3**

2/55

FIG. 4

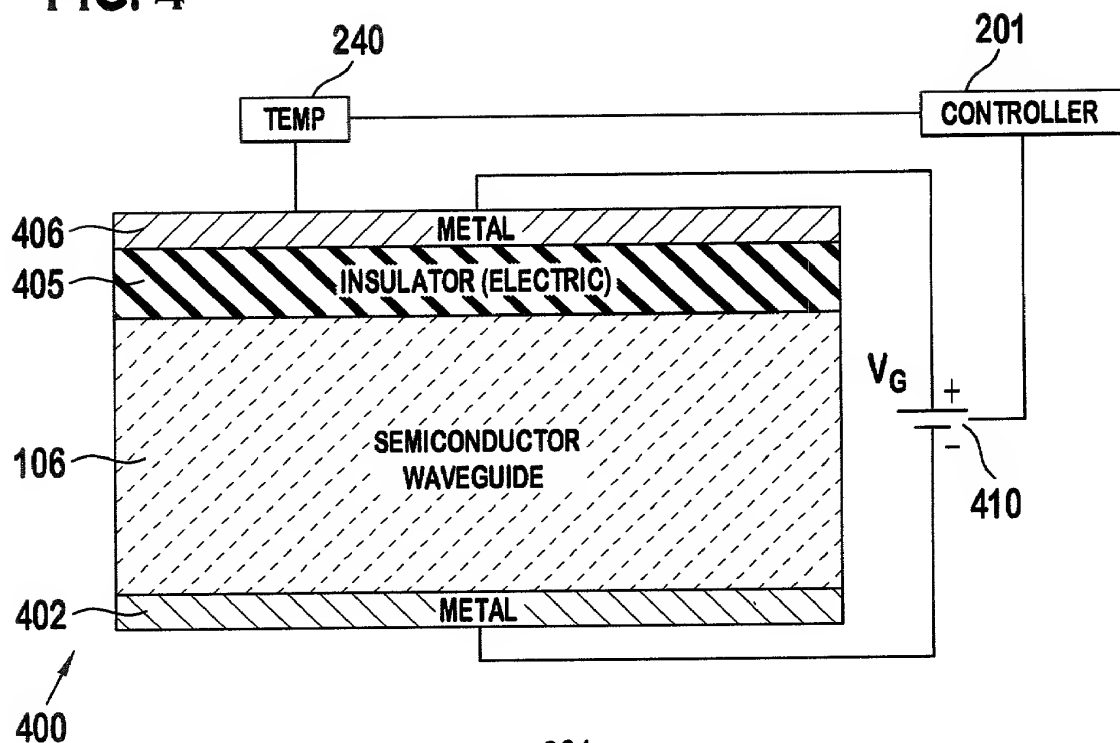


FIG. 5

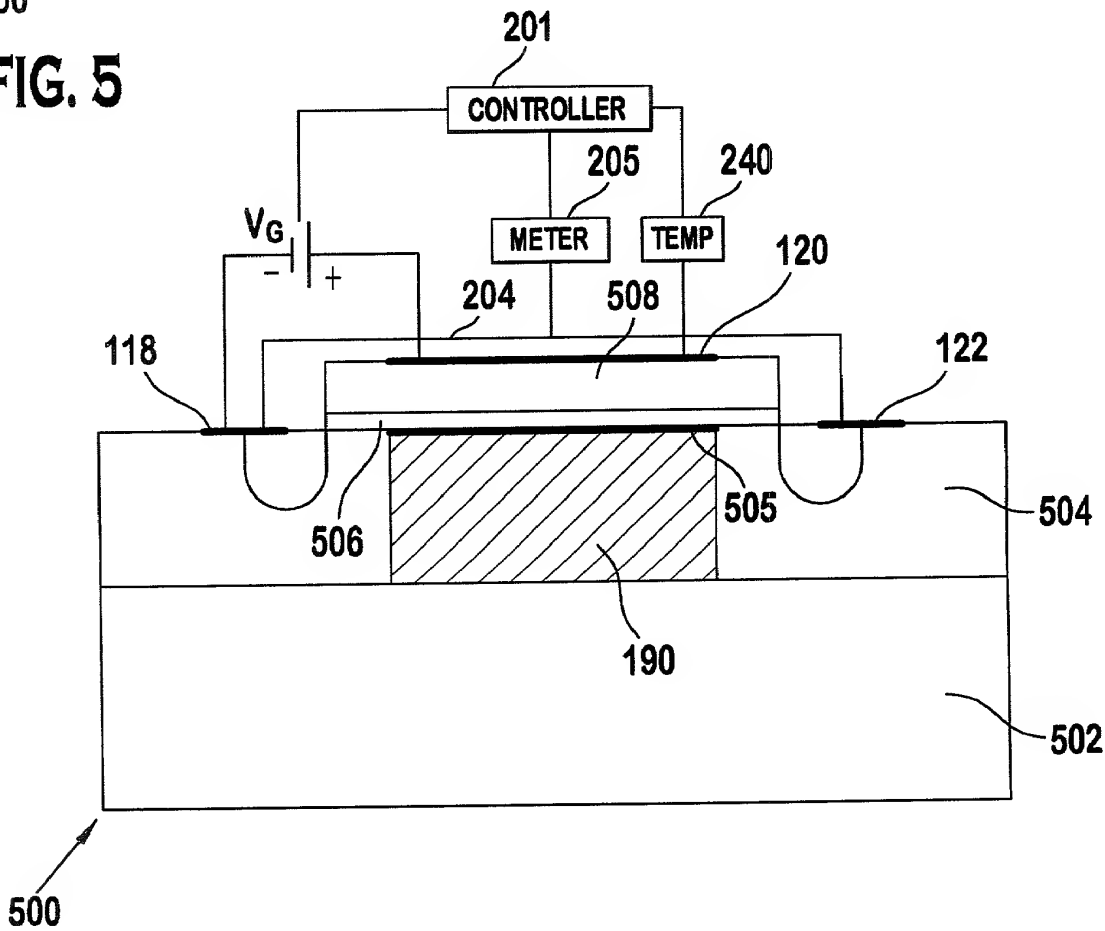


FIG. 6

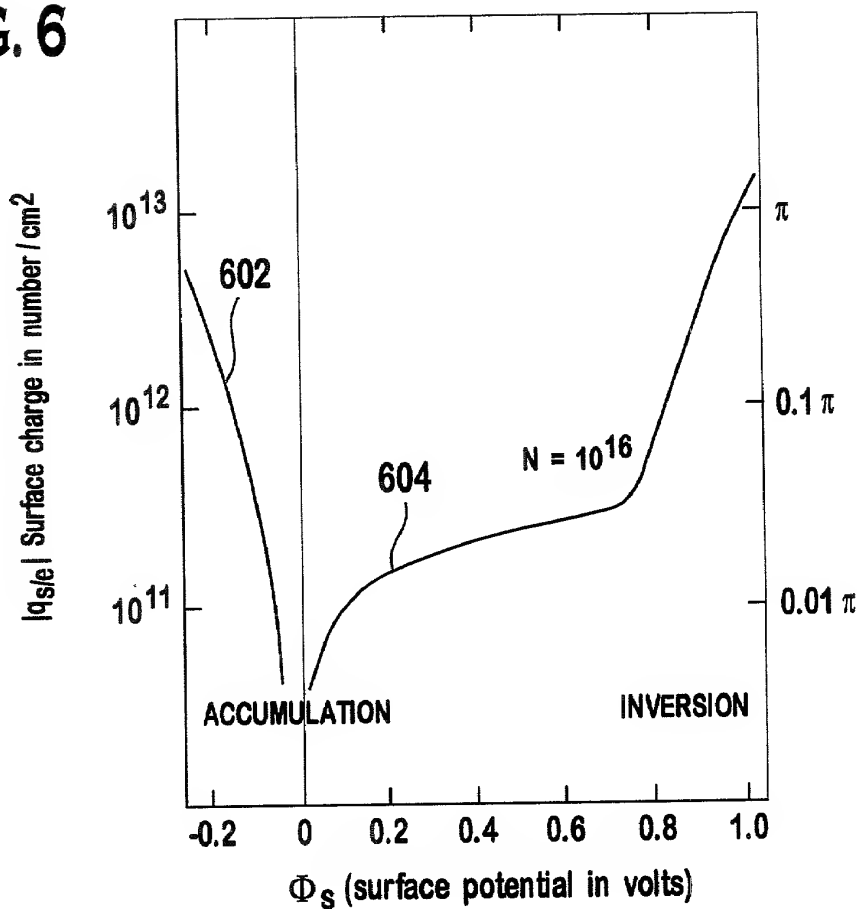
Phase shift for 3 mm long device with 0.2 μm waveguide

FIG. 7

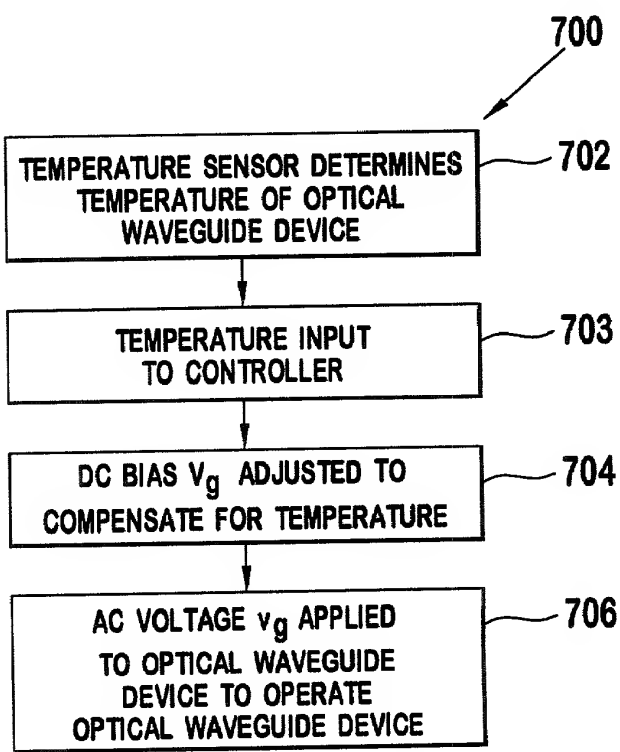
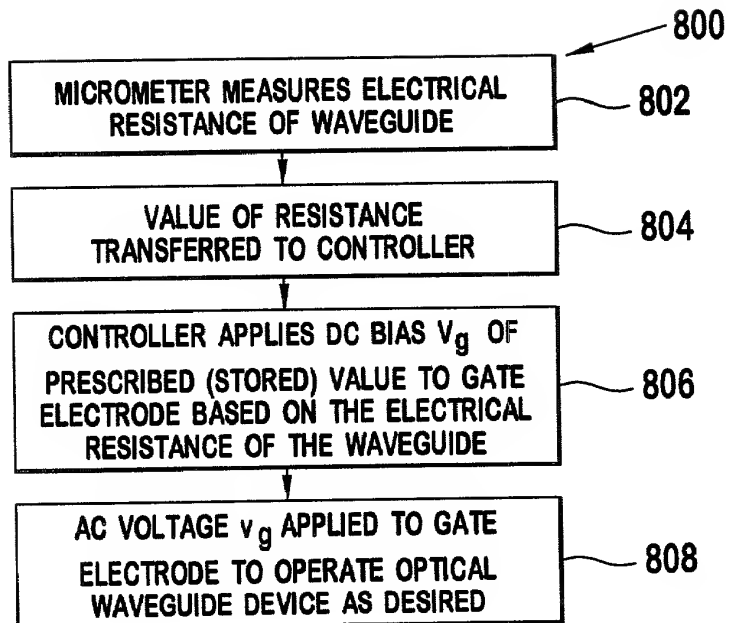
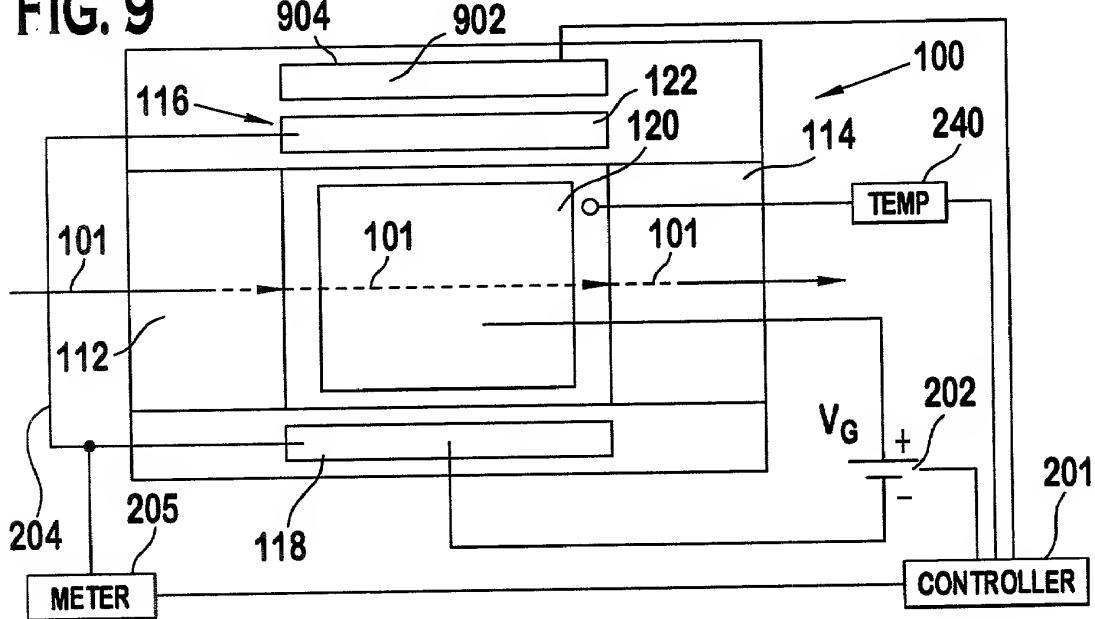
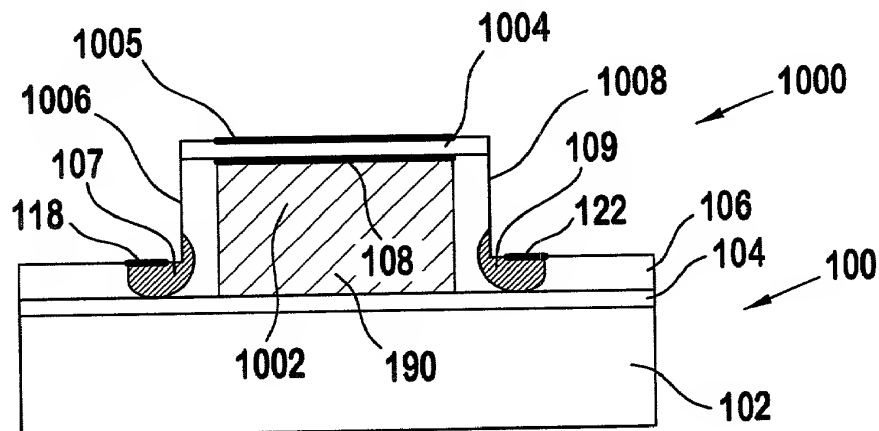


FIG. 8**FIG. 9****FIG. 10**

5/55

FIG. 11

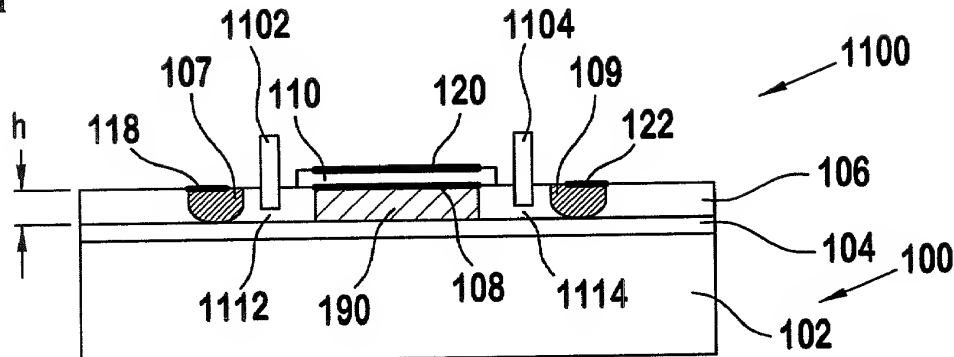


FIG. 12

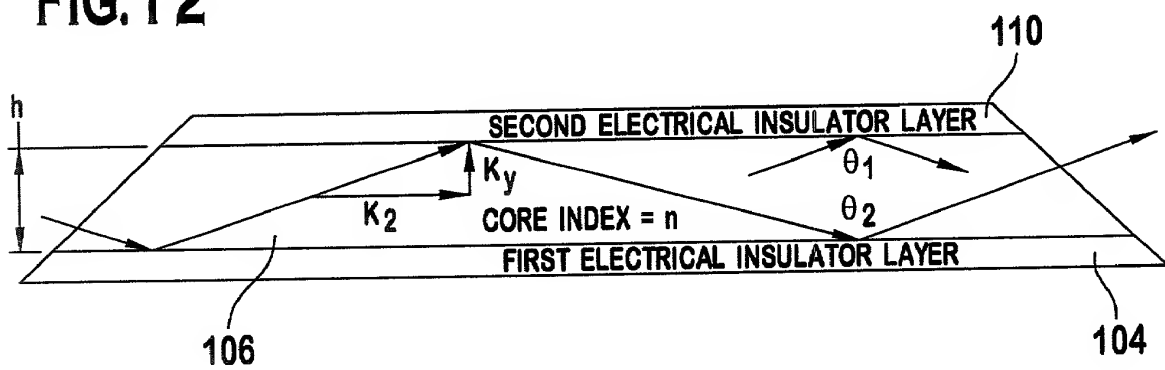
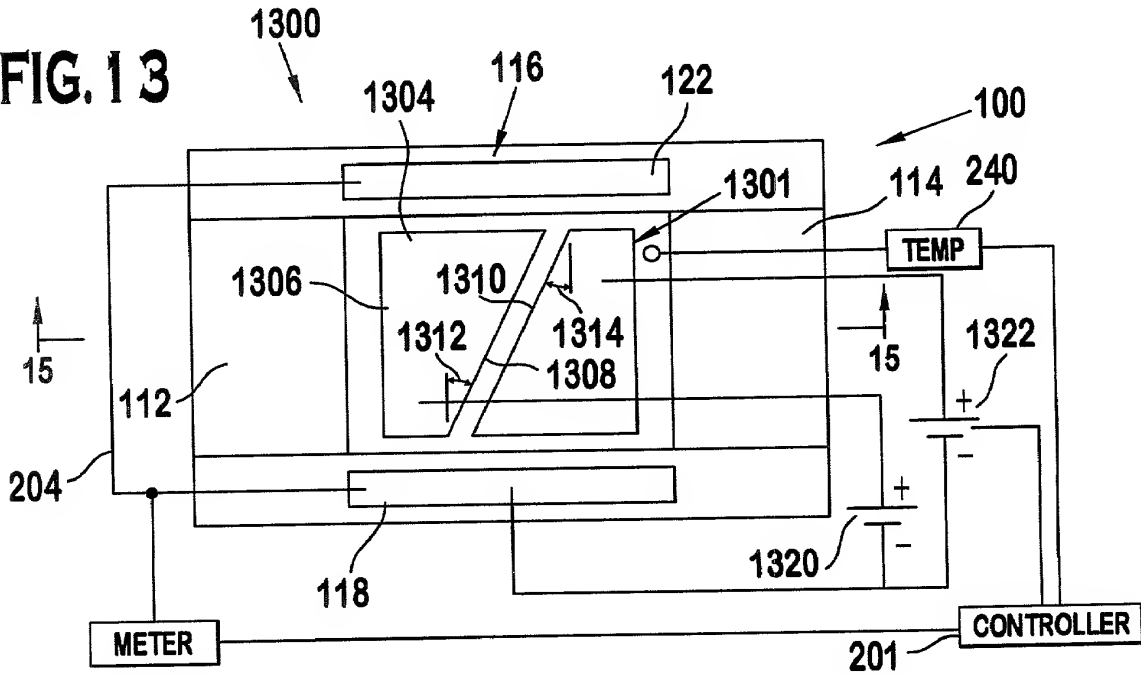


FIG. 13



6/55

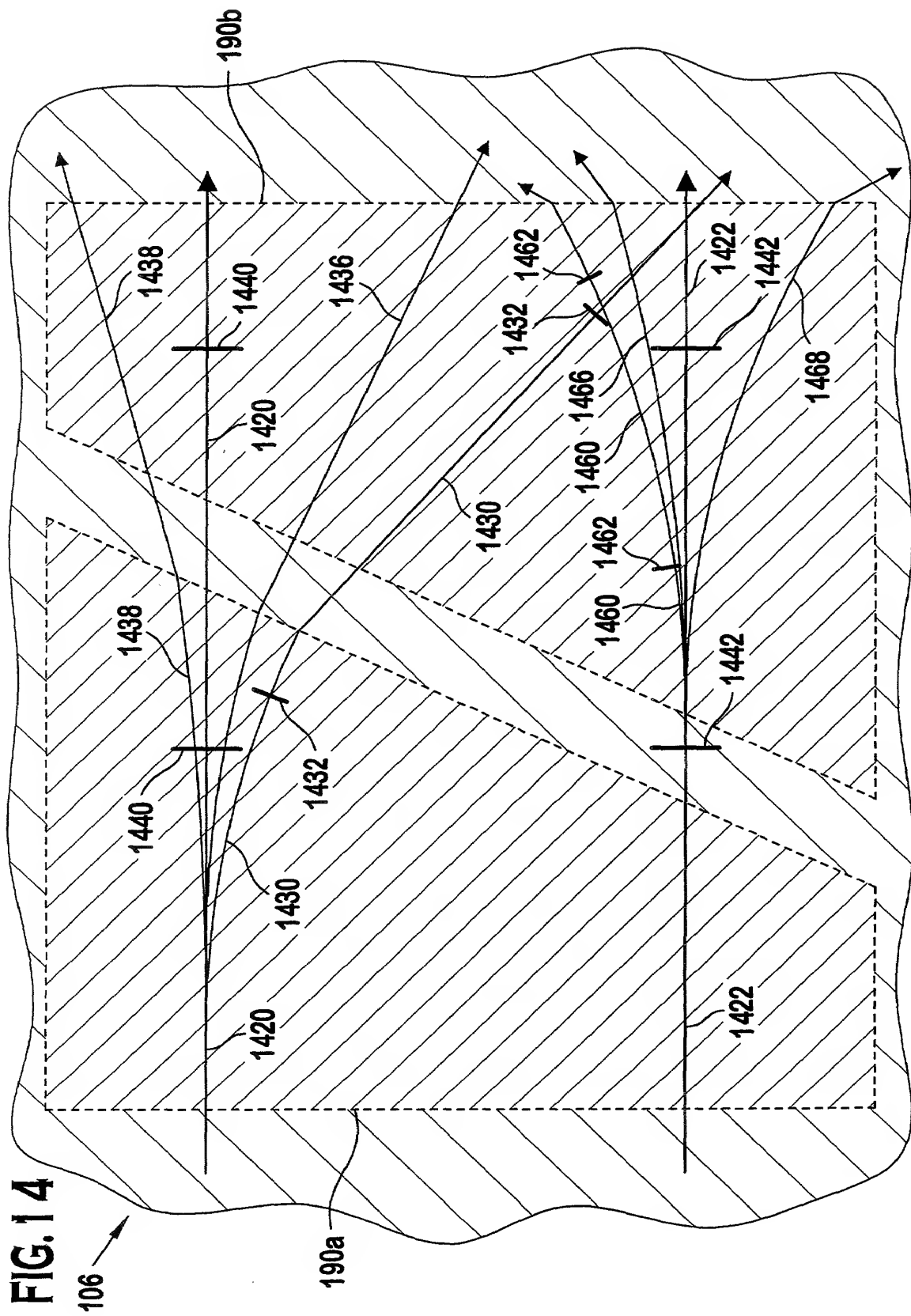


FIG. 14

7/55

FIG. 15A

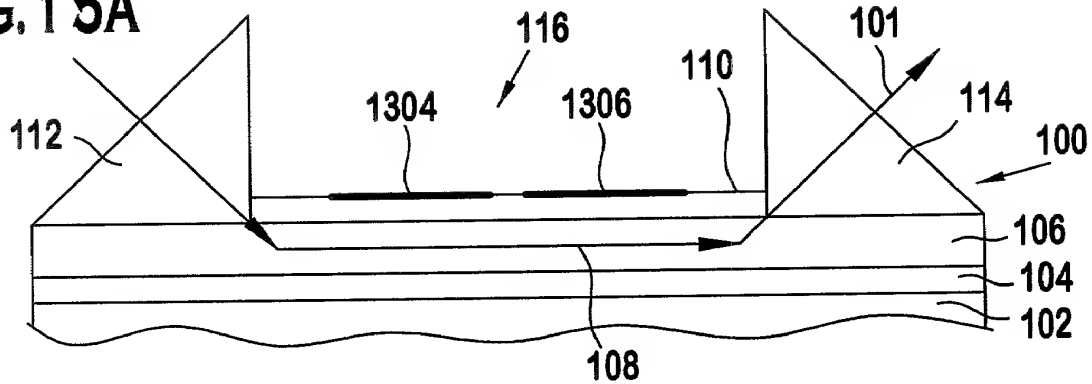


FIG. 15B

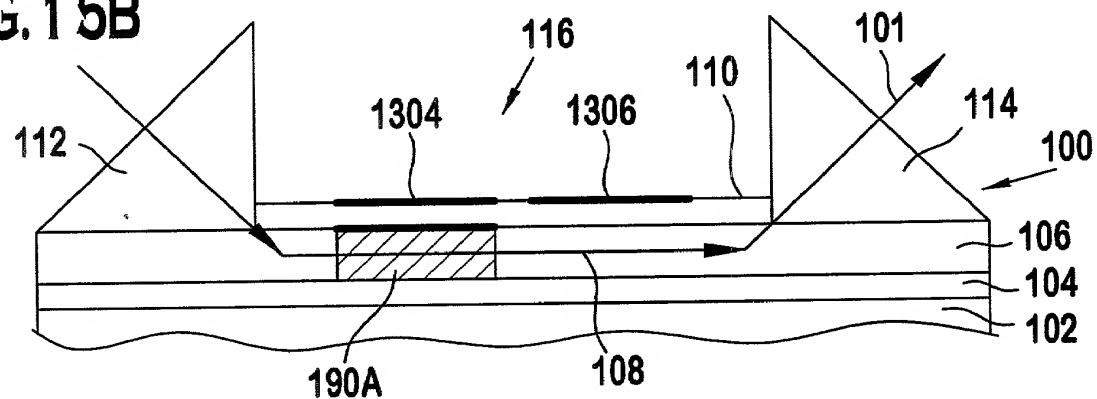


FIG. 15C

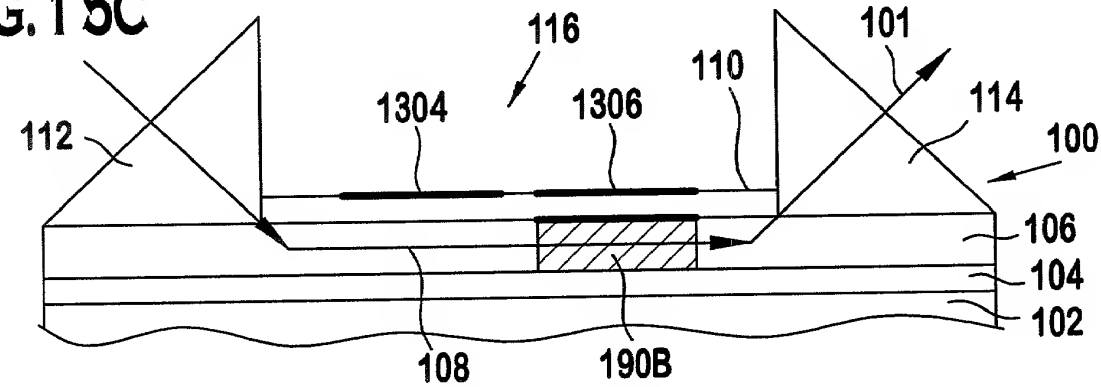


FIG. 15D

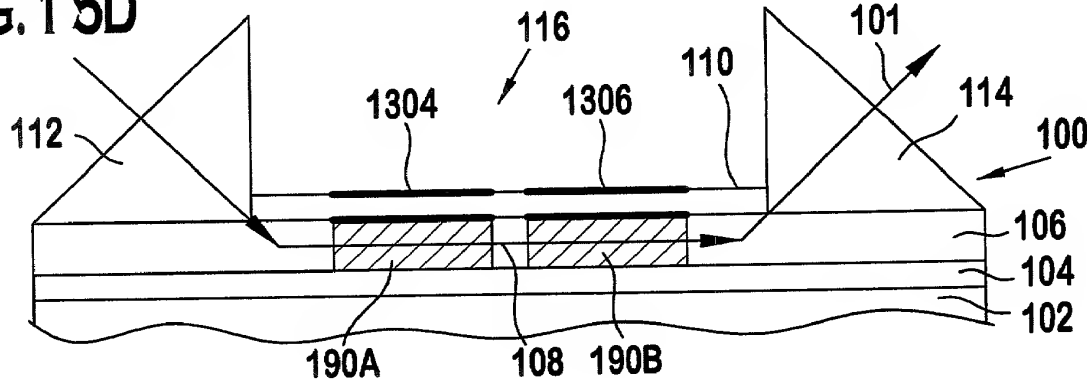


FIG. 16

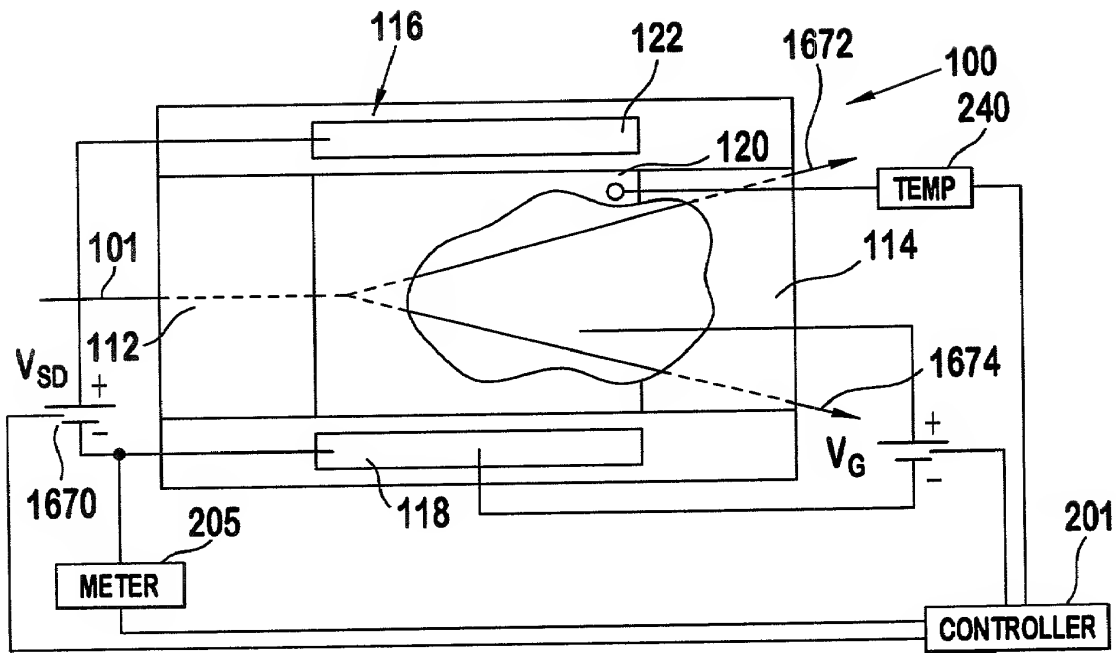
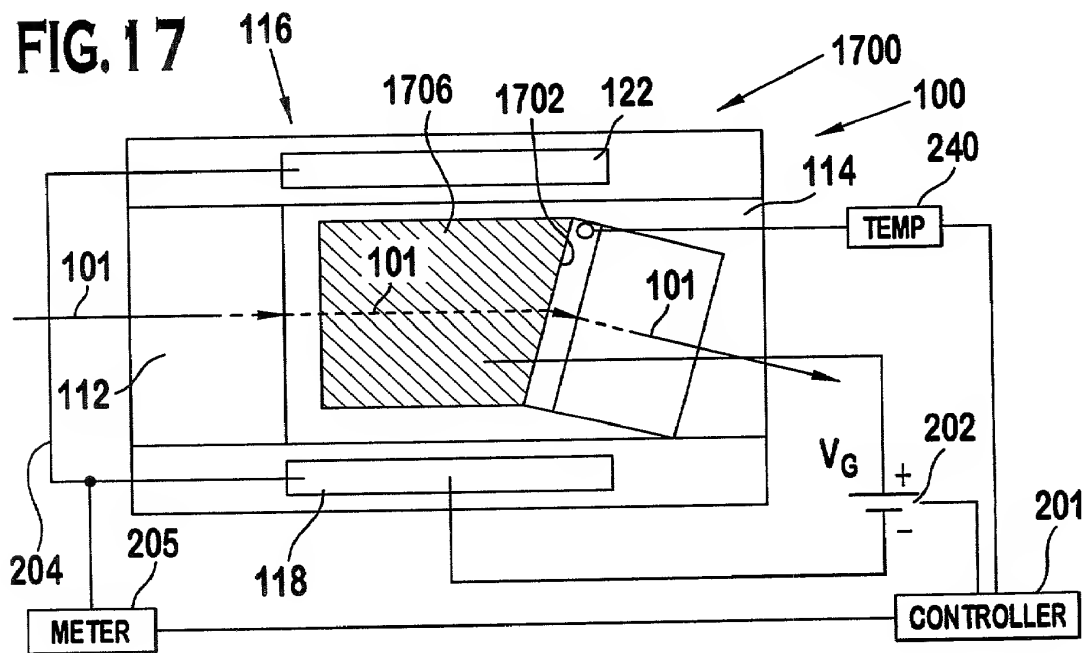


FIG. 17



9/55

FIG. 18

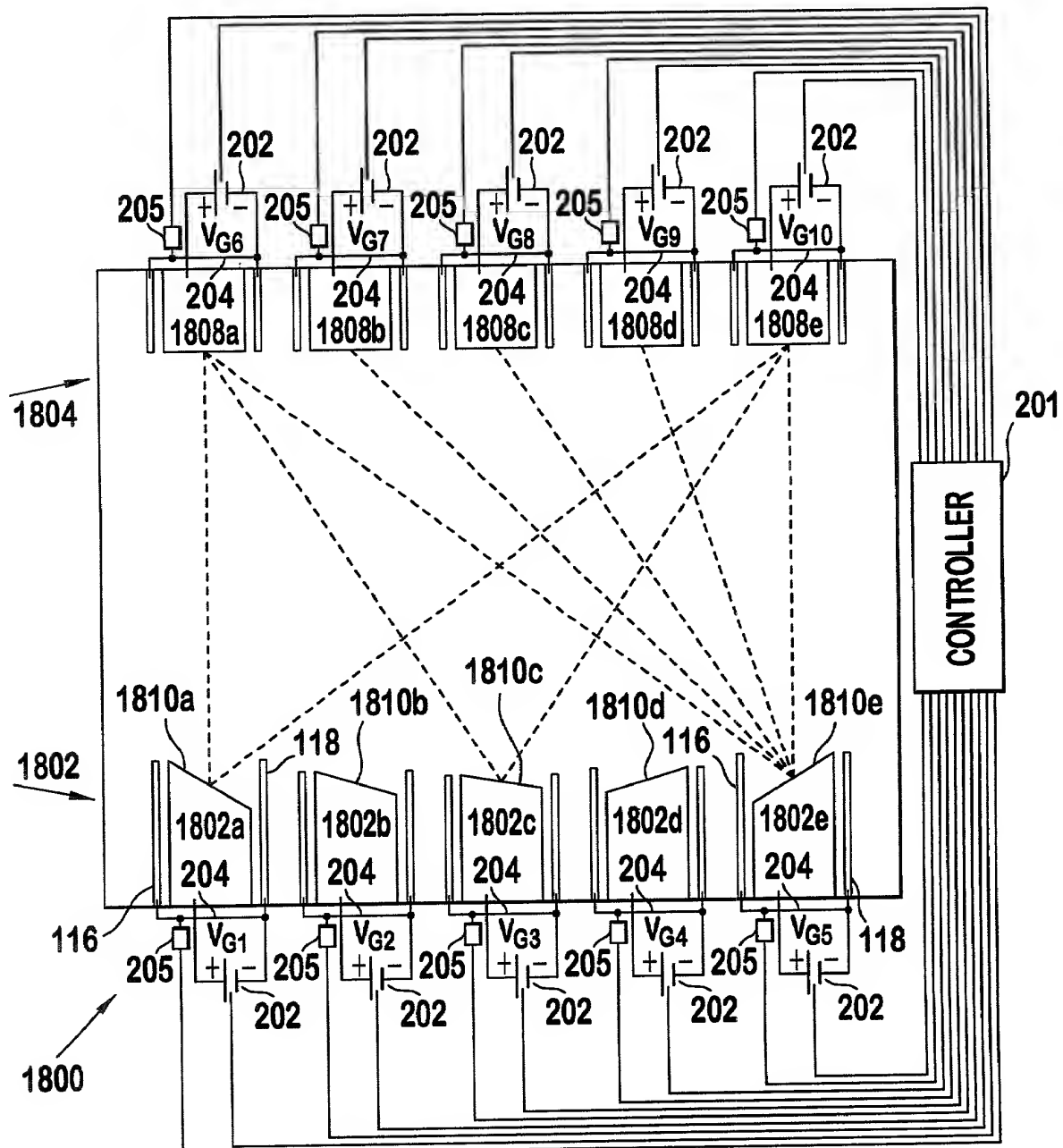


FIG. 19

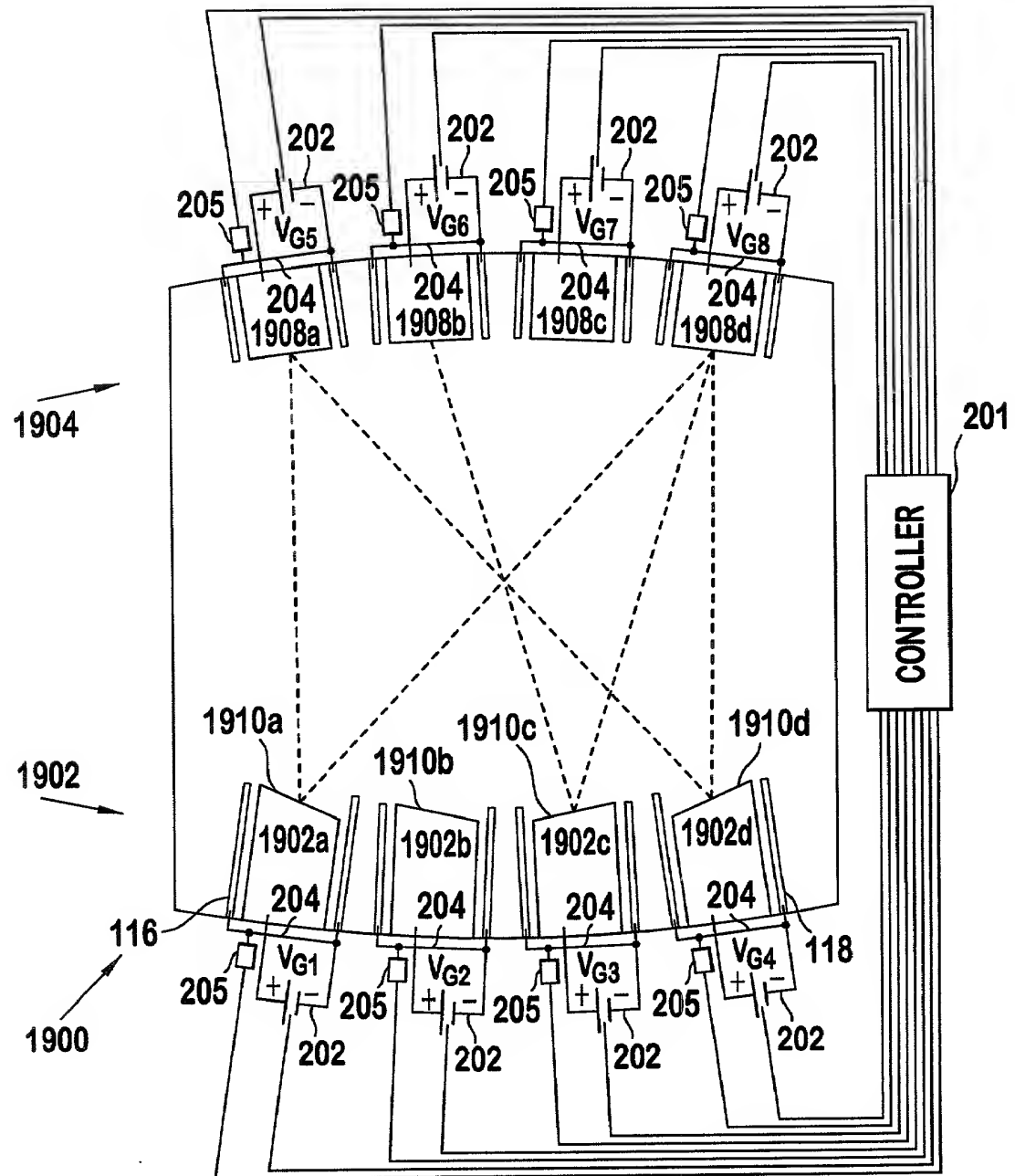
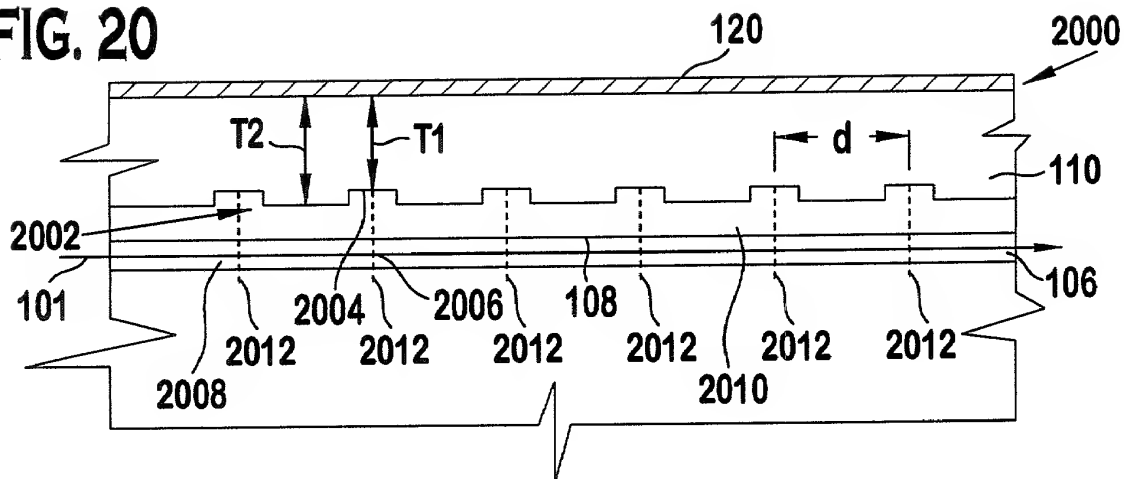
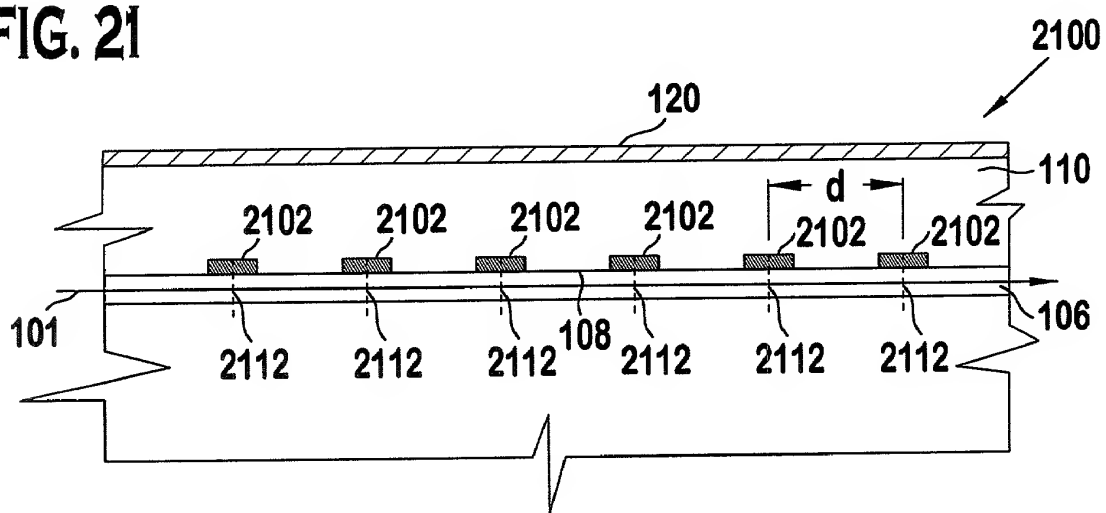
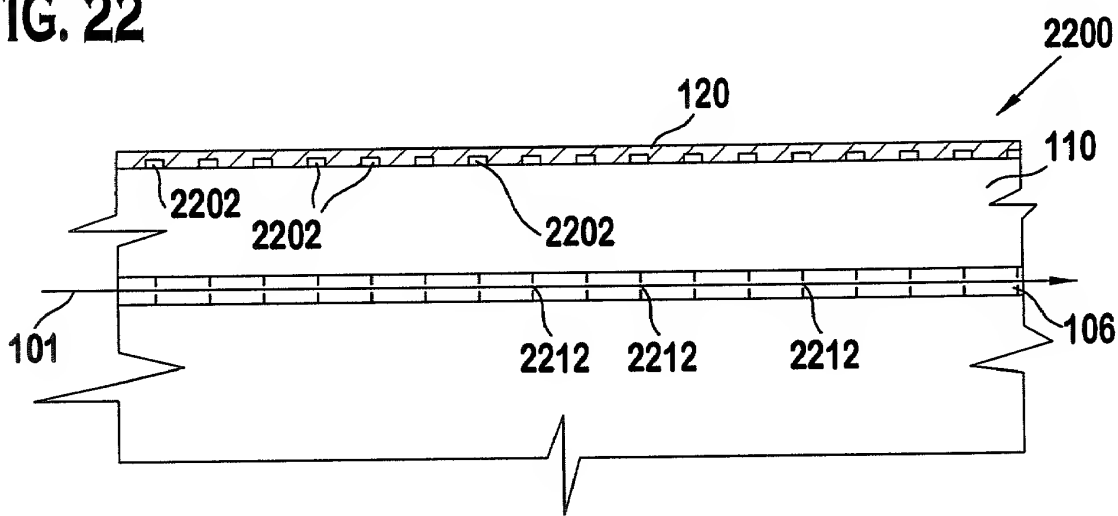


FIG. 20**FIG. 21****FIG. 22**

12/55

FIG. 23

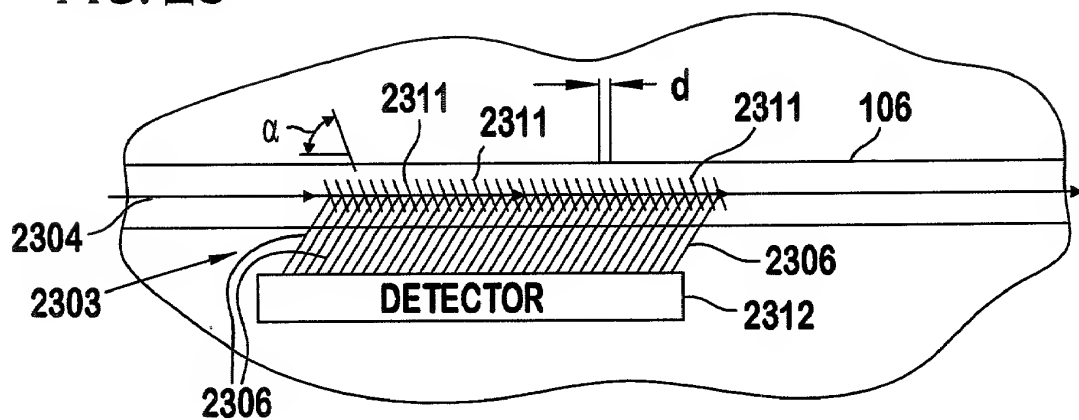
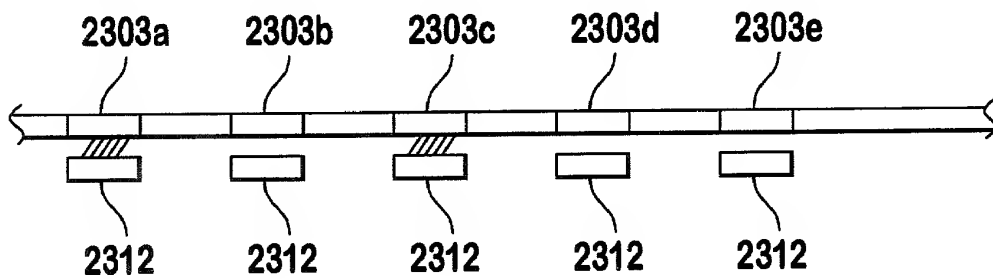


FIG. 24



13/55

FIG. 25

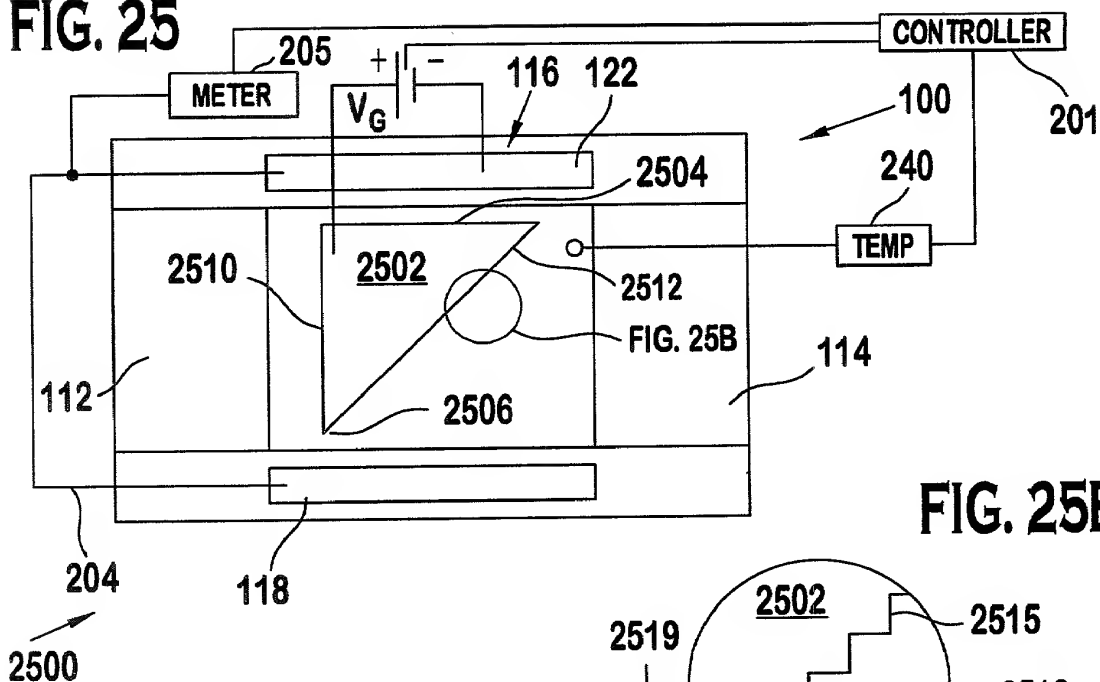
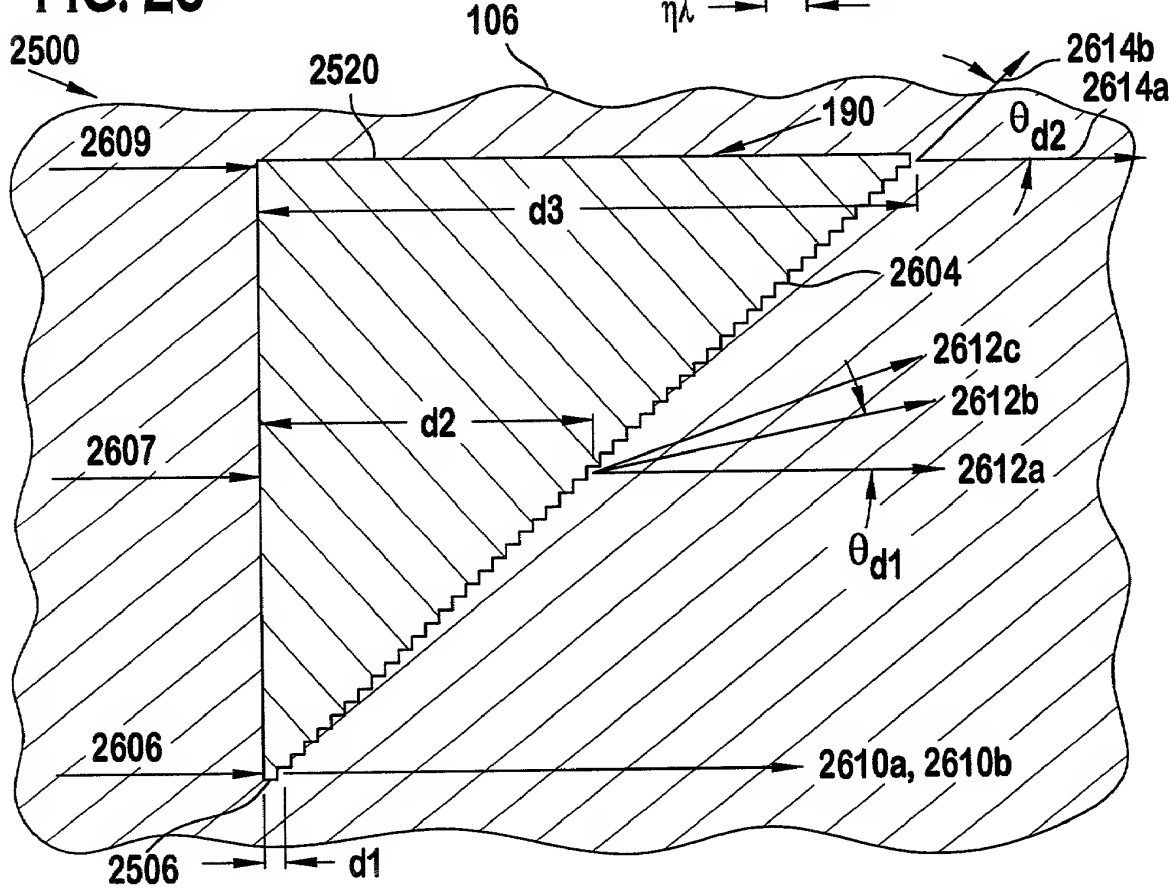


FIG. 25B

FIG. 26



14 / 55

FIG. 27

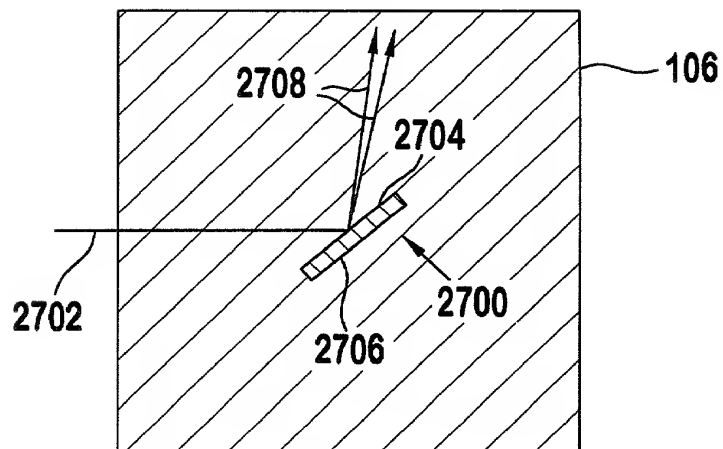


FIG. 28

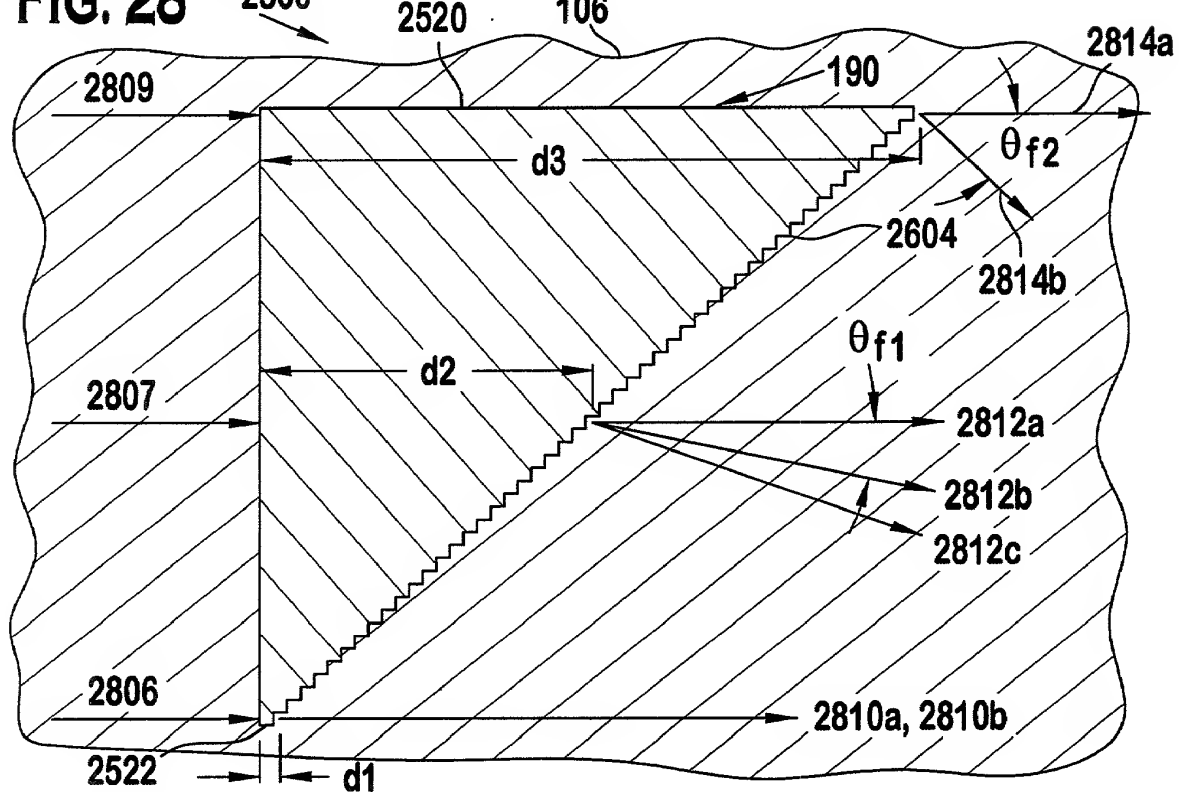


FIG. 29

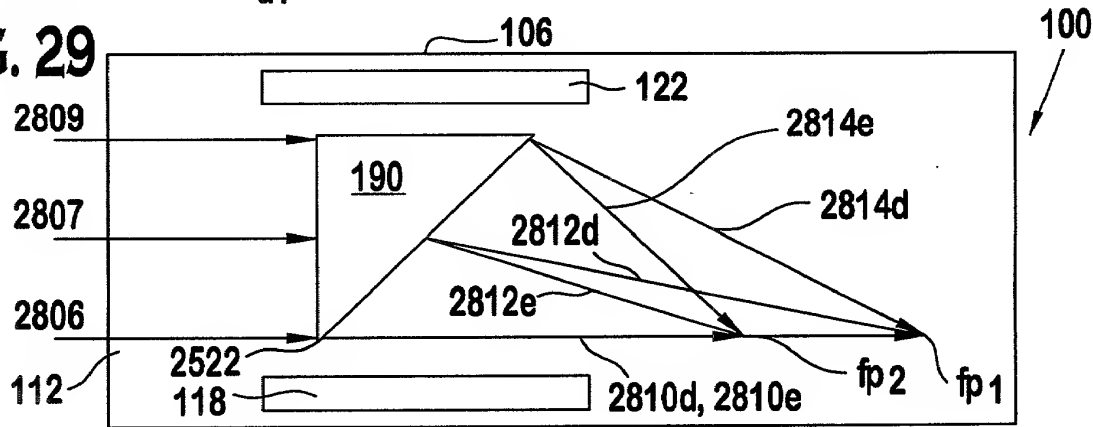
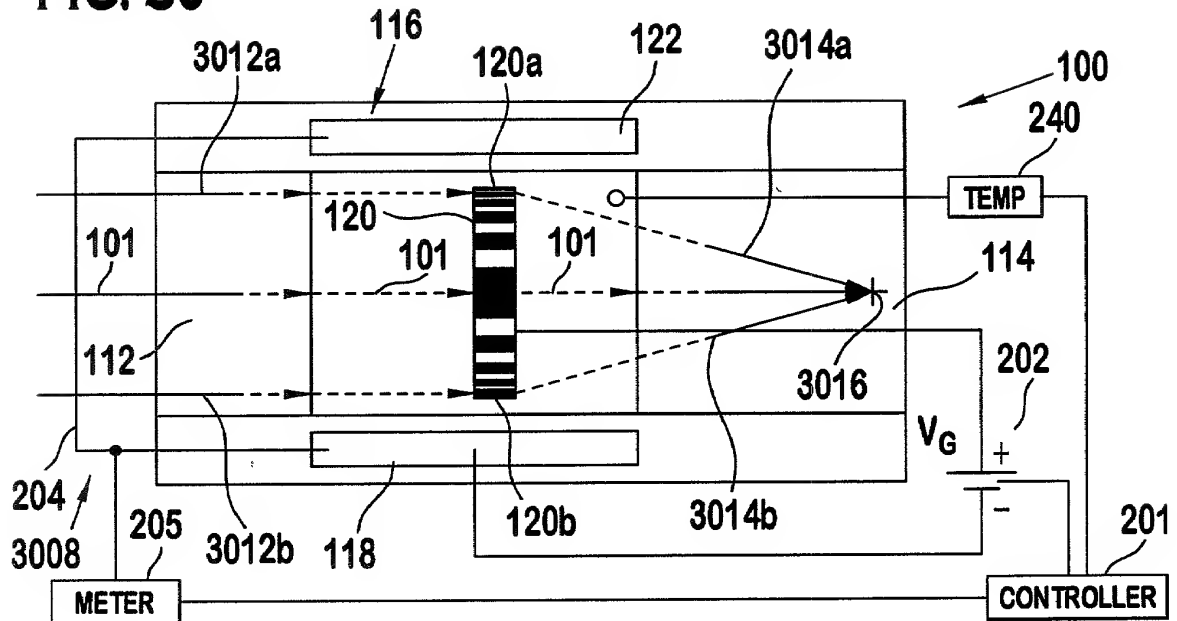
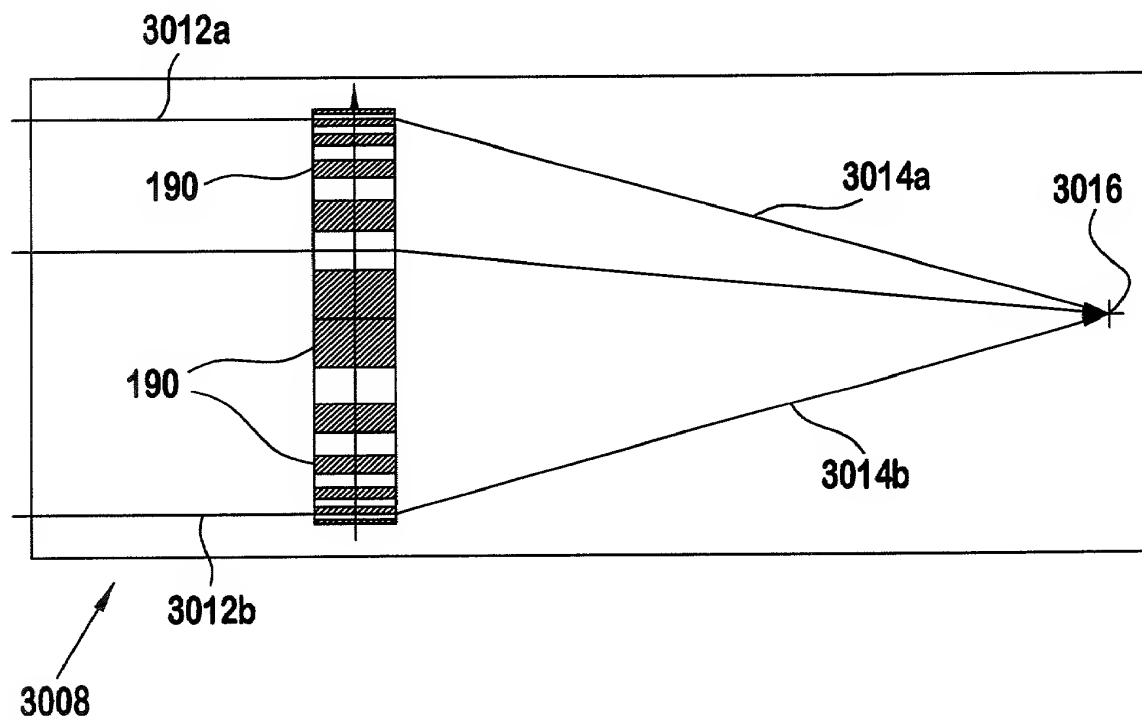


FIG. 30**FIG. 30A**

16/55

FIG. 31

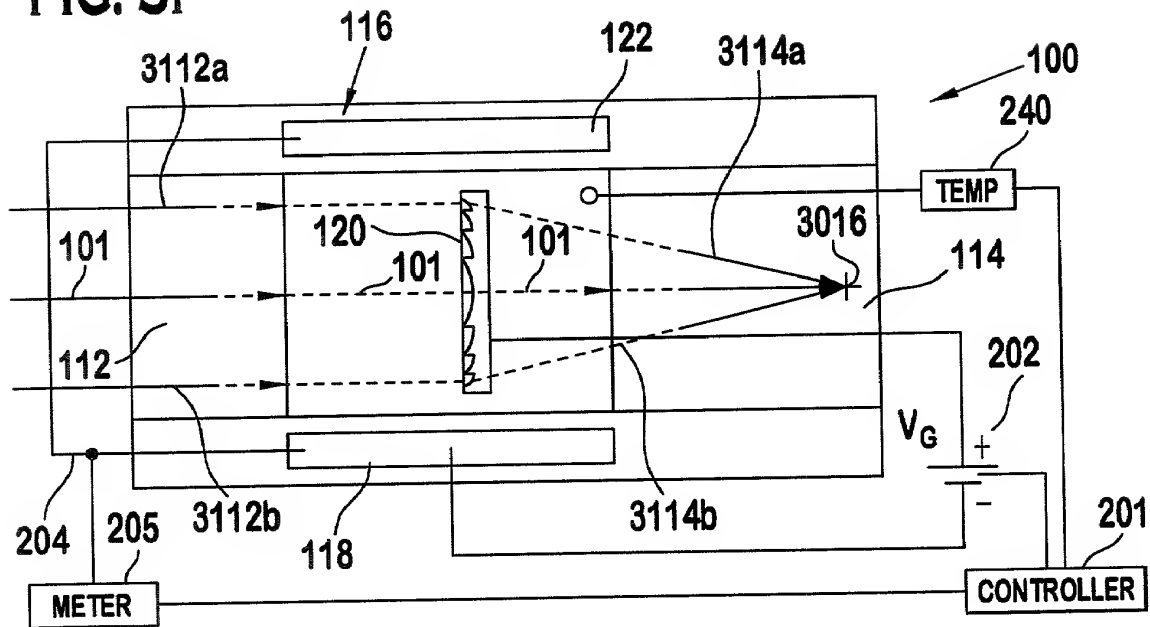
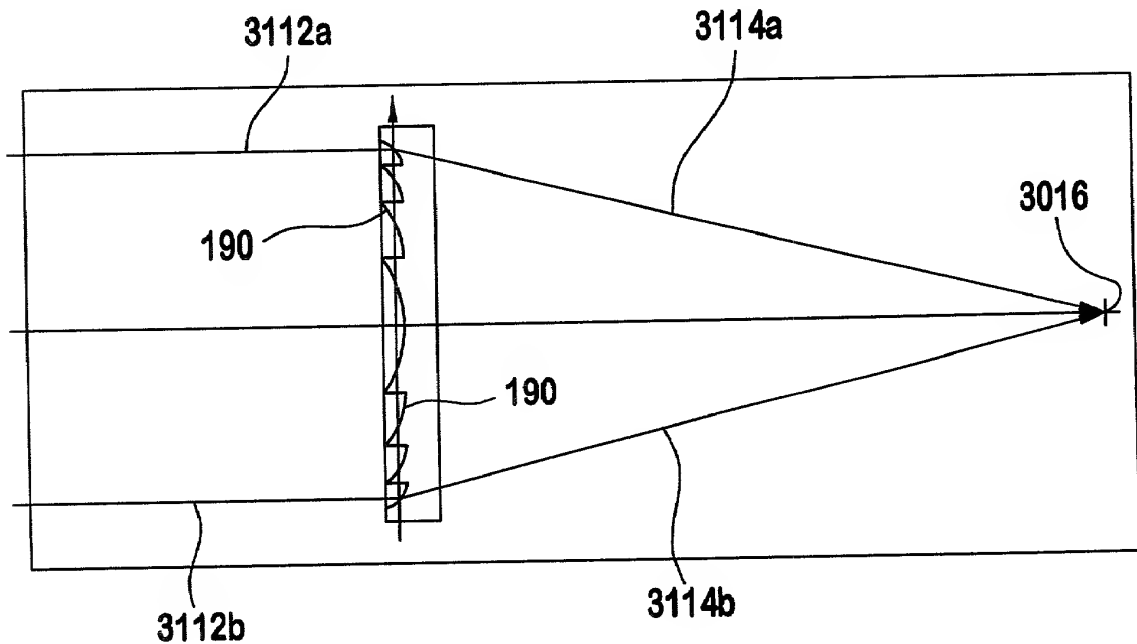


FIG. 31 A



17/55

FIG. 32

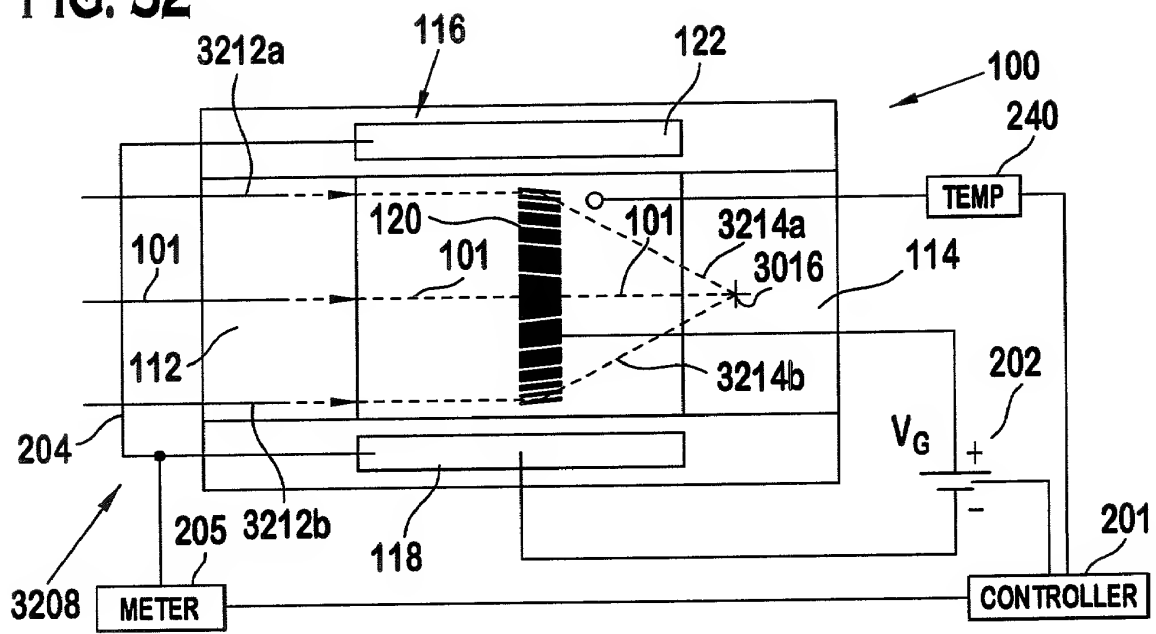


FIG. 32A

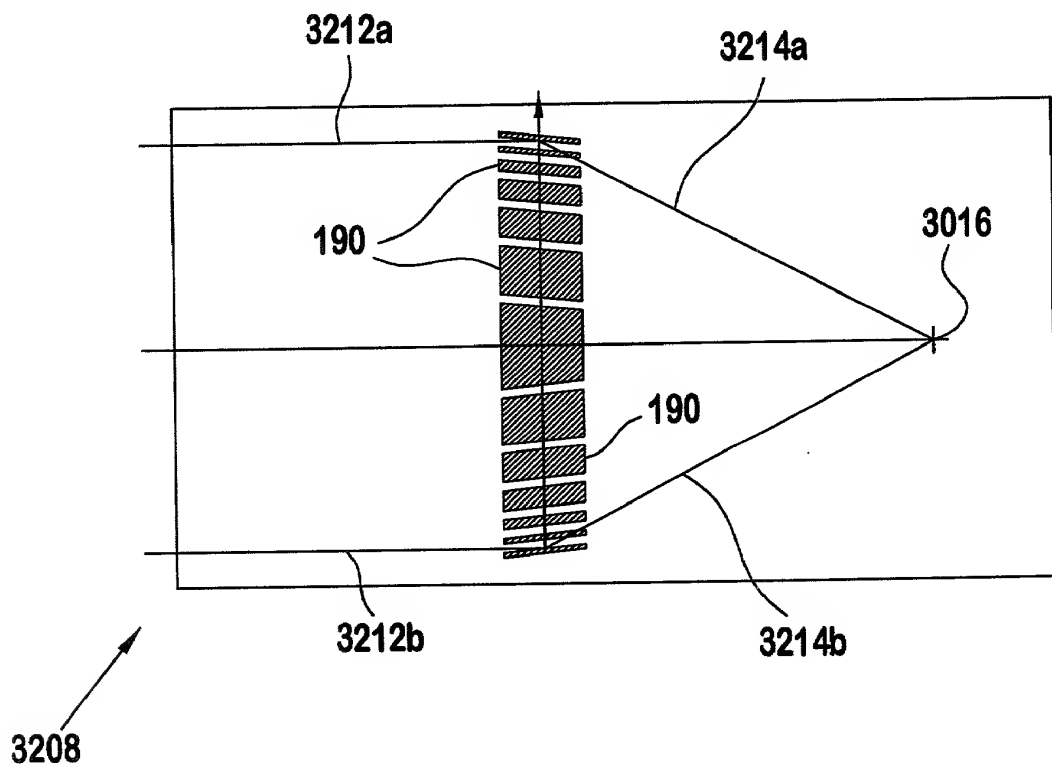


FIG. 33

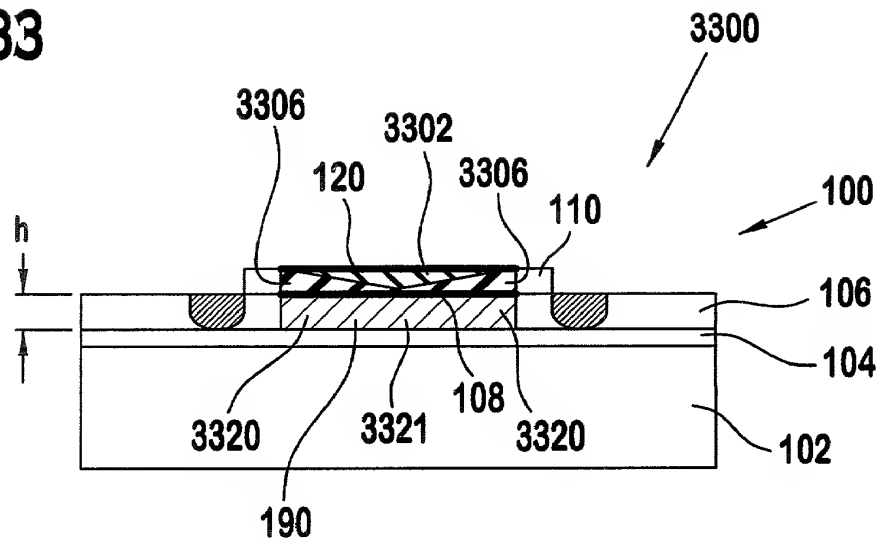


FIG. 34

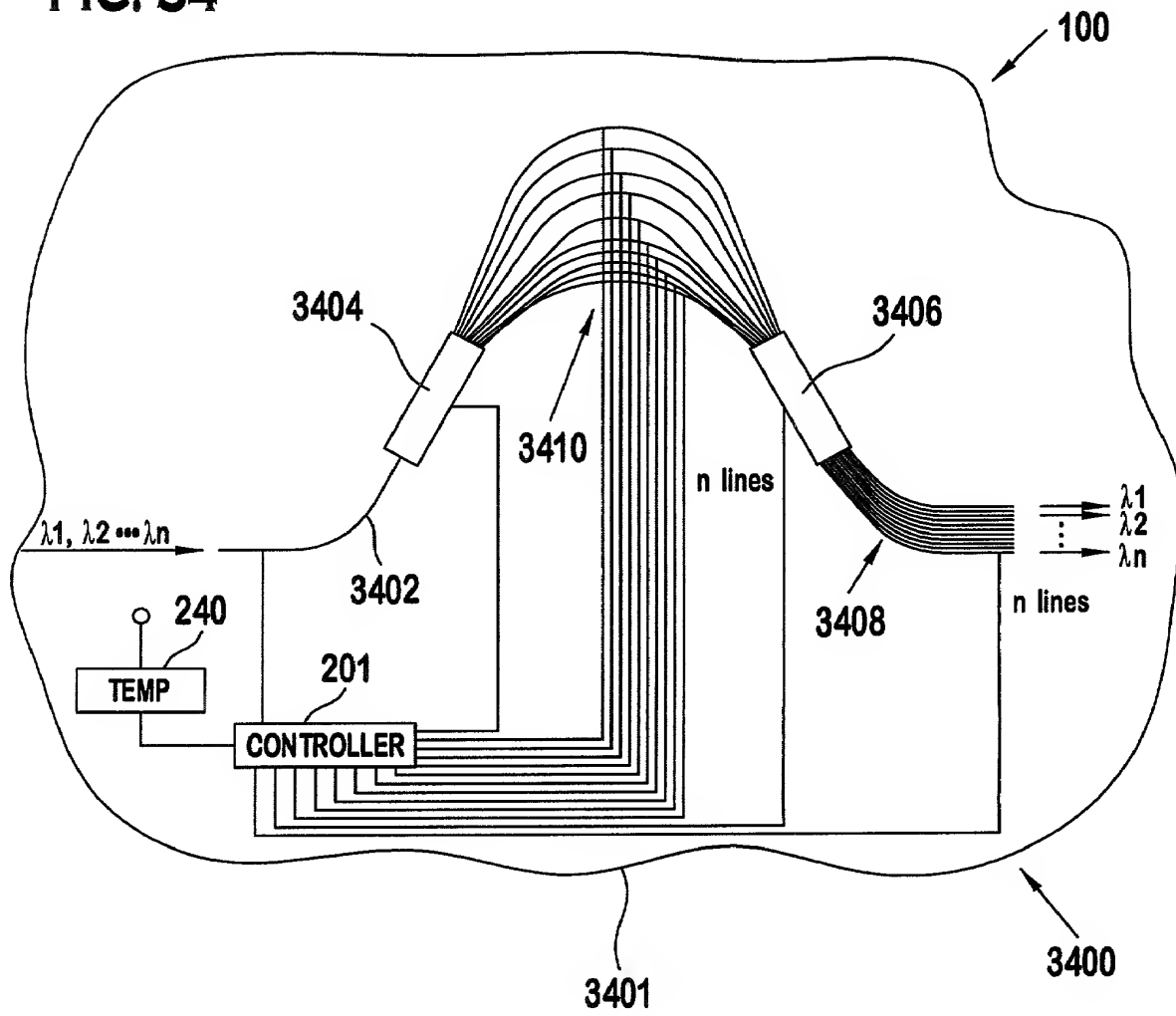


FIG. 35

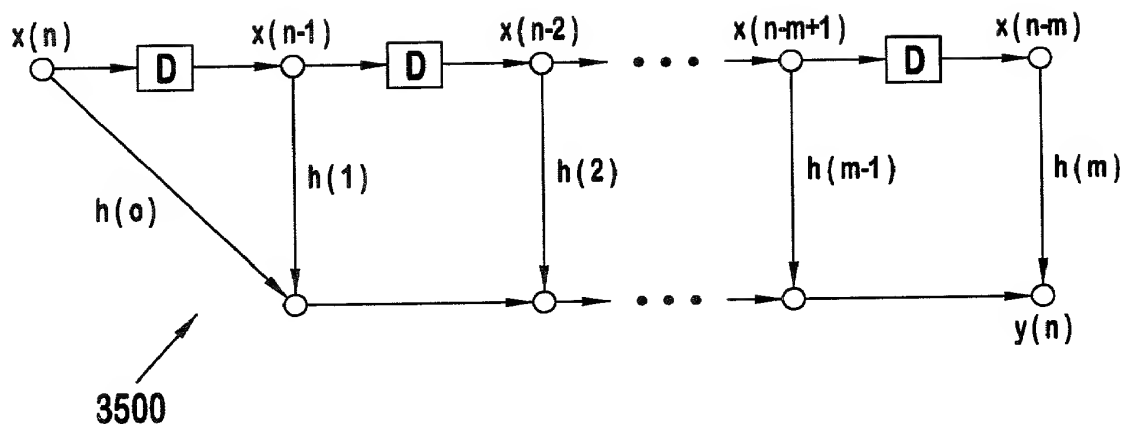
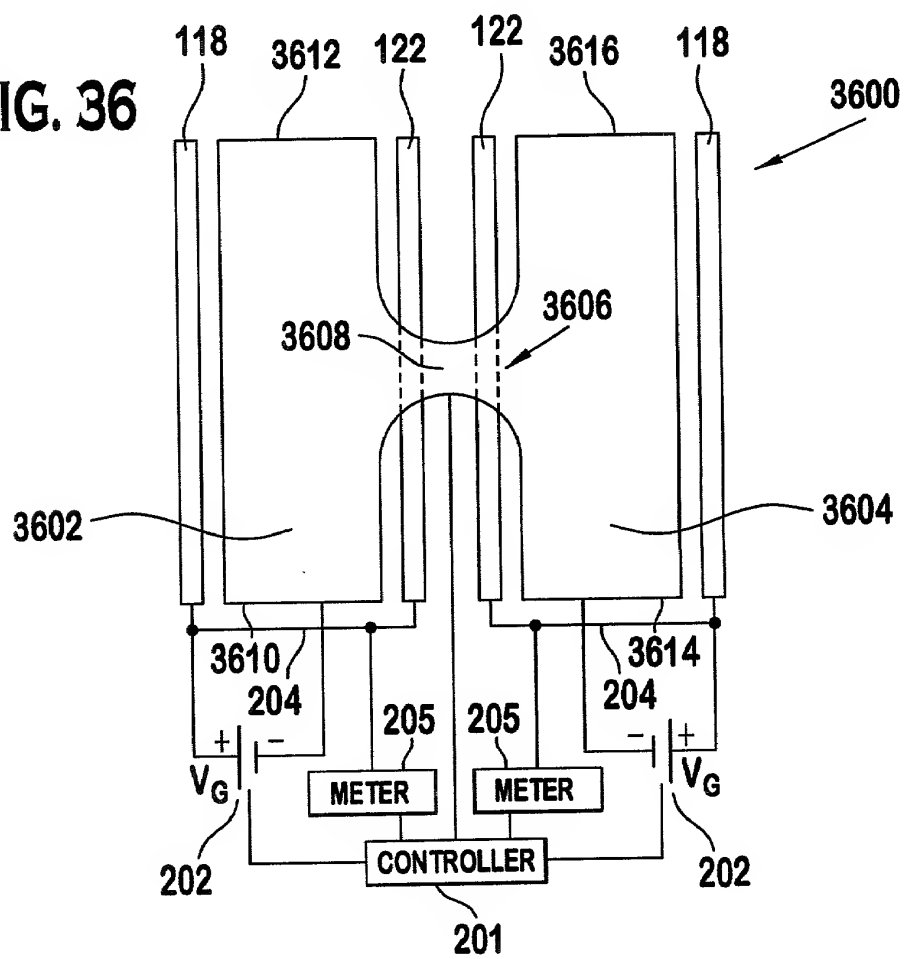


FIG. 36



20/55

FIG. 37

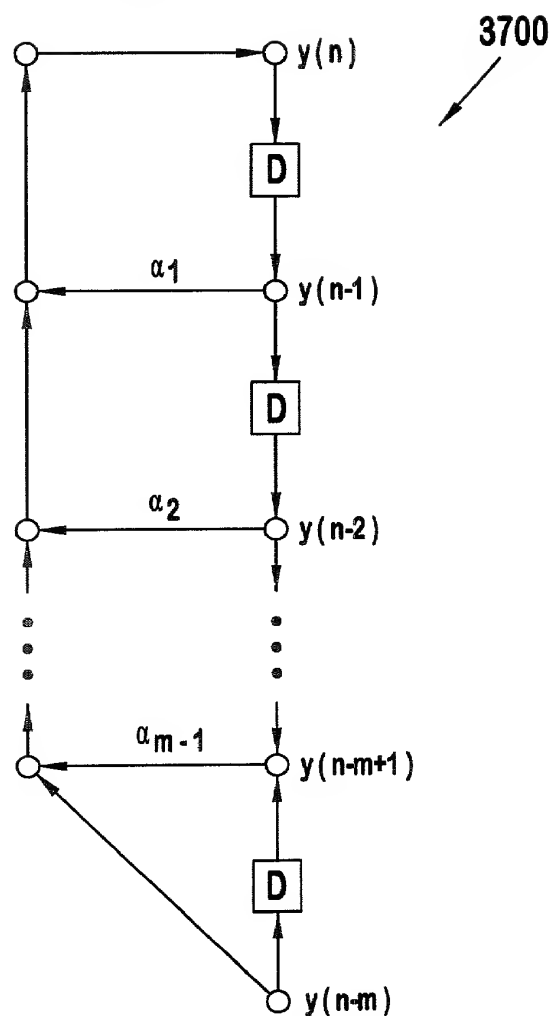


FIG. 38

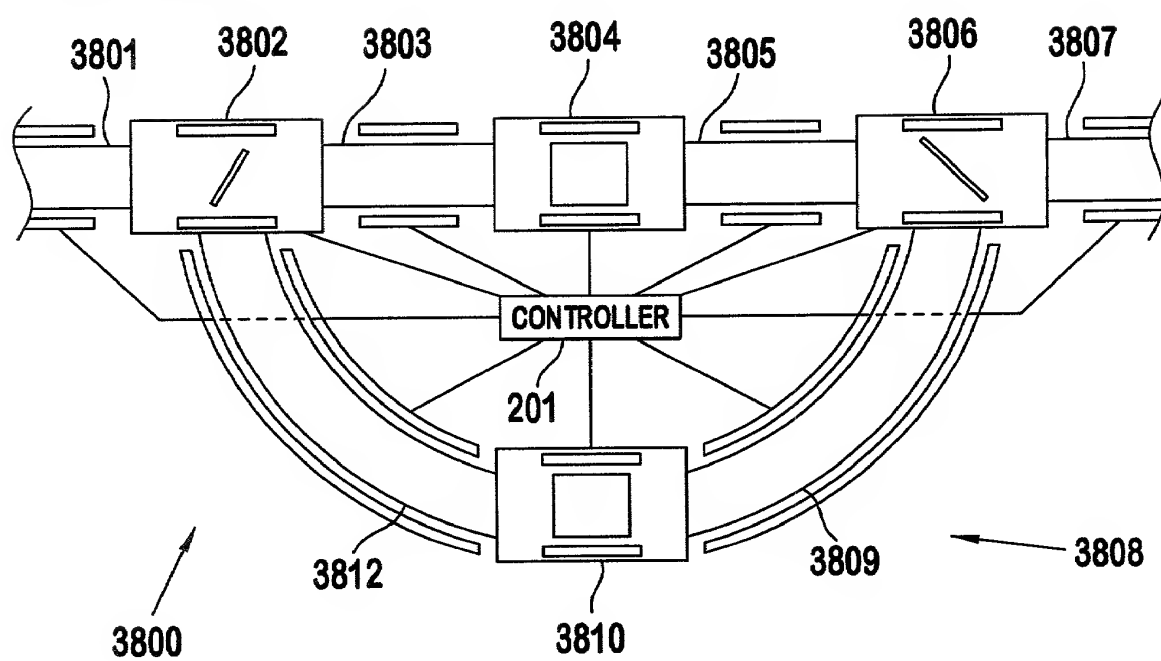


FIG. 39

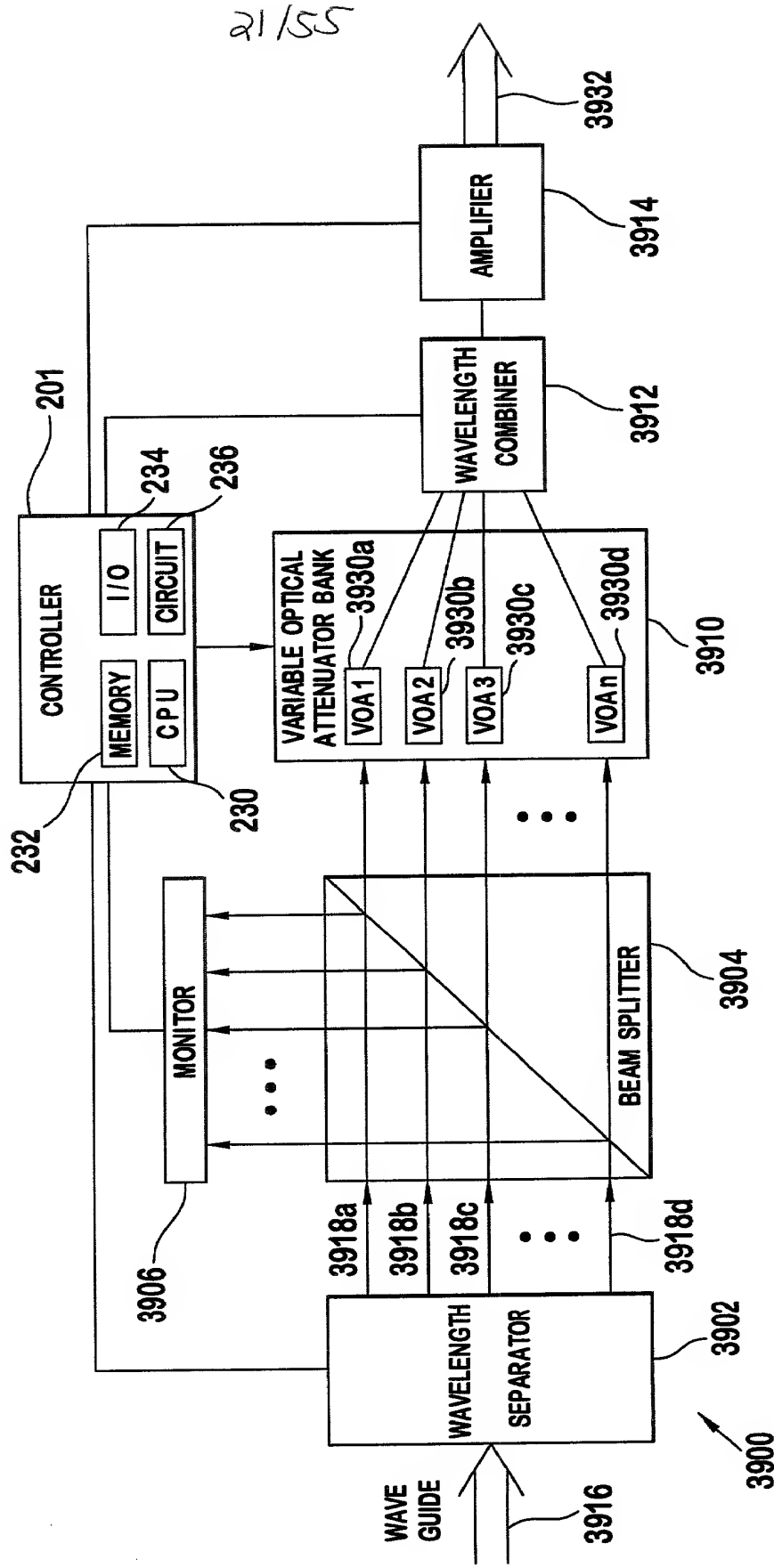


FIG. 40

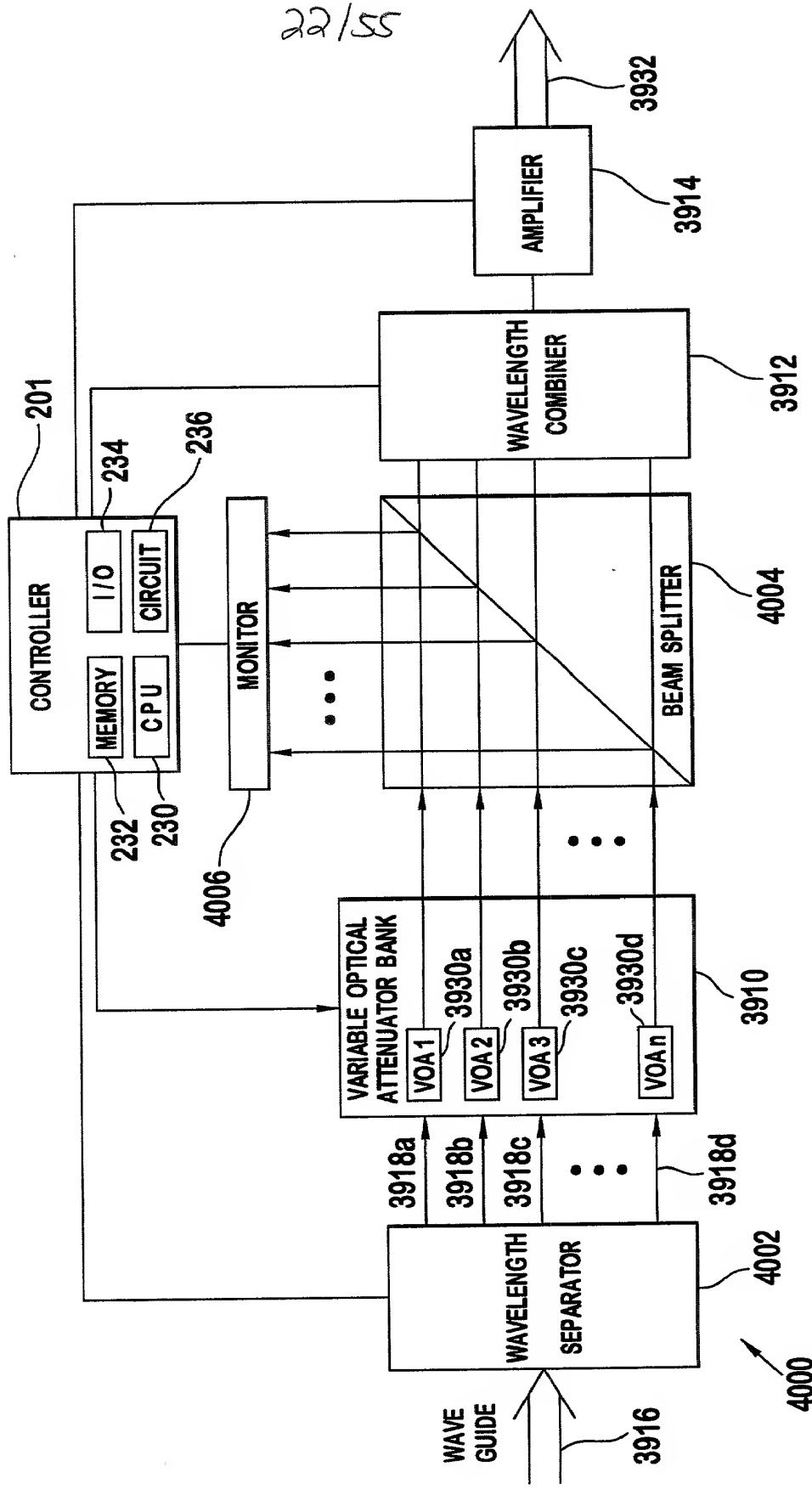
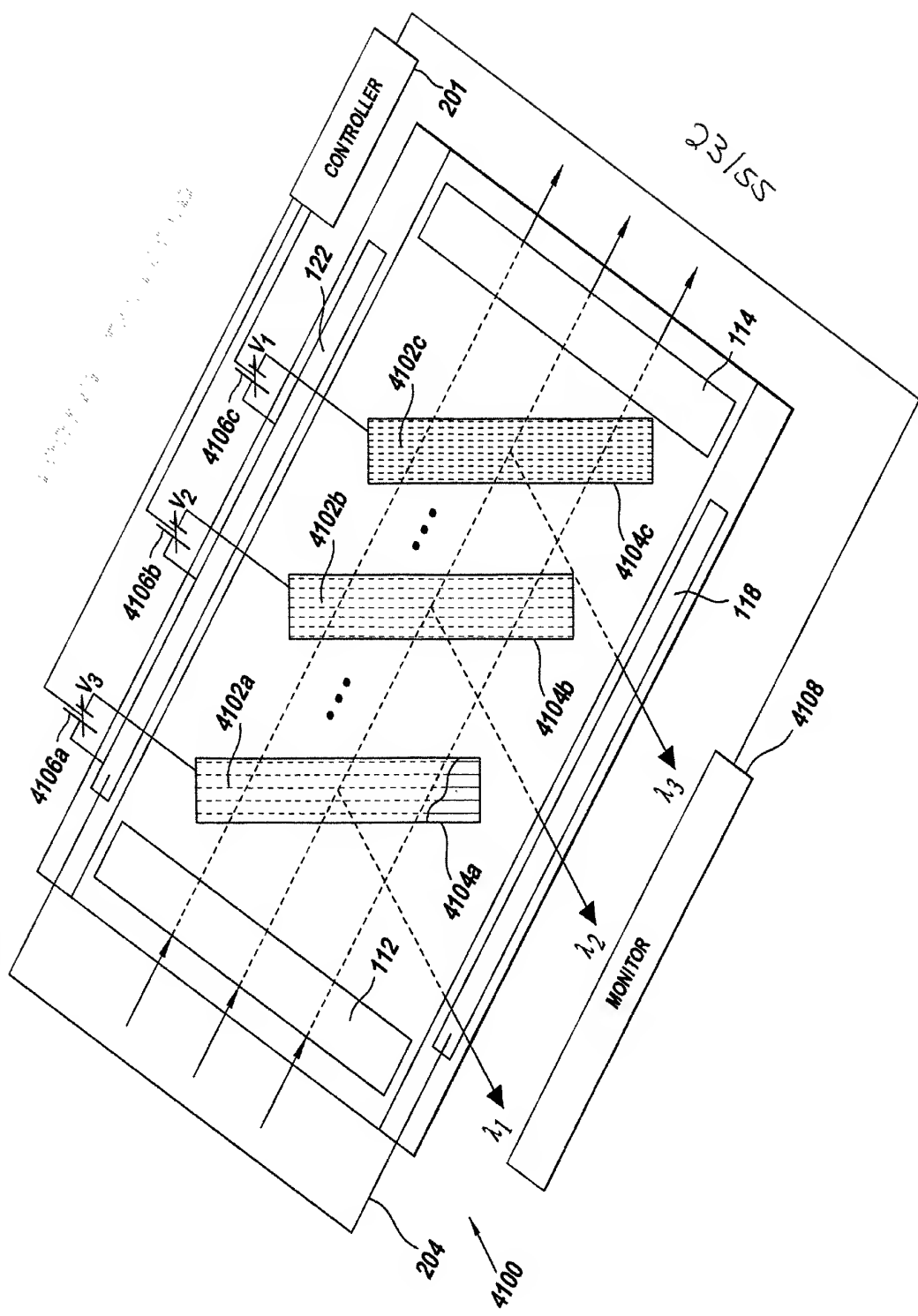


FIG. 41



24/55

FIG. 42

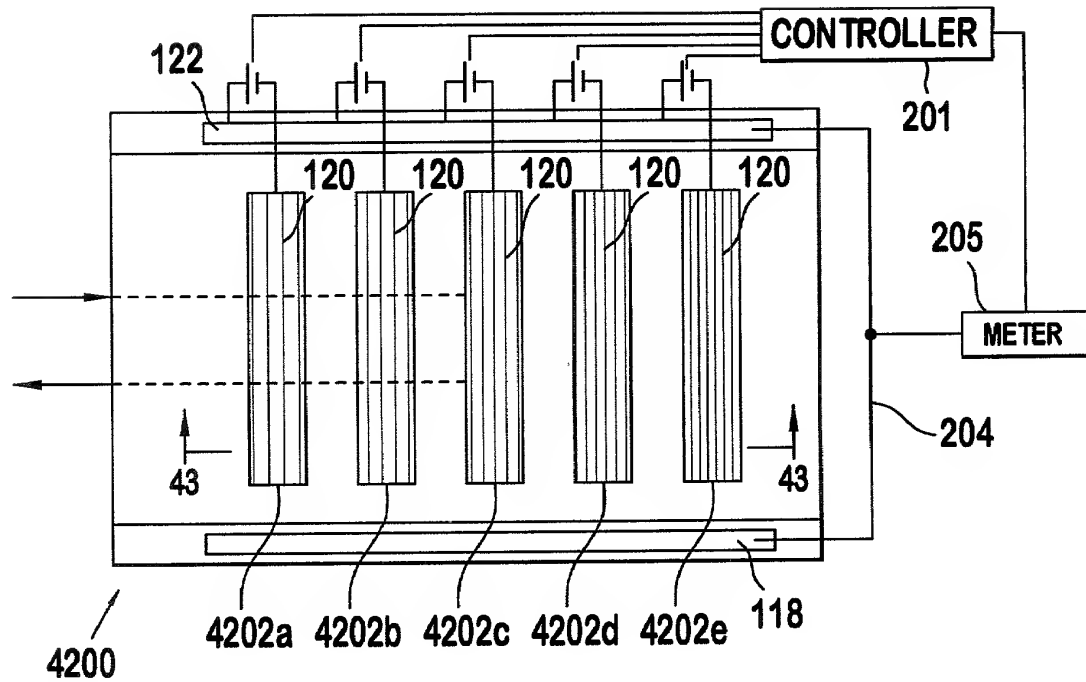


FIG. 43

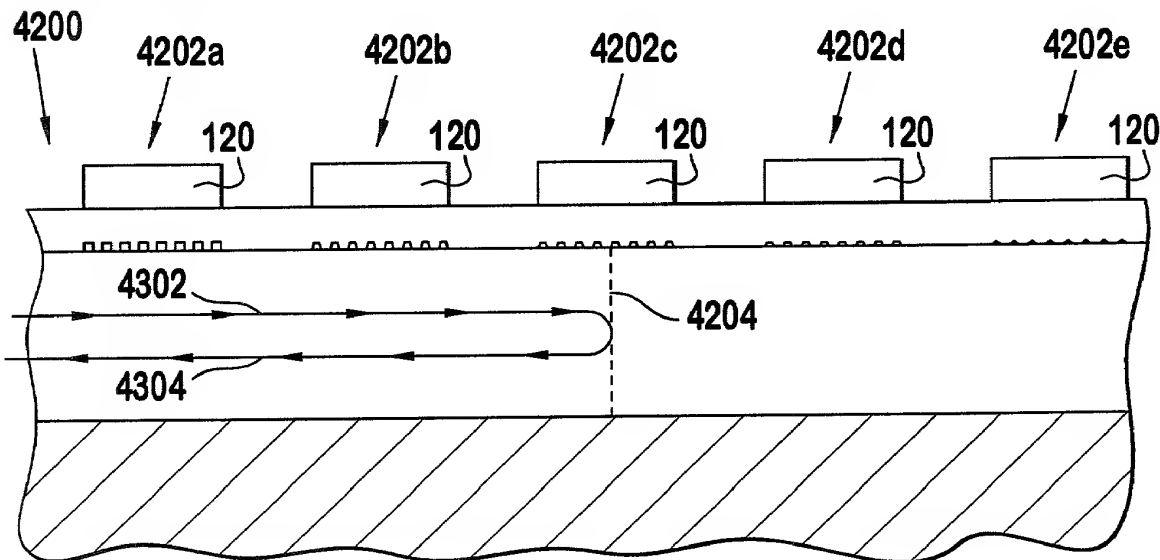


FIG. 44

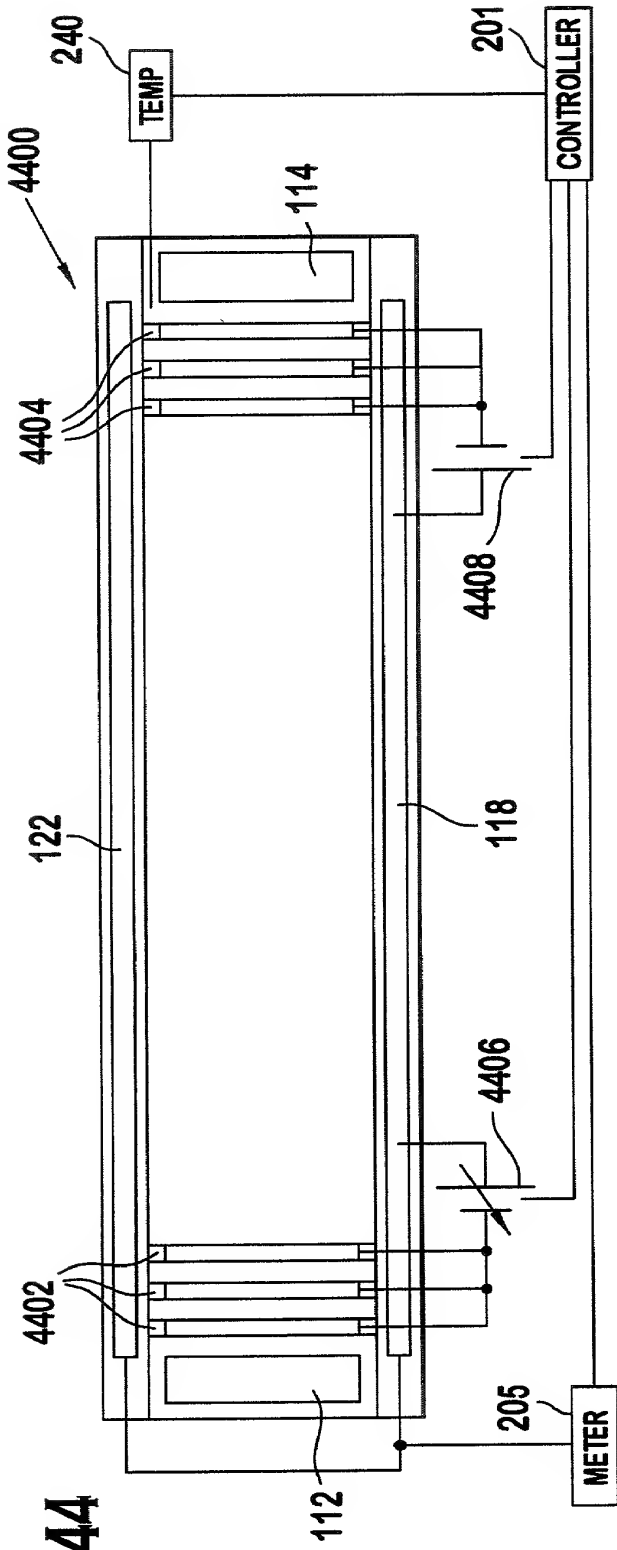
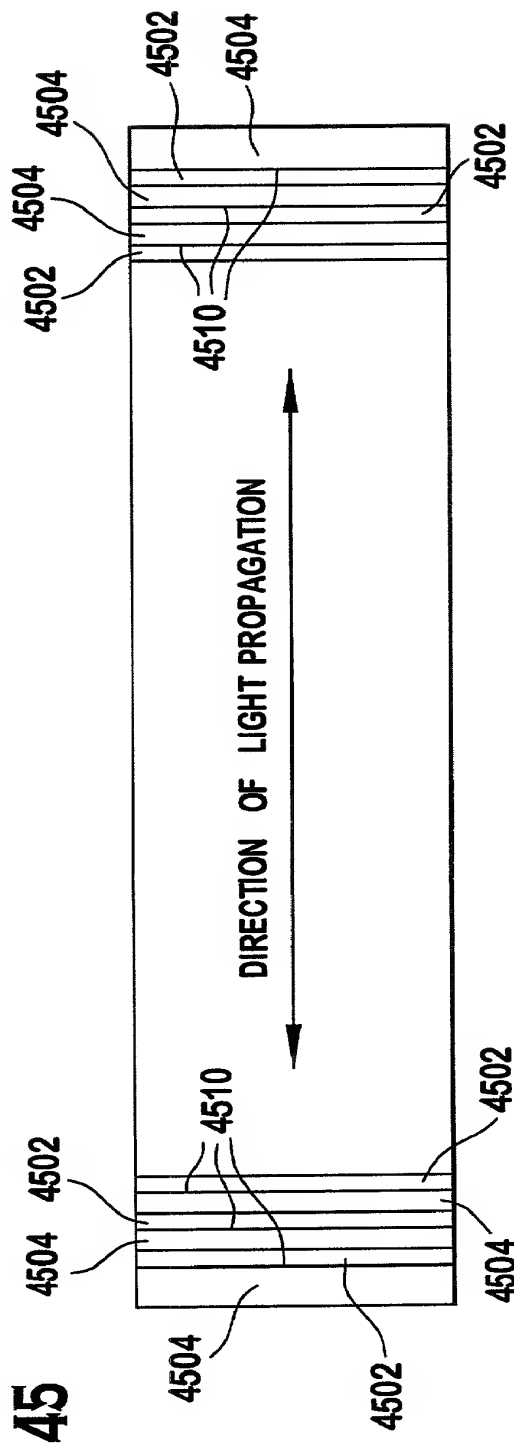


FIG. 45



26/55

FIG. 46

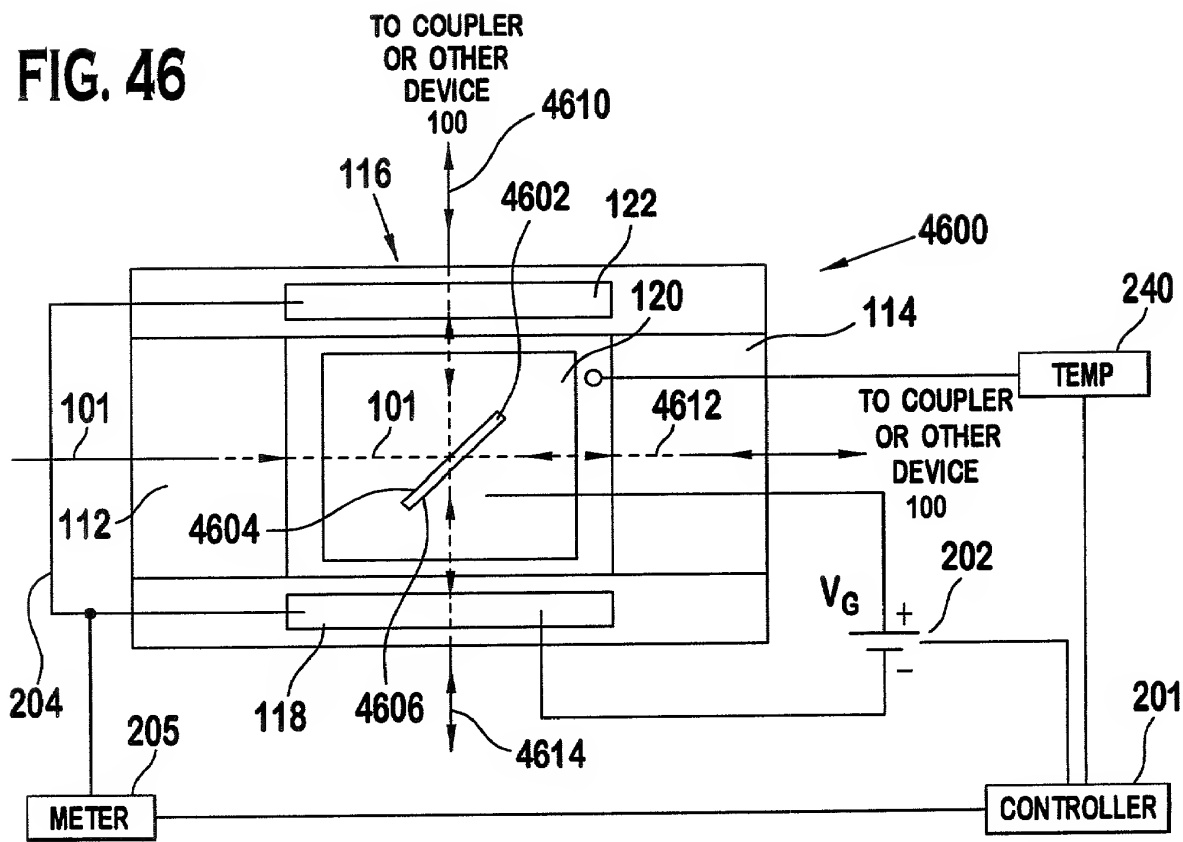
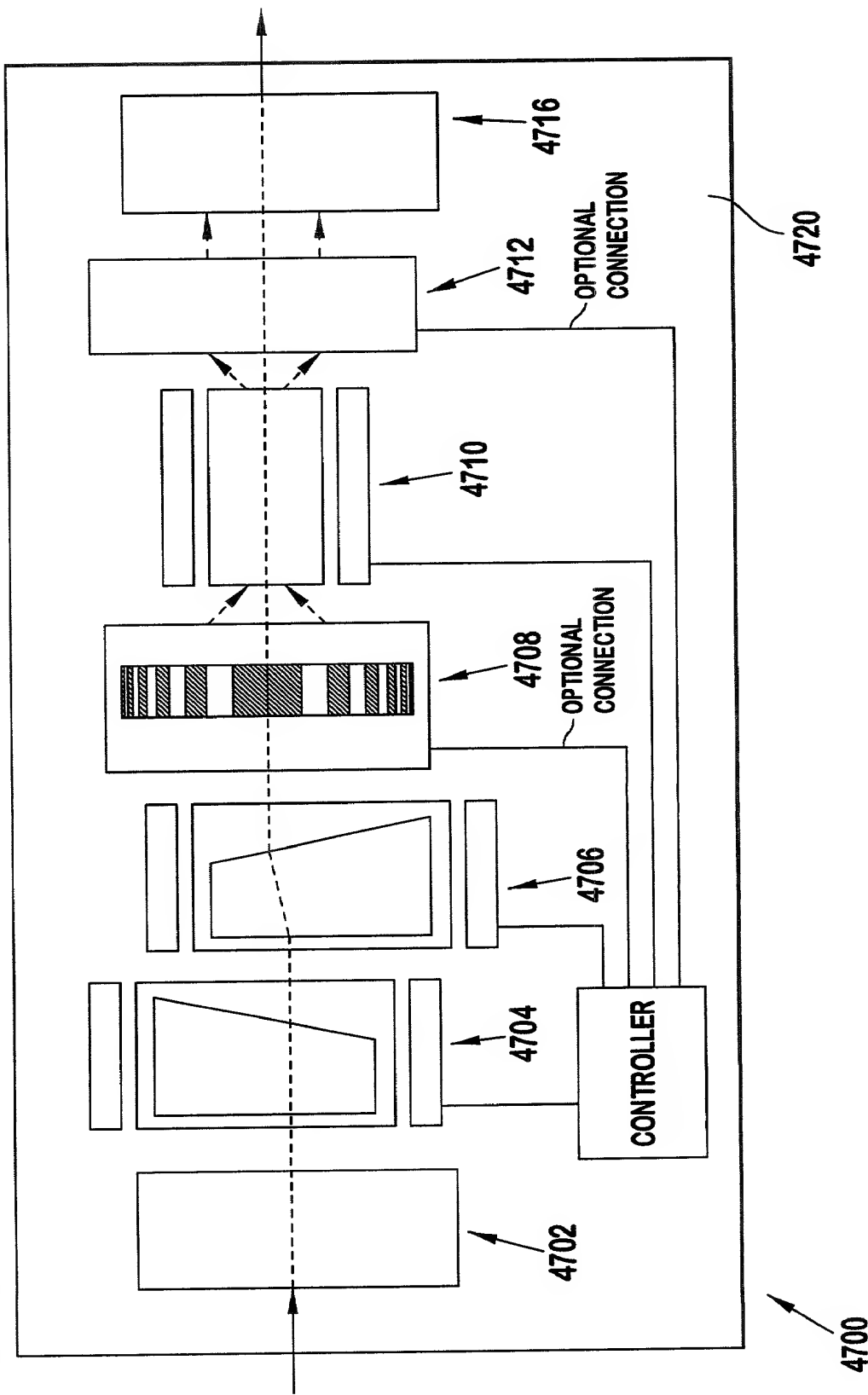


FIG. 47

27/55



28/55

FIG. 48

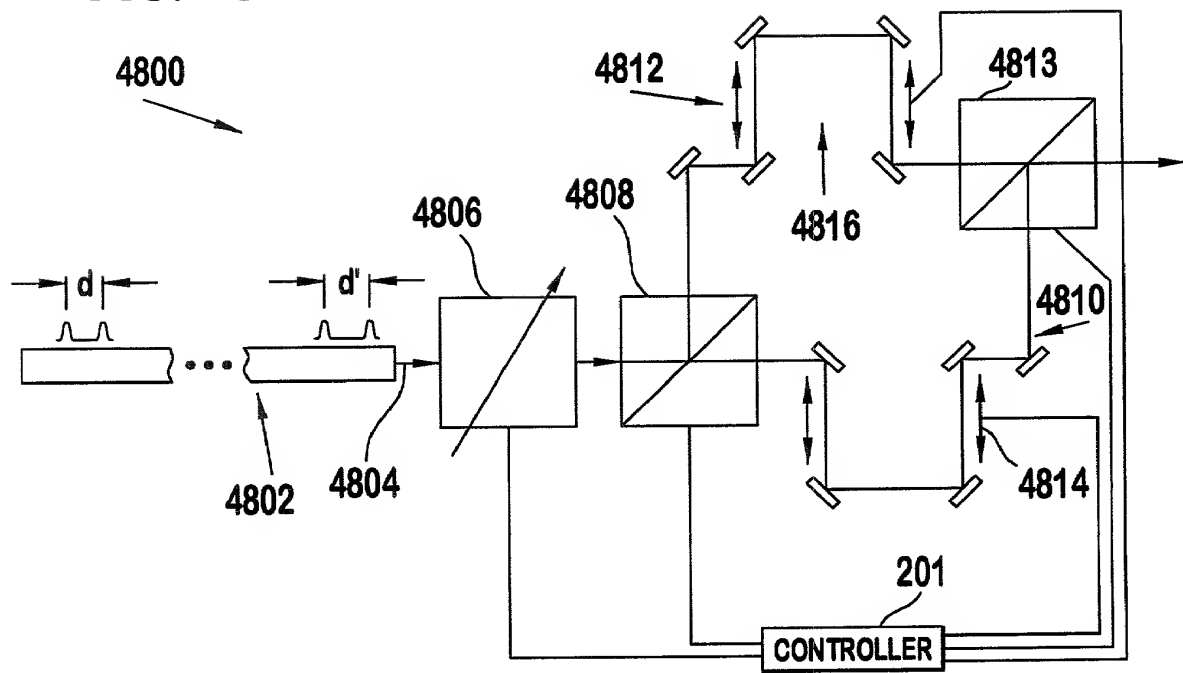


FIG. 49

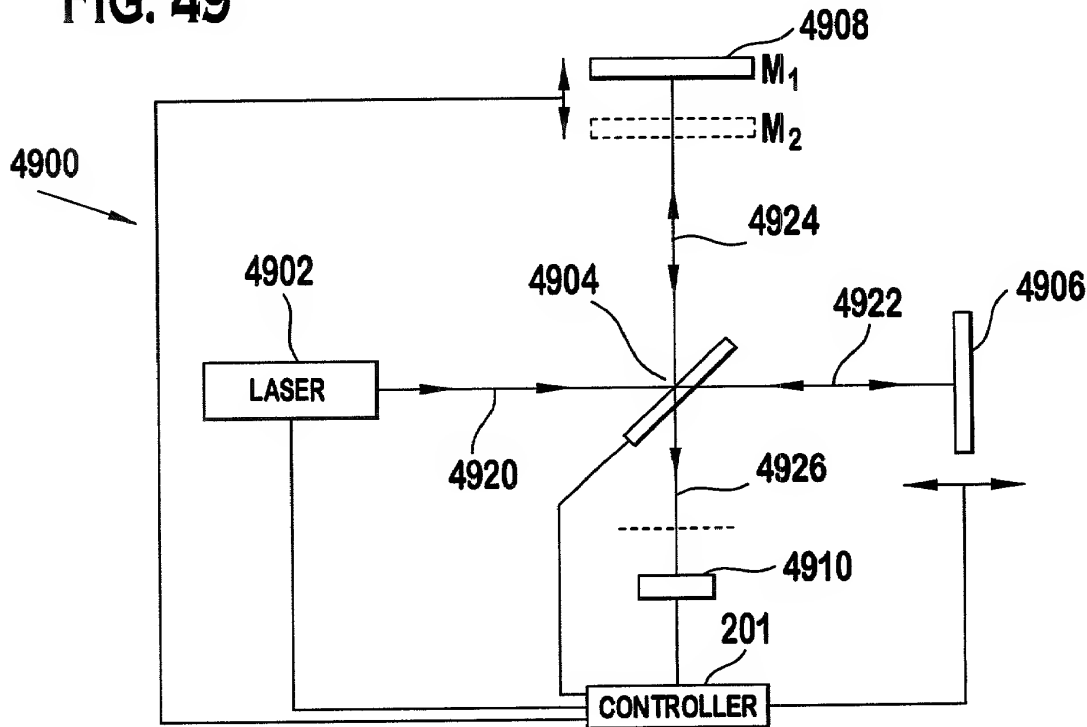
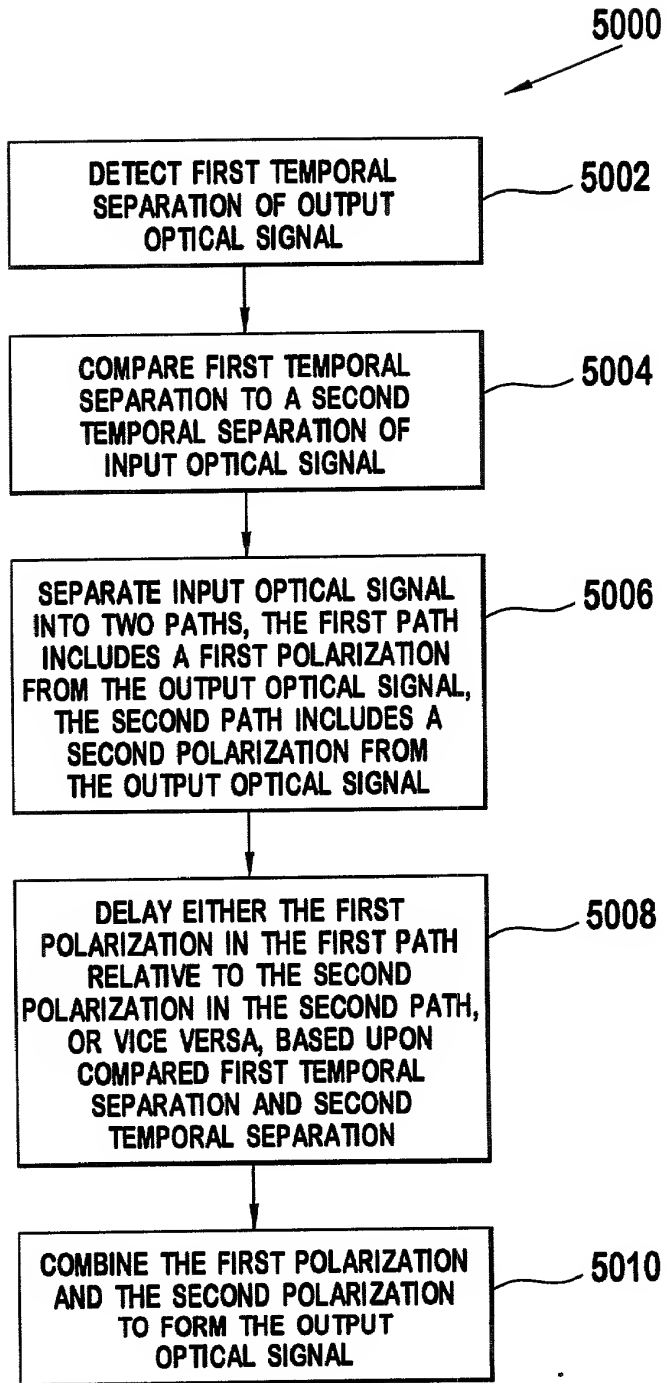


FIG. 50



30/55

FIG. 51

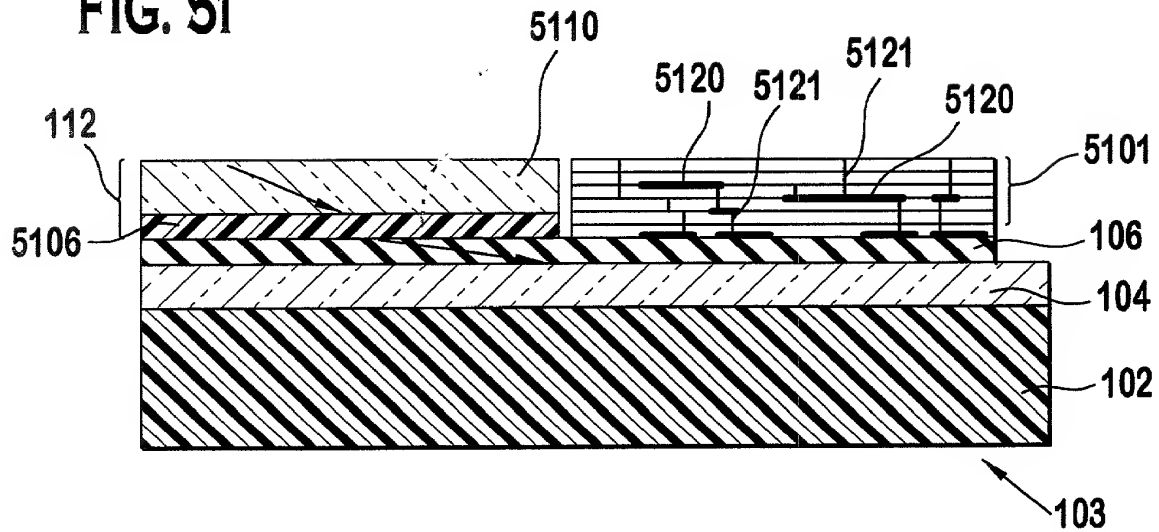
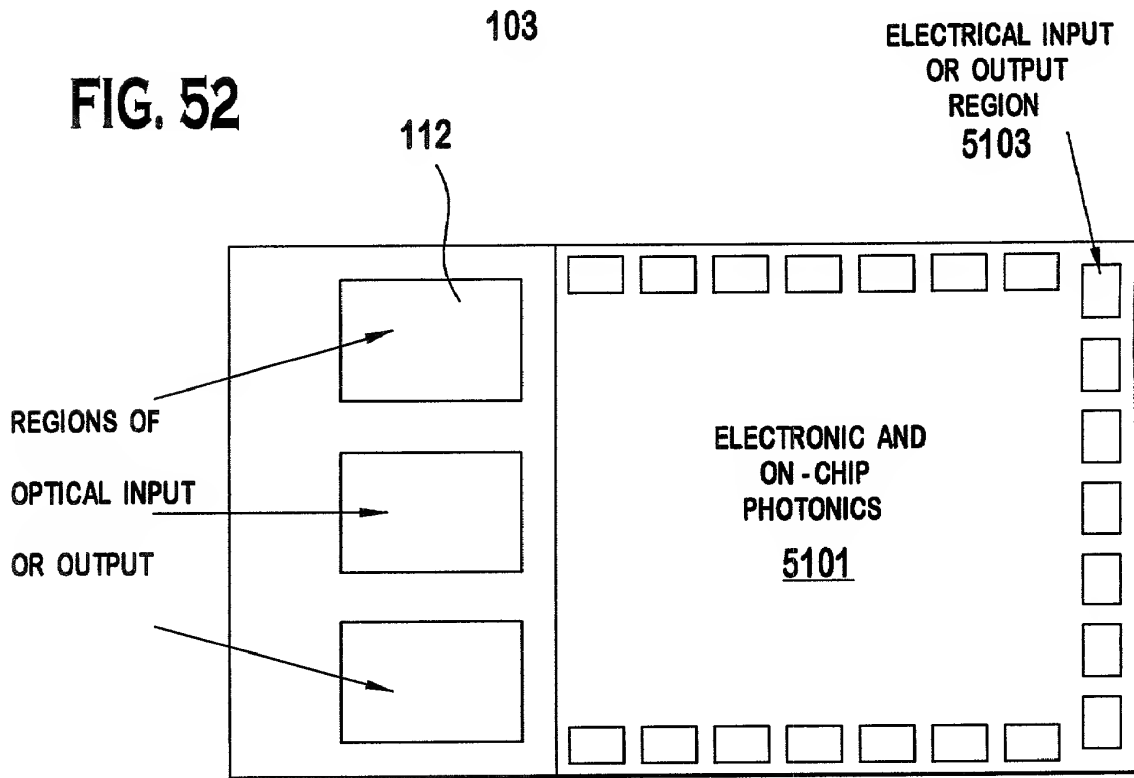


FIG. 52



31/55

FIG. 53

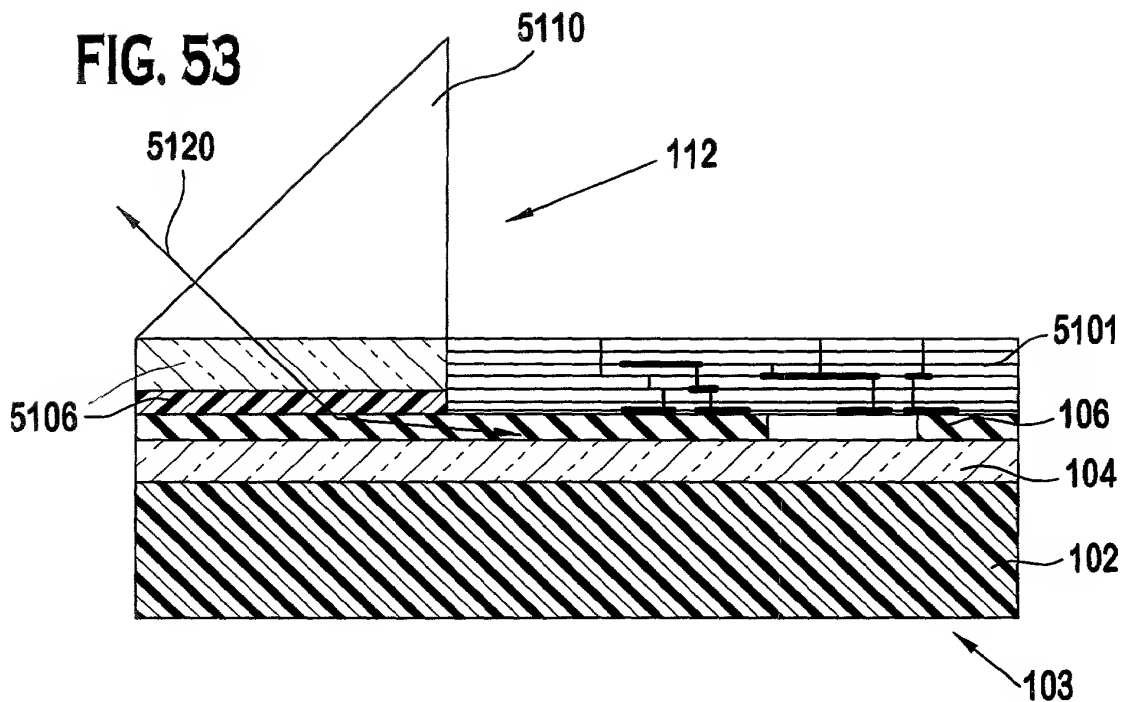


FIG. 54

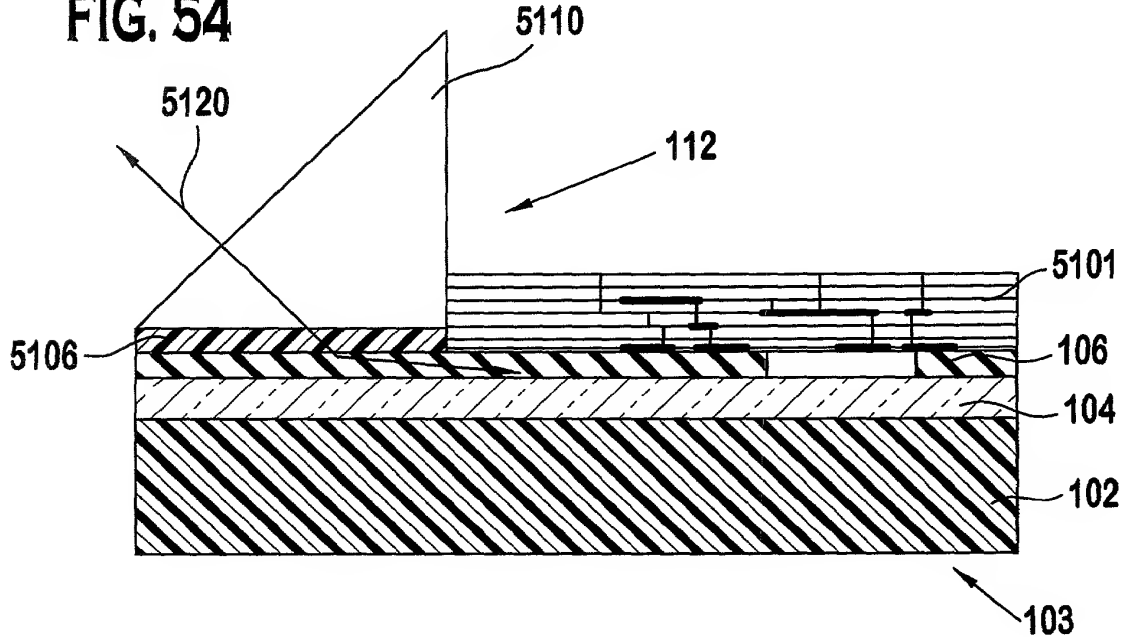


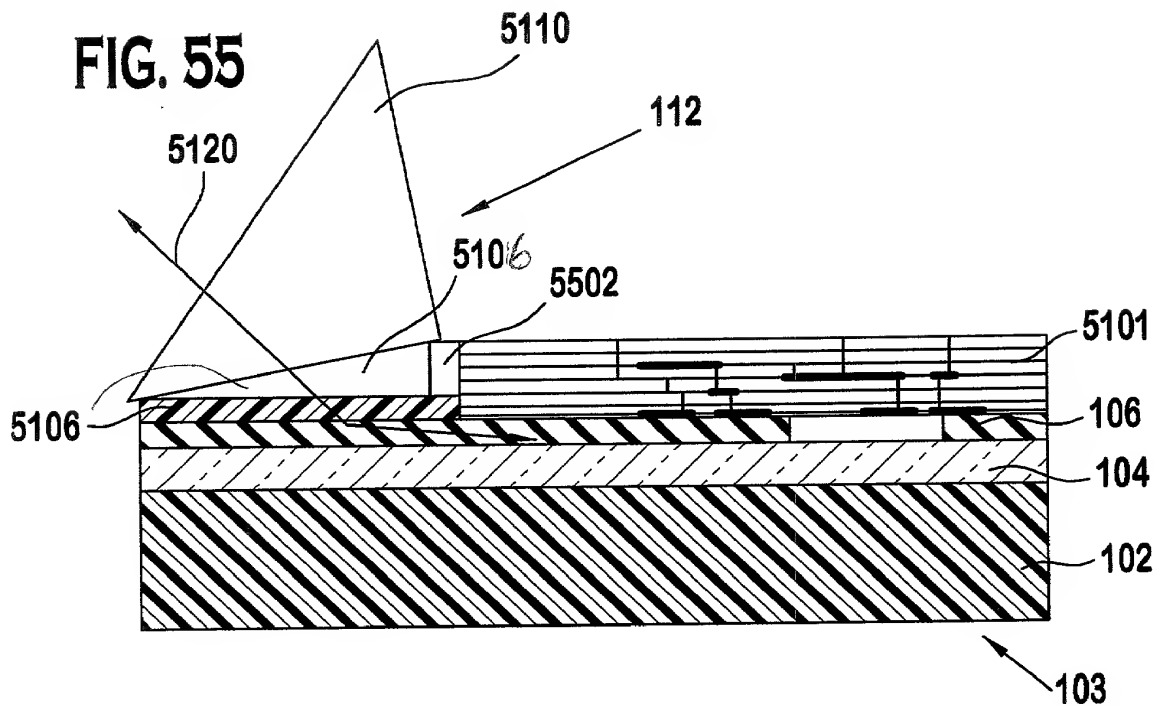
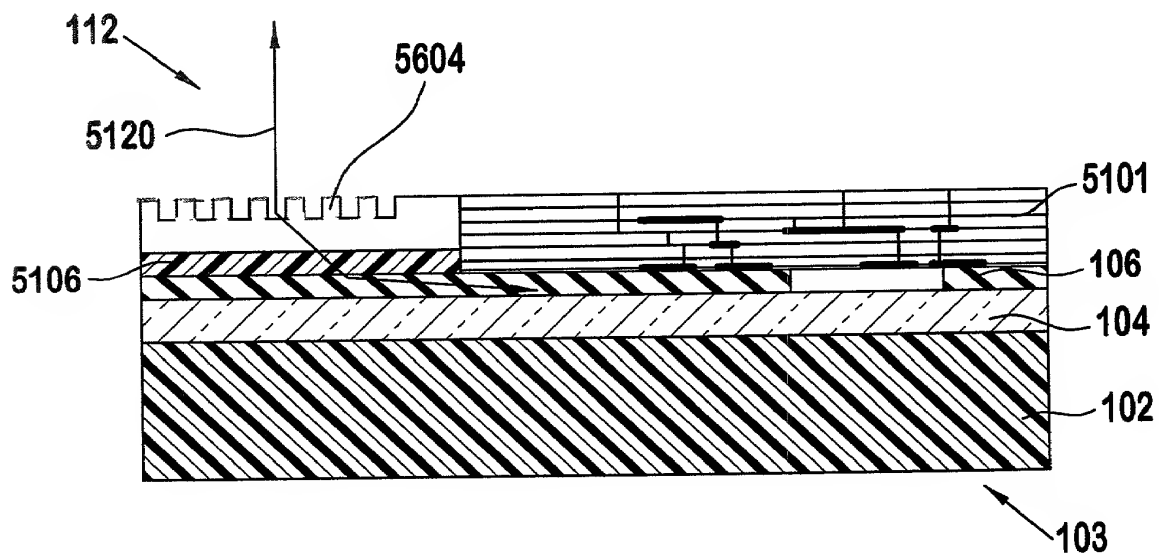
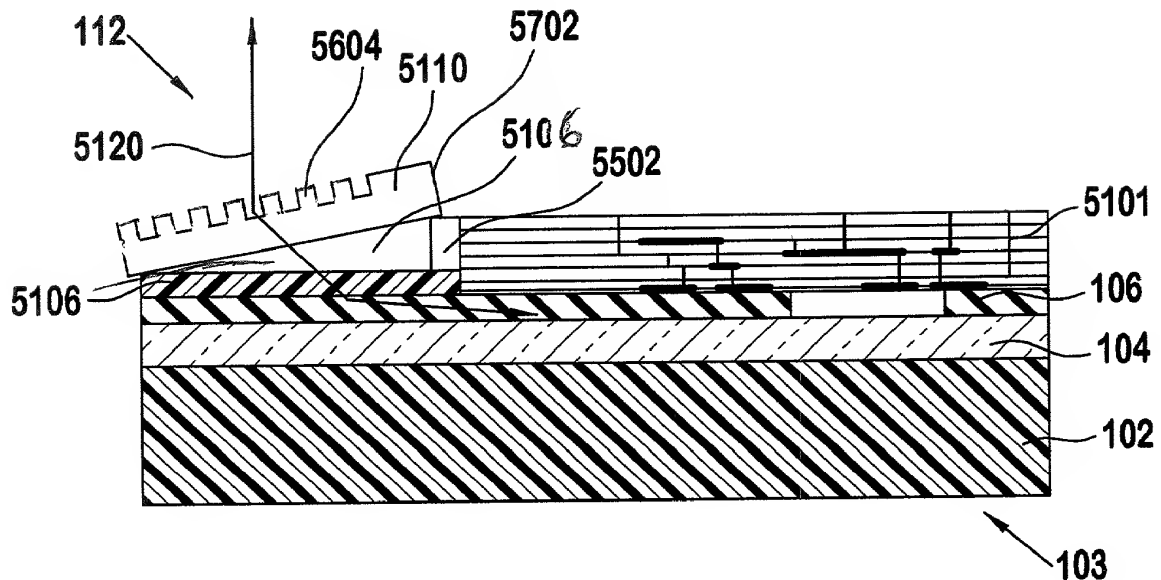
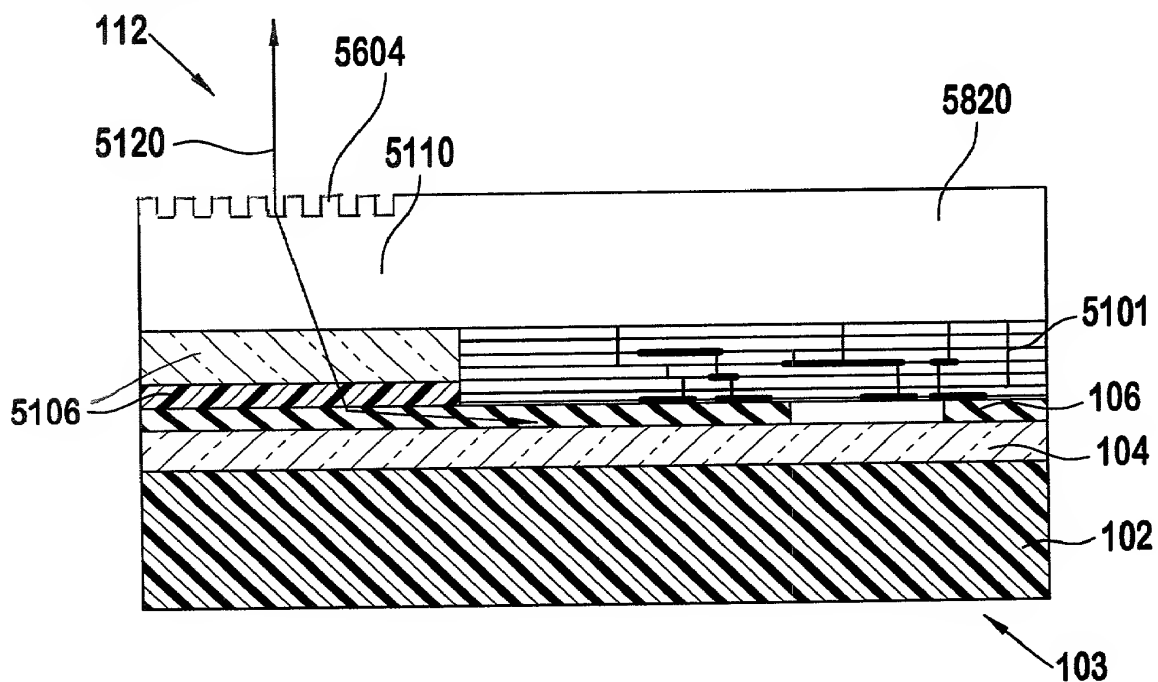
FIG. 55**FIG. 56**

FIG. 57**FIG. 58**

34/55

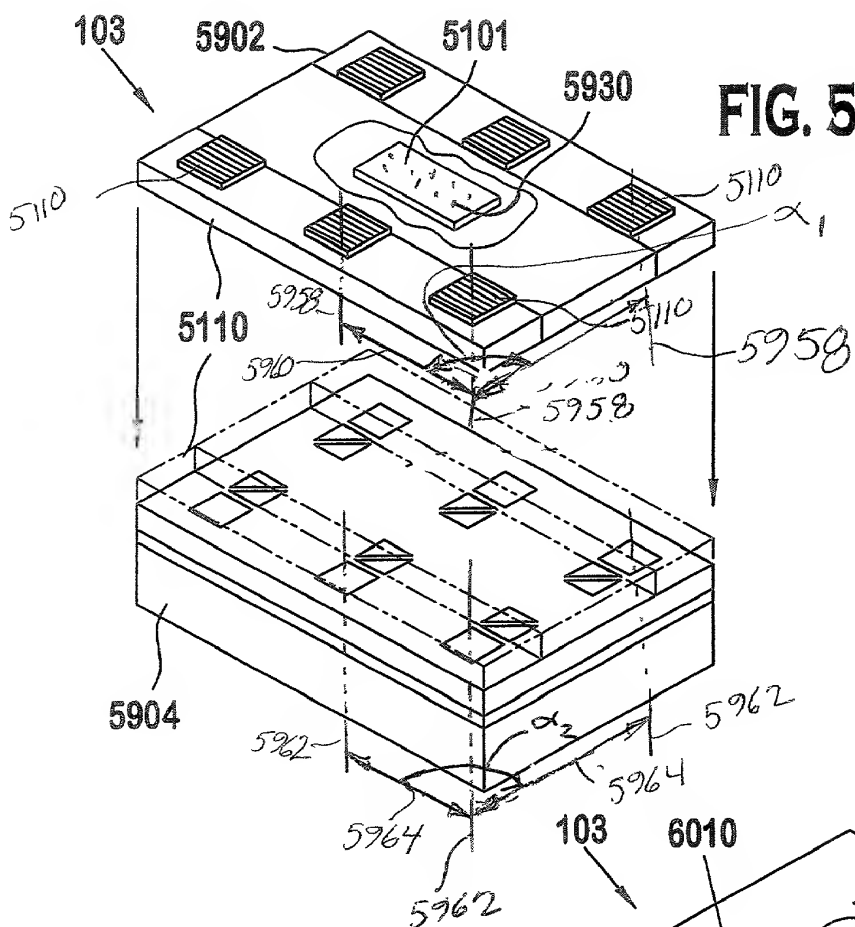


FIG. 60

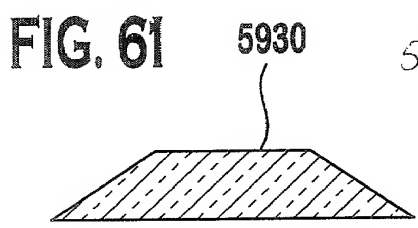
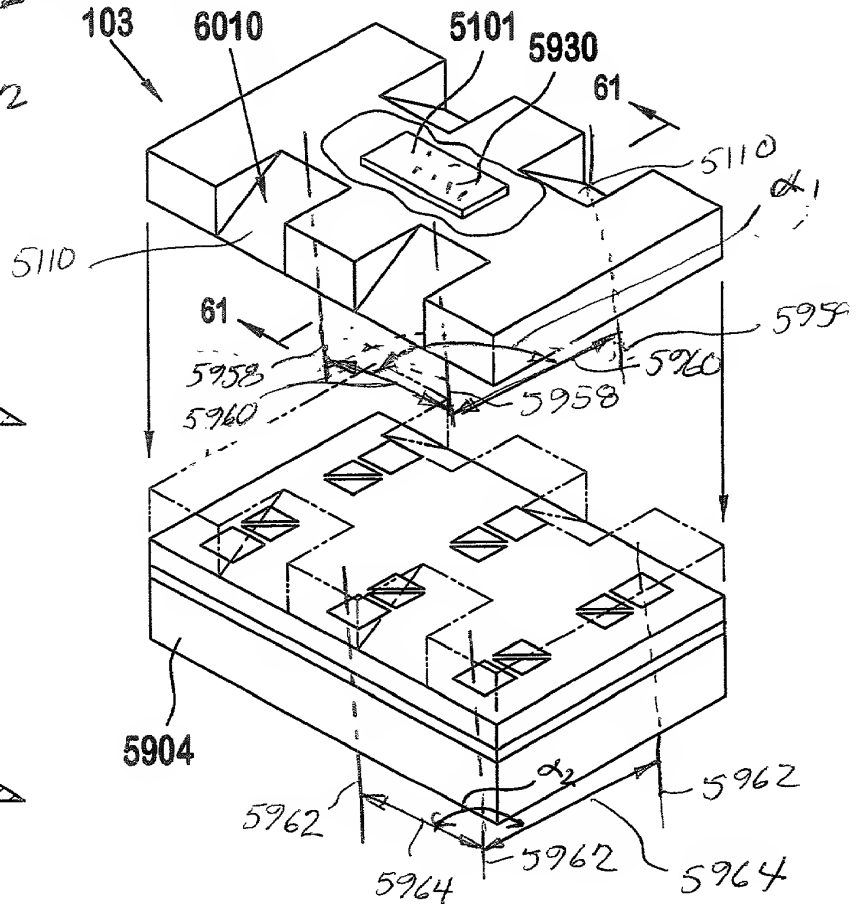
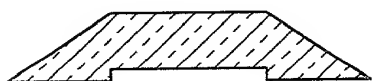


FIG. 62



35/55

FIG. 63A

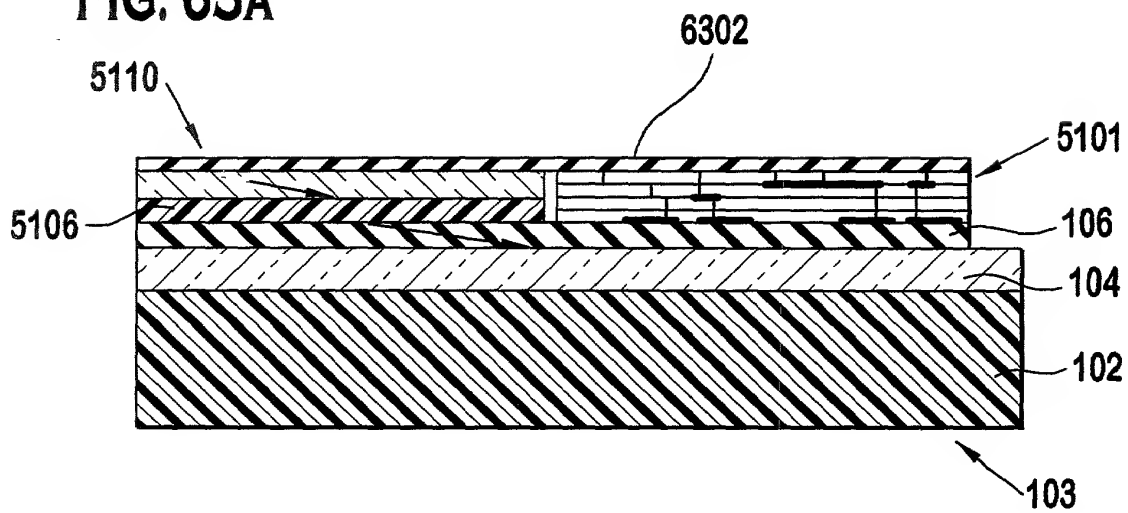
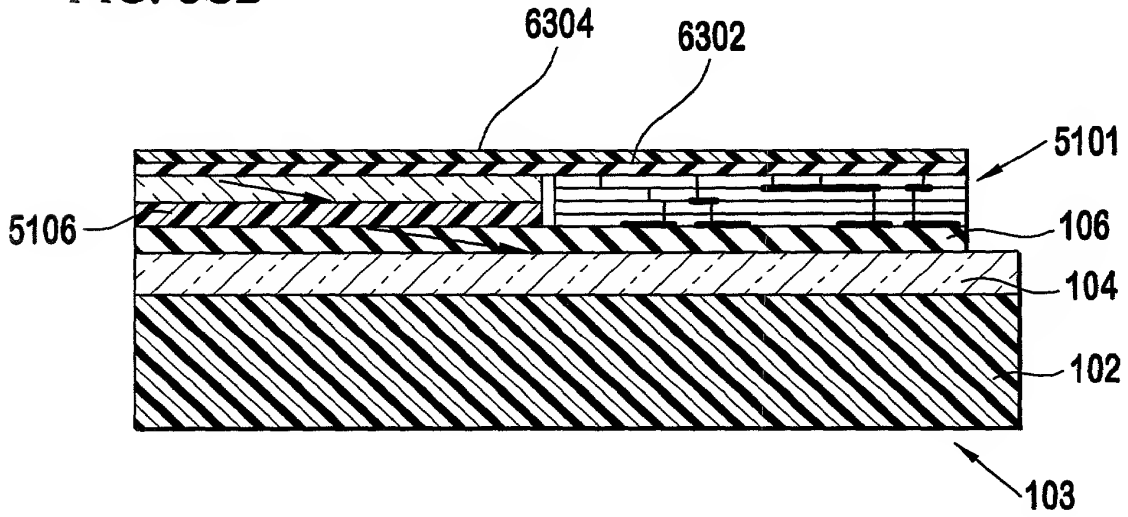


FIG. 63B



36/55

FIG. 63C

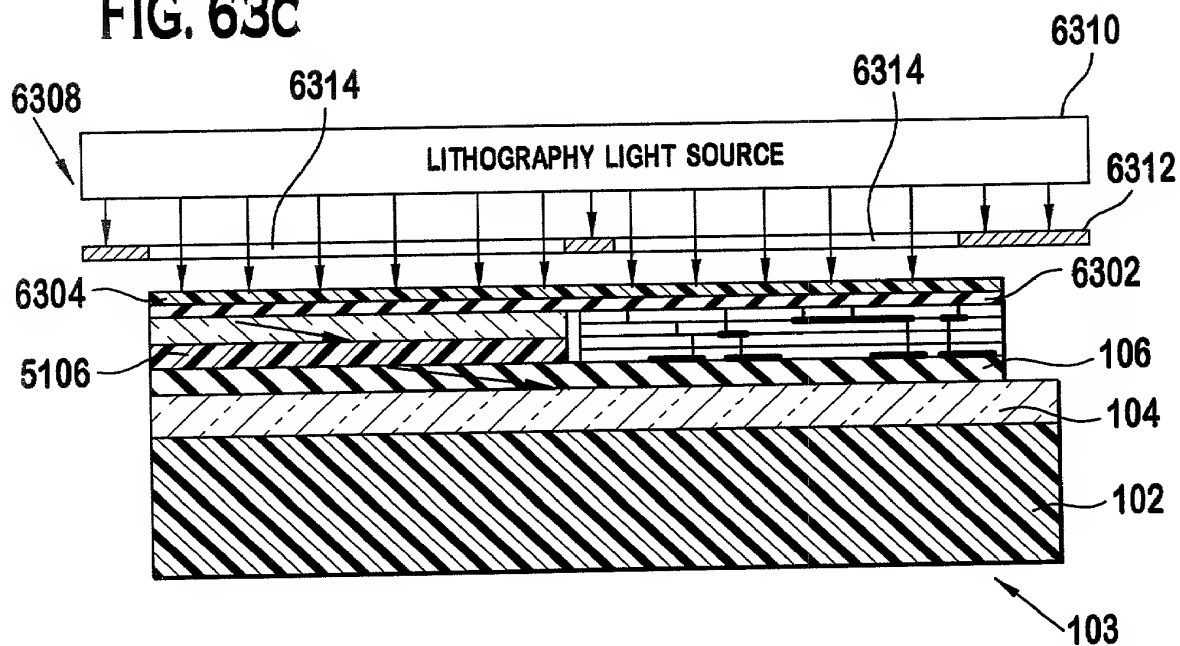


FIG. 63D

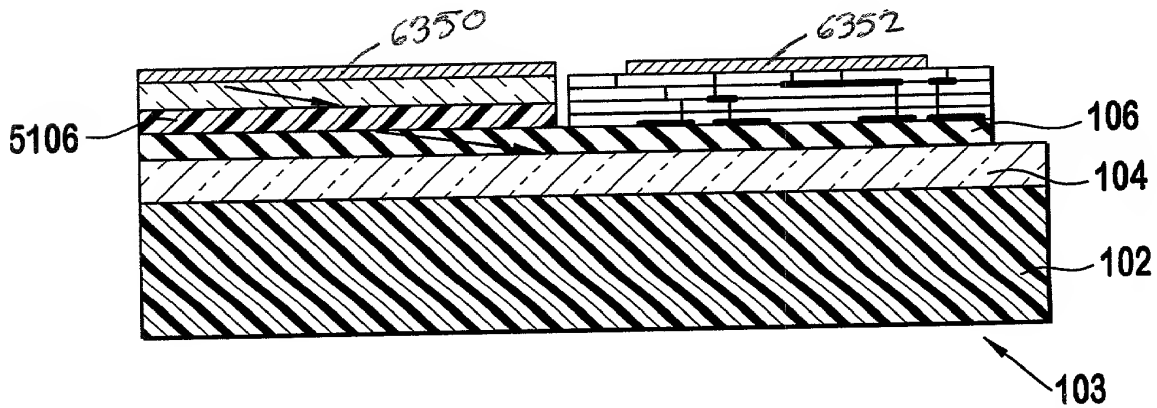


FIG. 64

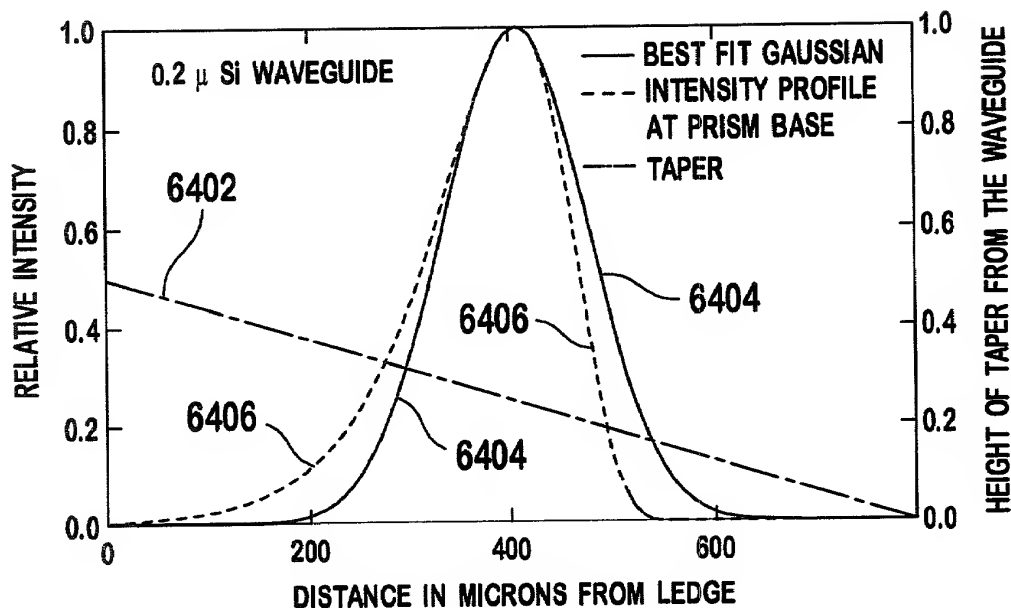
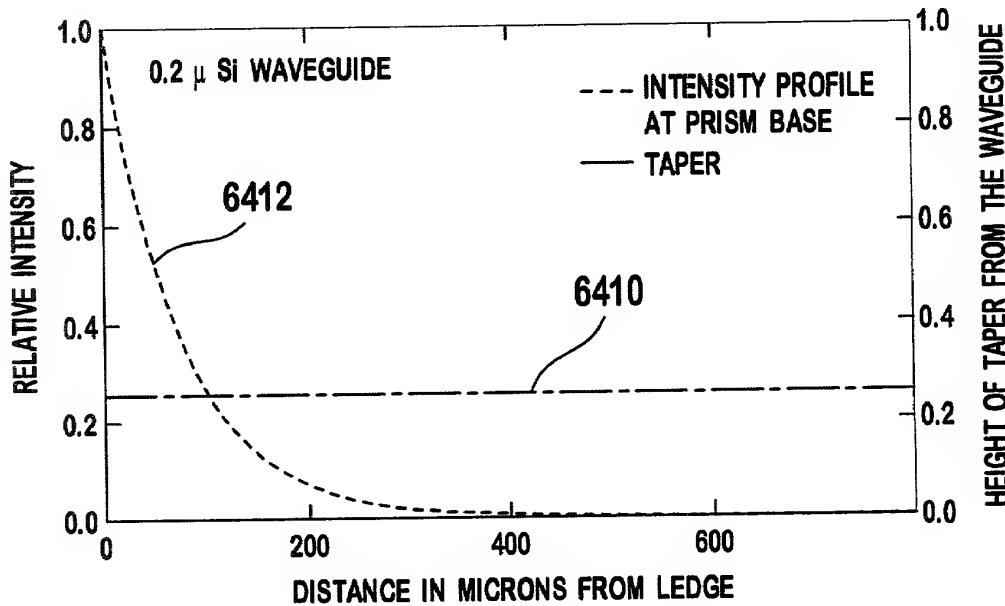


FIG. 65



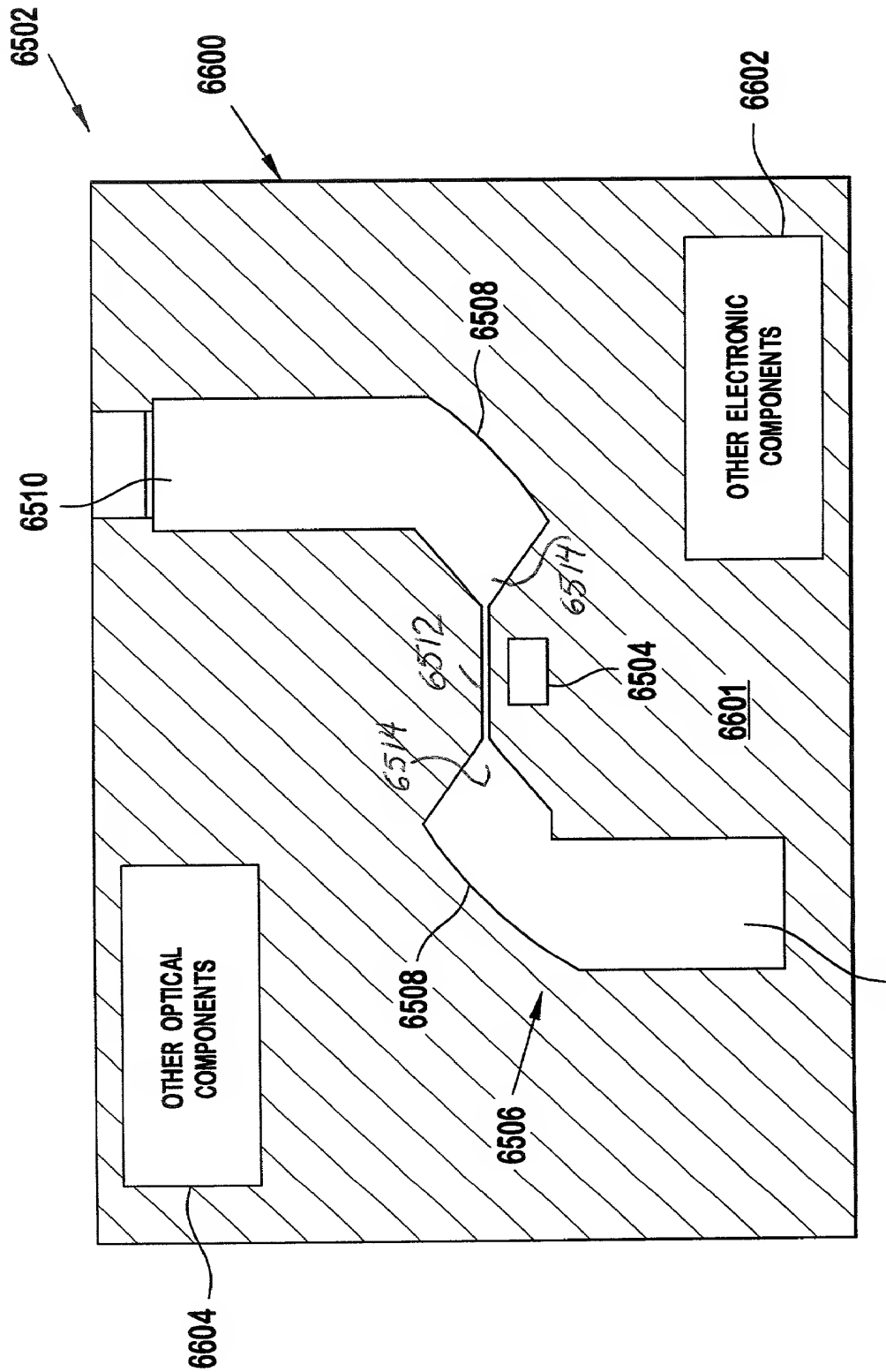
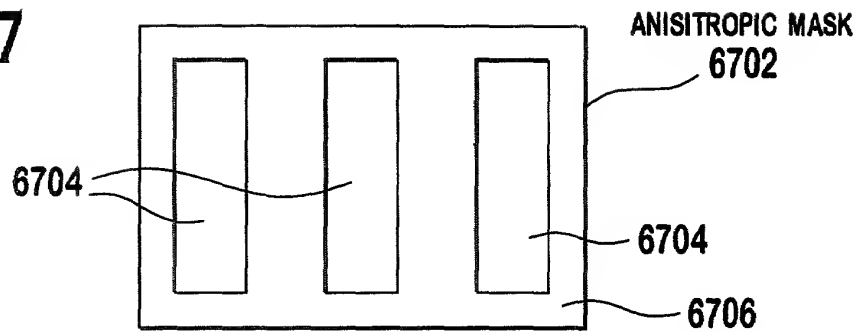
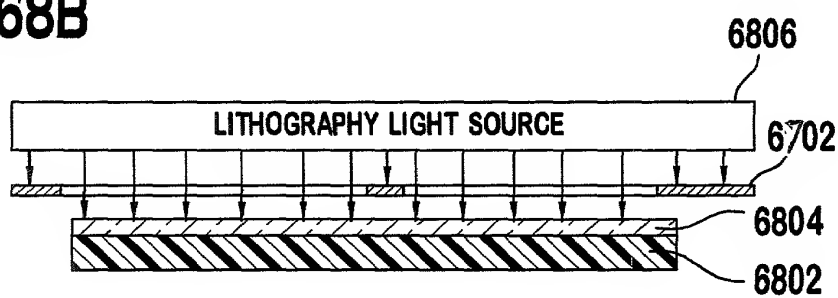
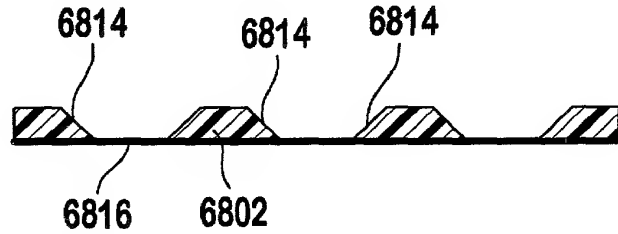


FIG. 66

6507

FIG. 67**FIG. 68A****FIG. 68B****FIG. 68C****FIG. 68D**

40/55

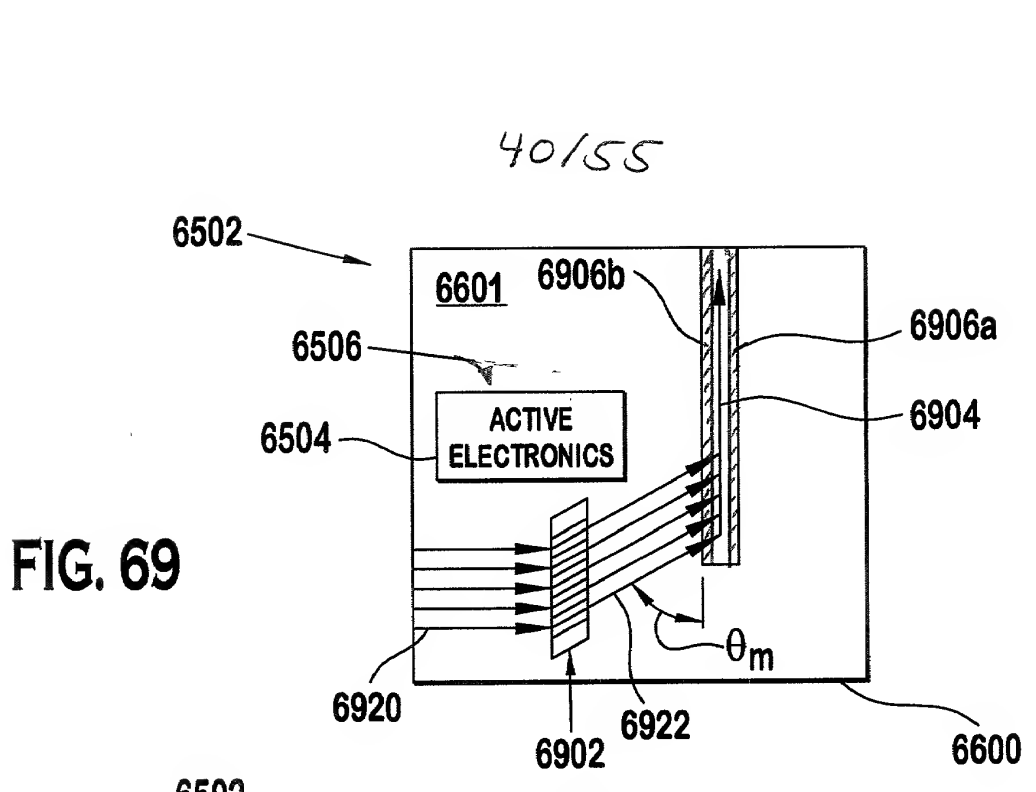


FIG. 69

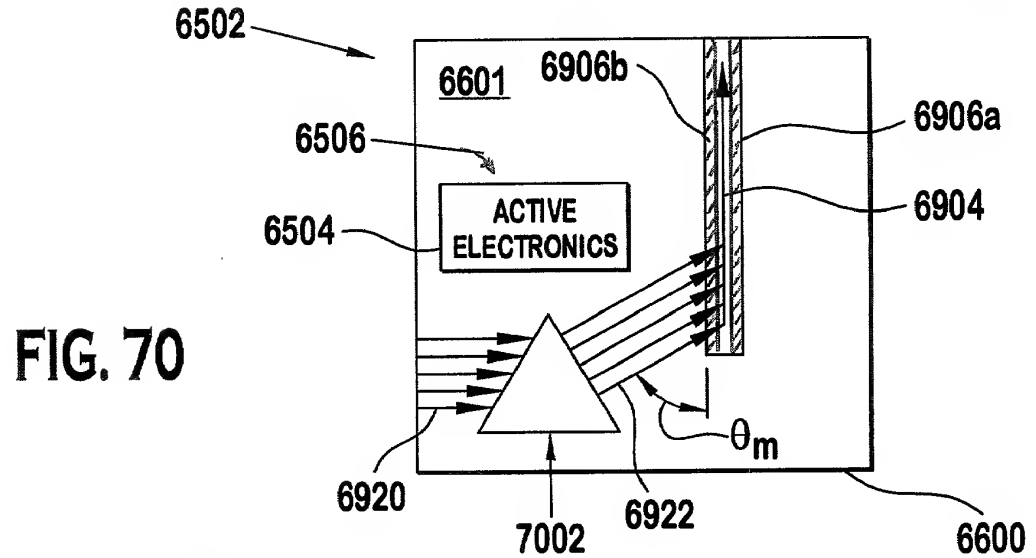


FIG. 70

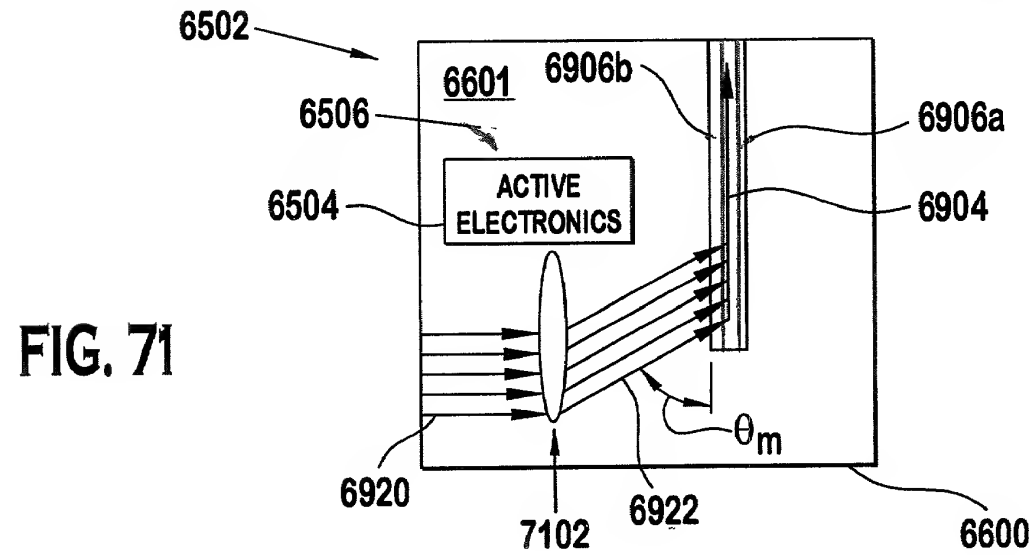


FIG. 71

41/55

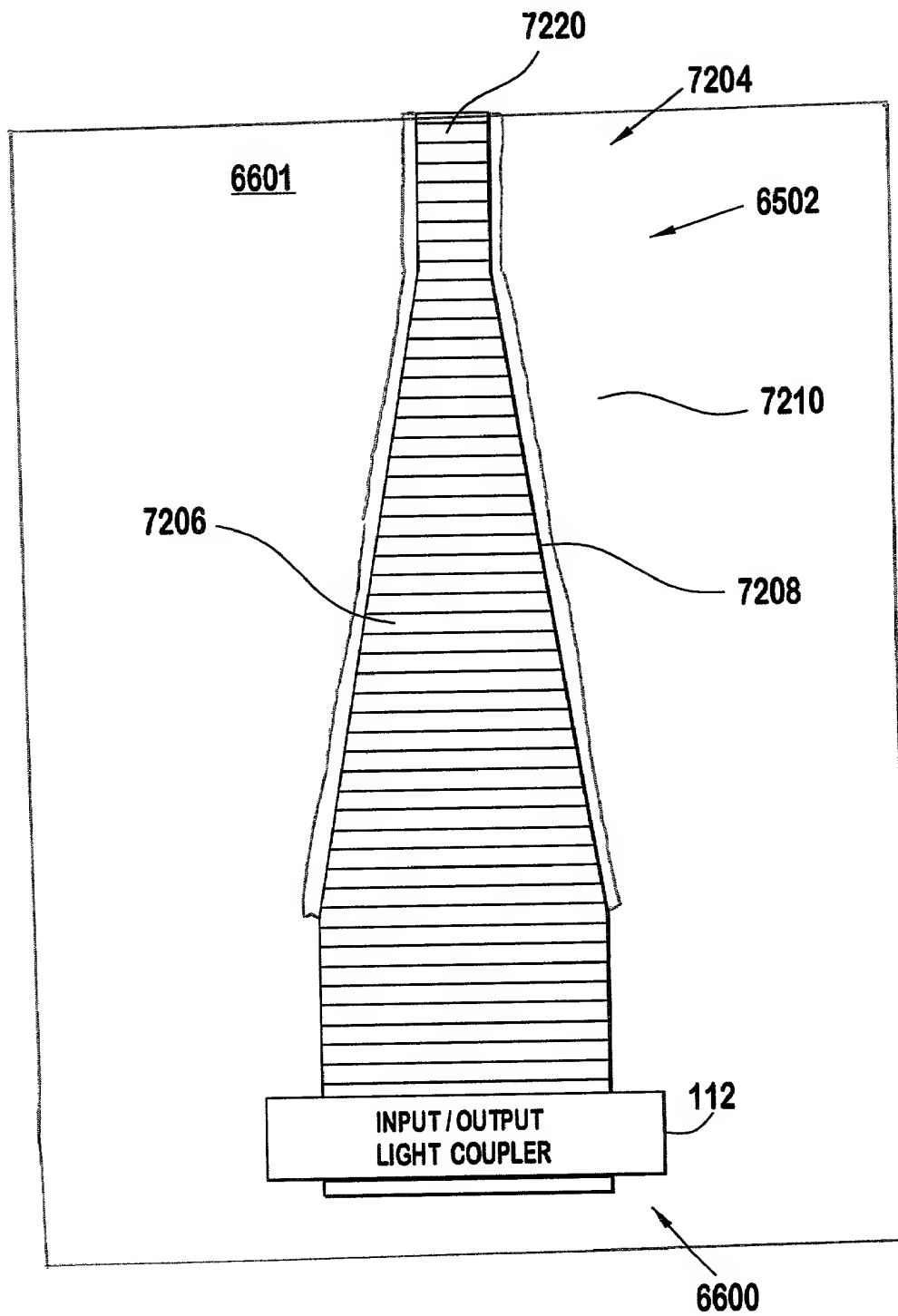


FIG. 72

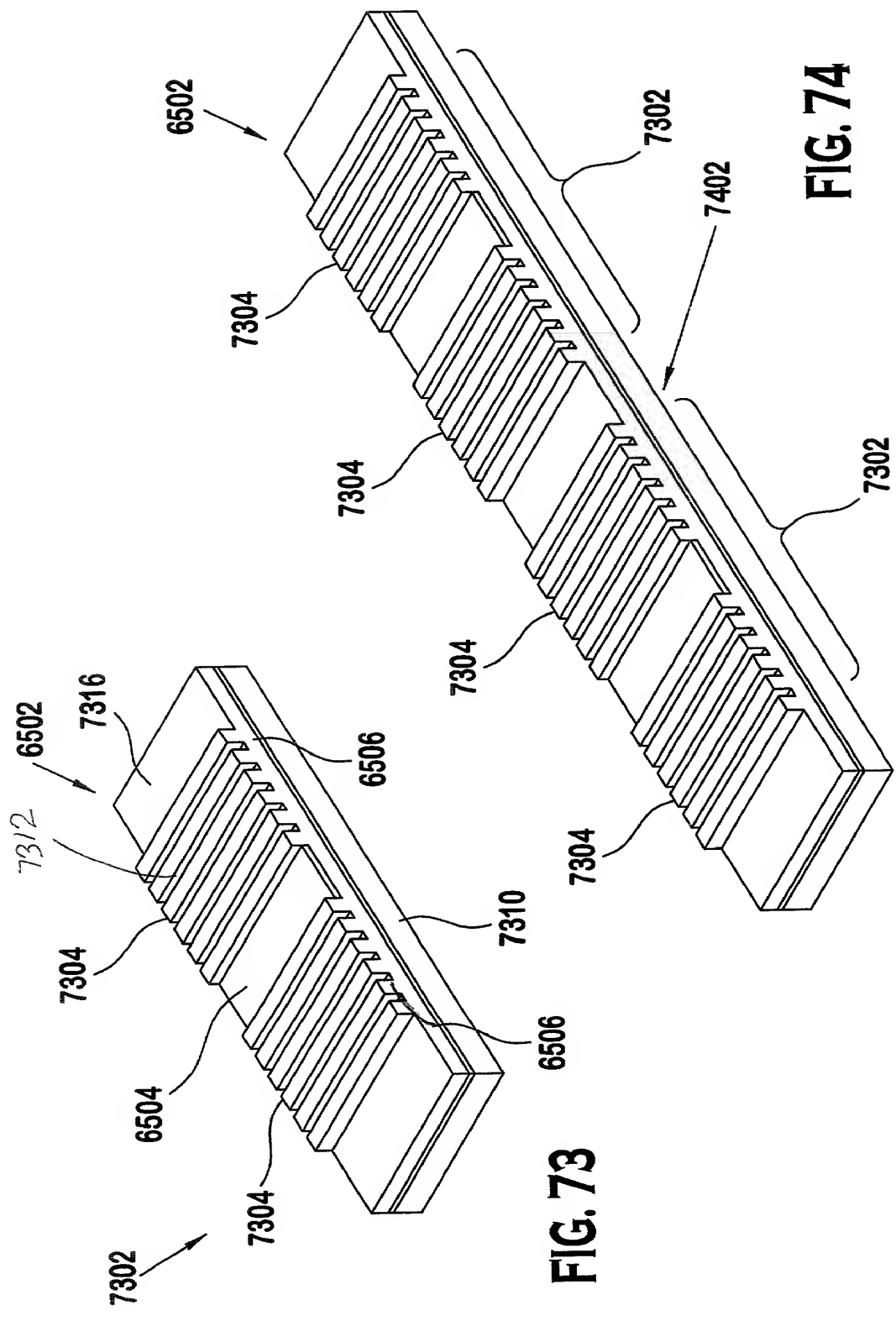


FIG. 73

43/55

FIG. 75

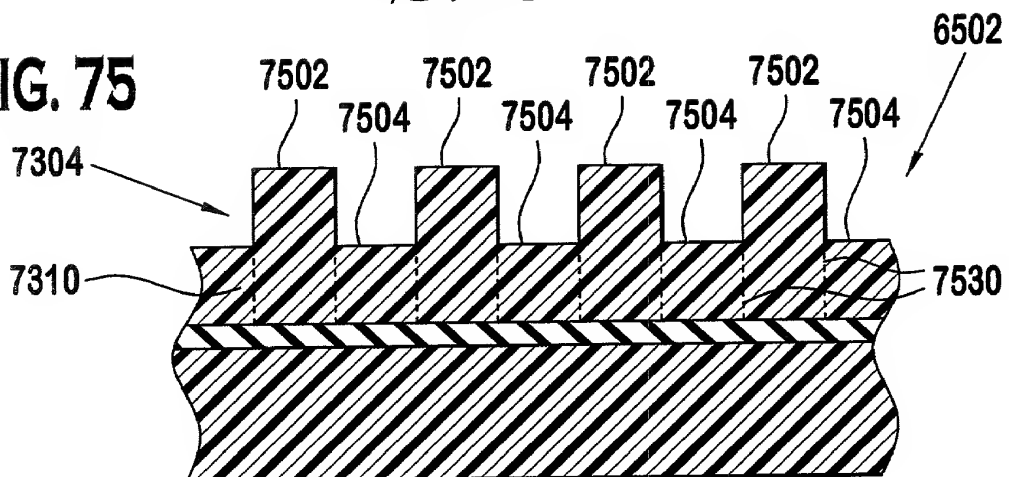


FIG. 76

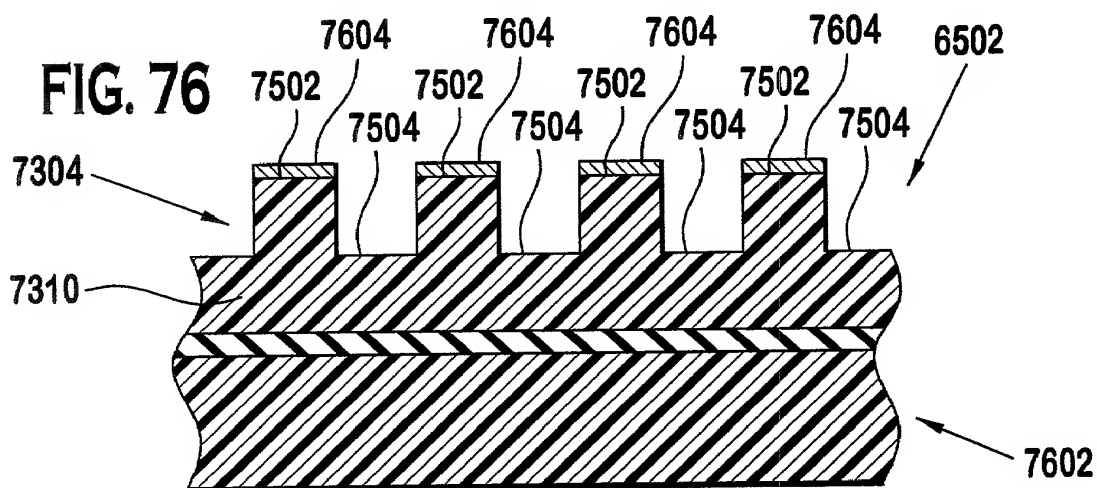
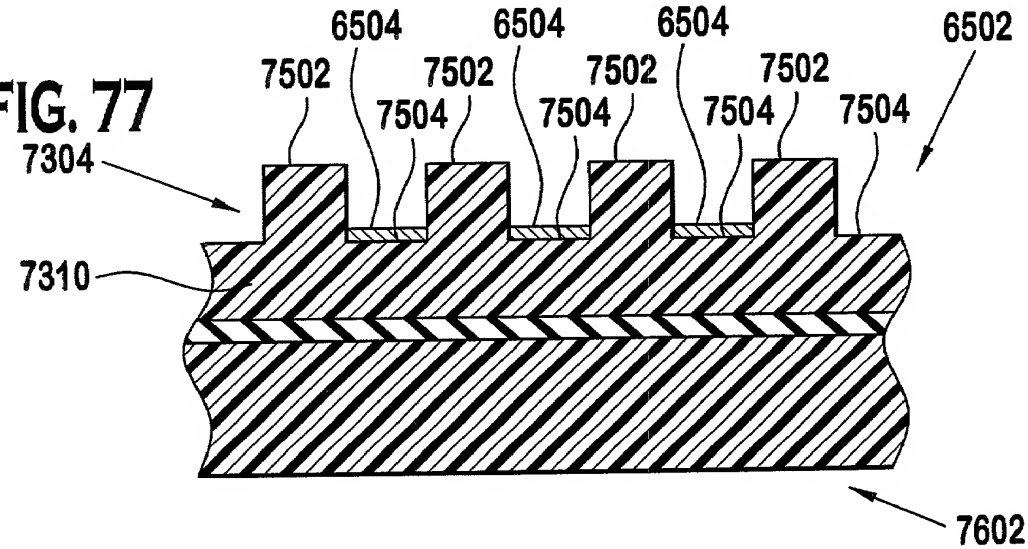


FIG. 77



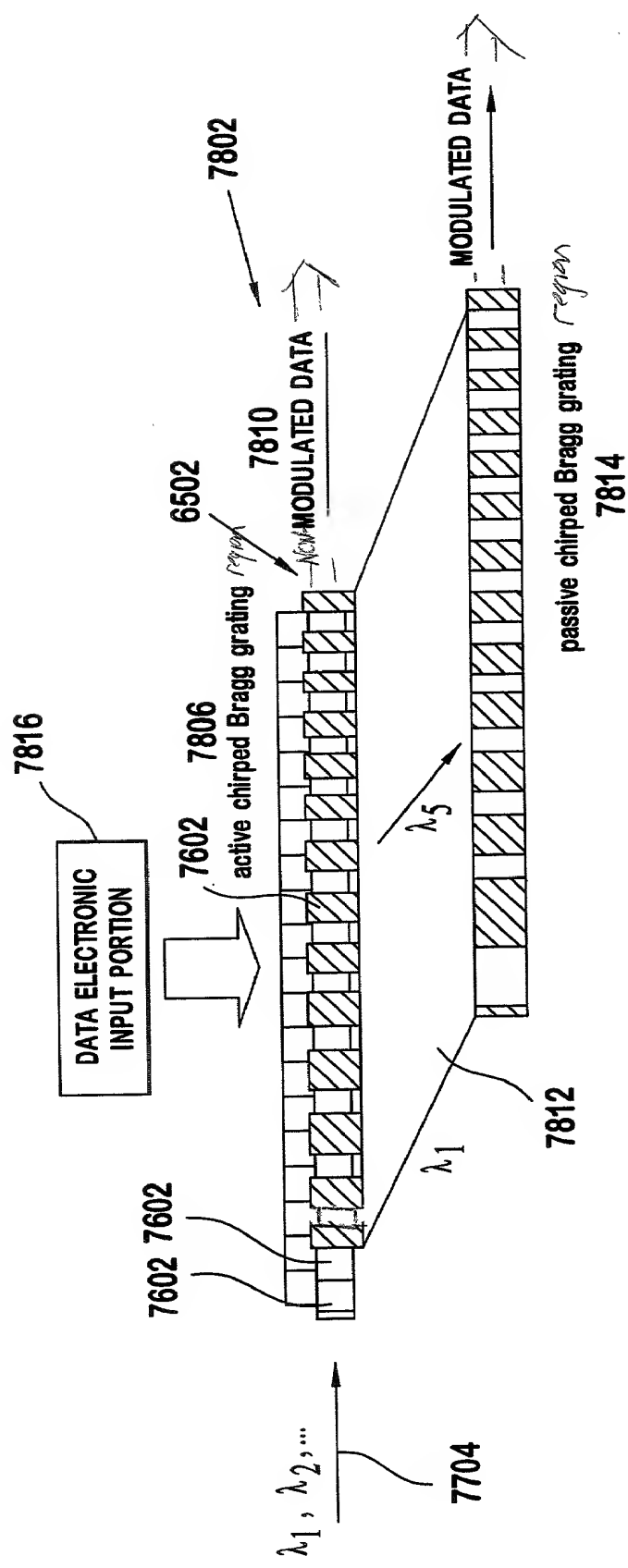


FIG. 78

45/55

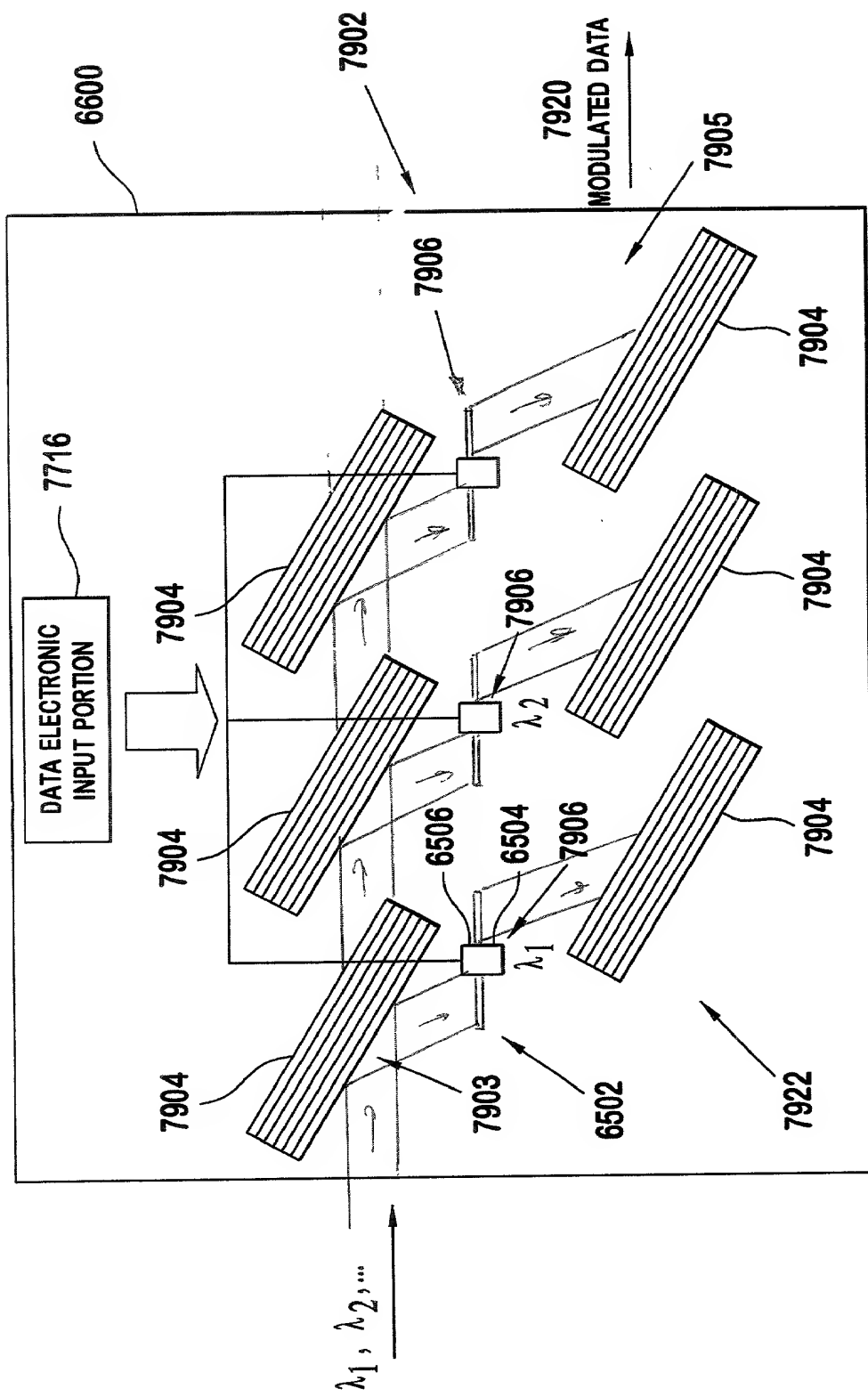


FIG. 79

46/55

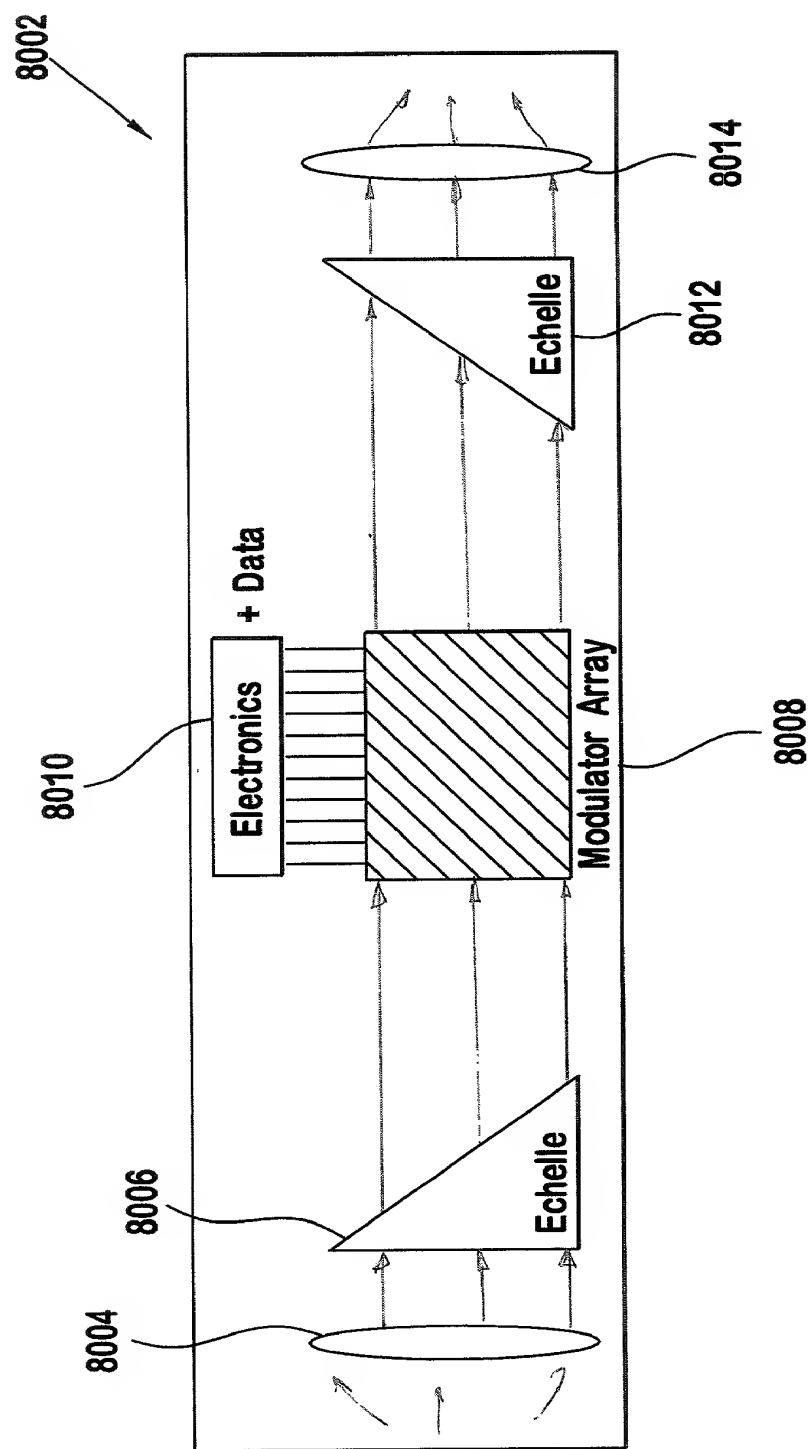


FIG. 80

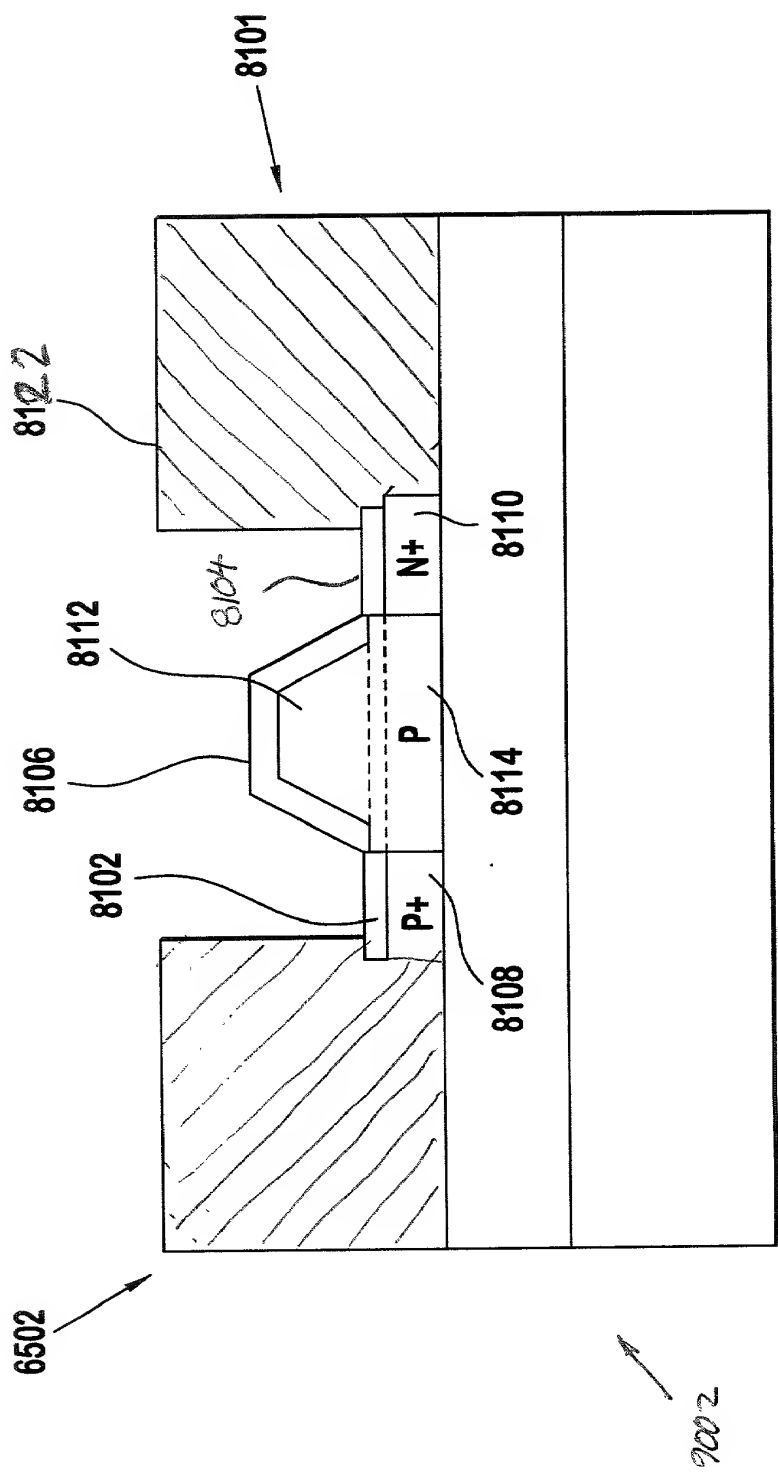


FIG. 81

48/55

FIG. 82

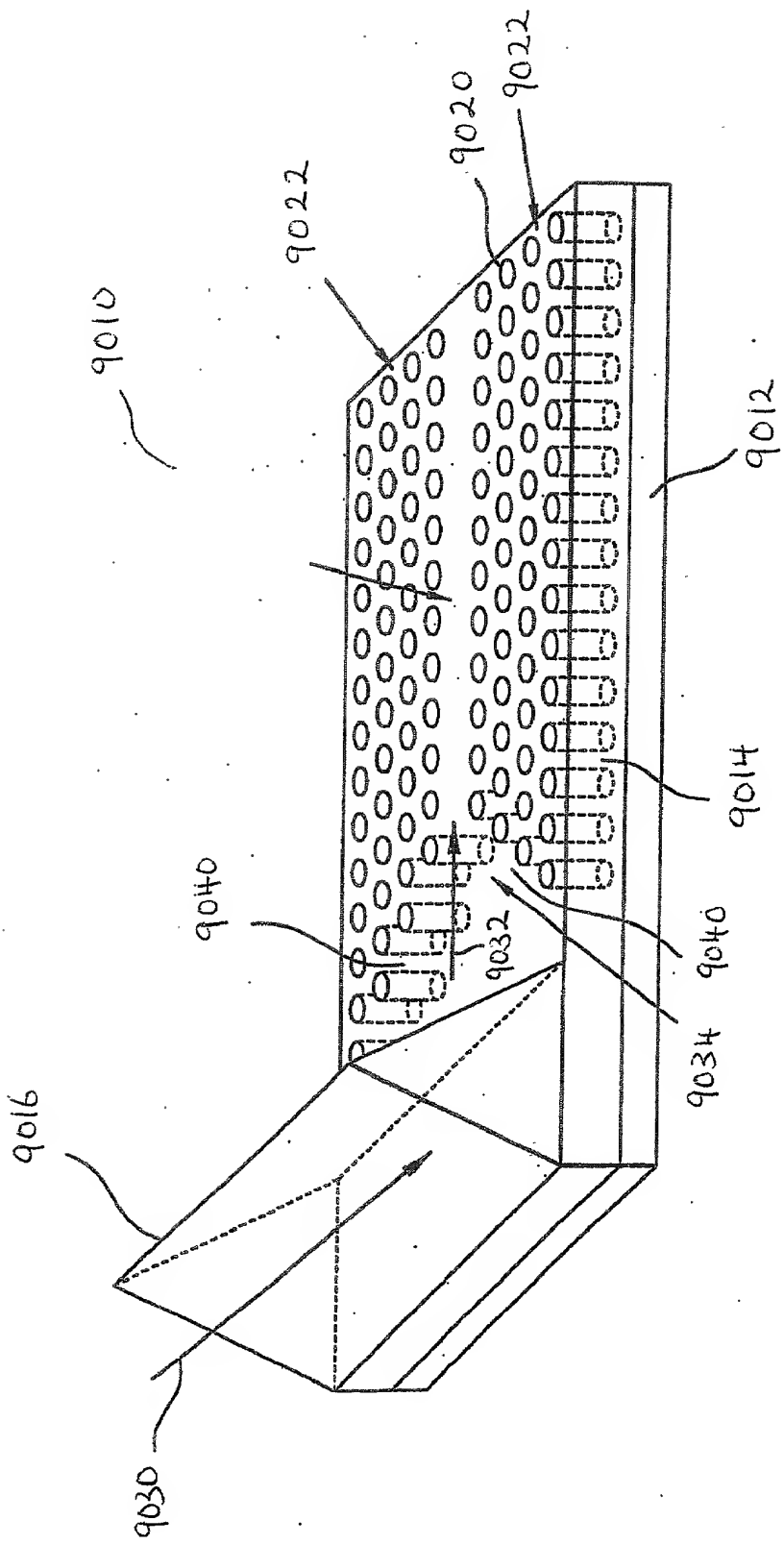
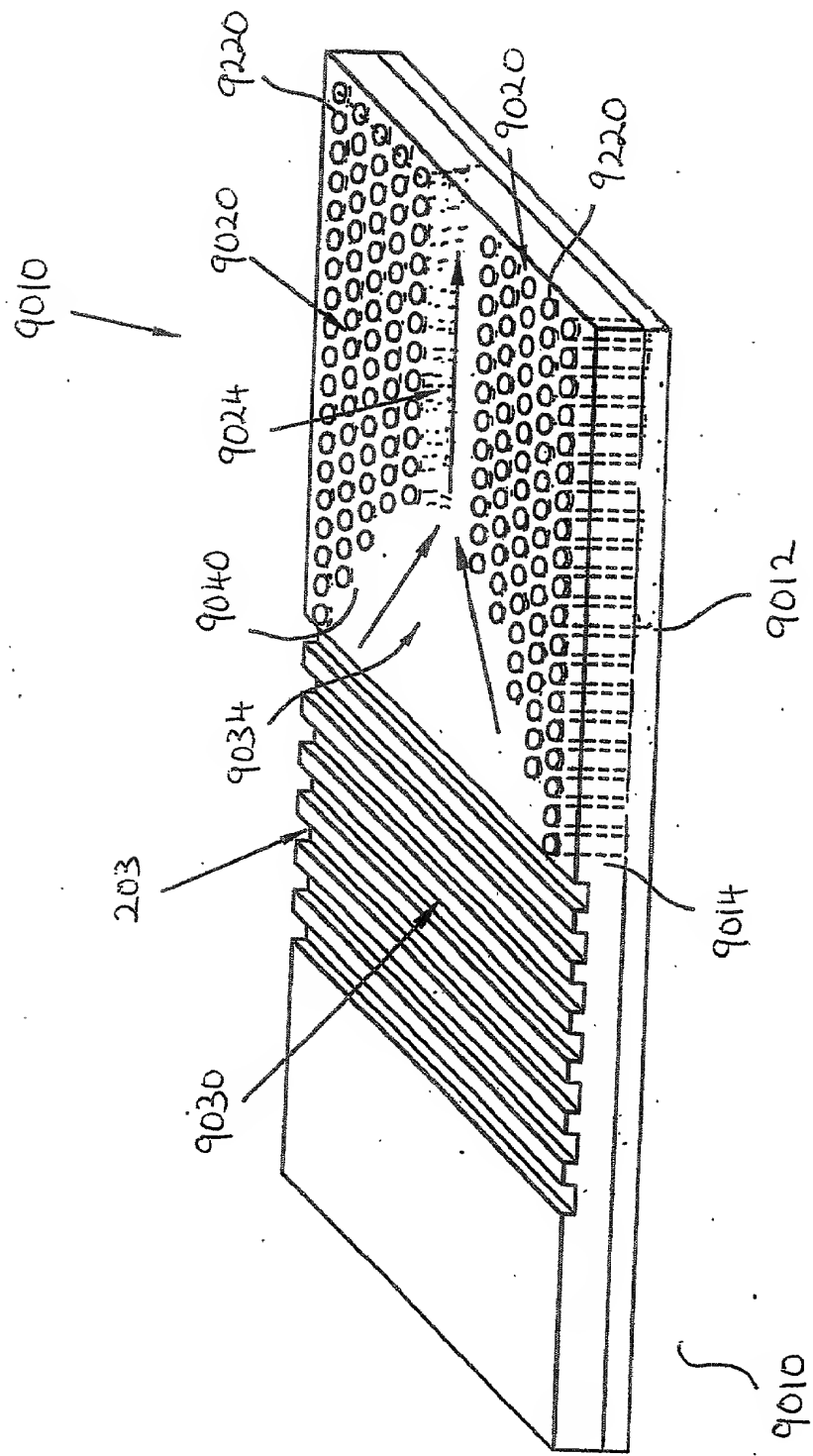


Fig. 83



50/55

FIG. 84

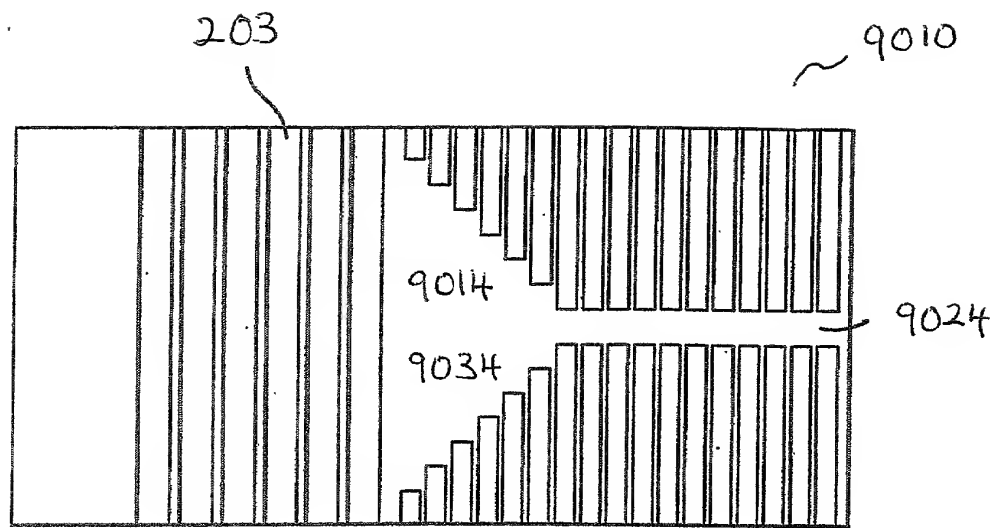
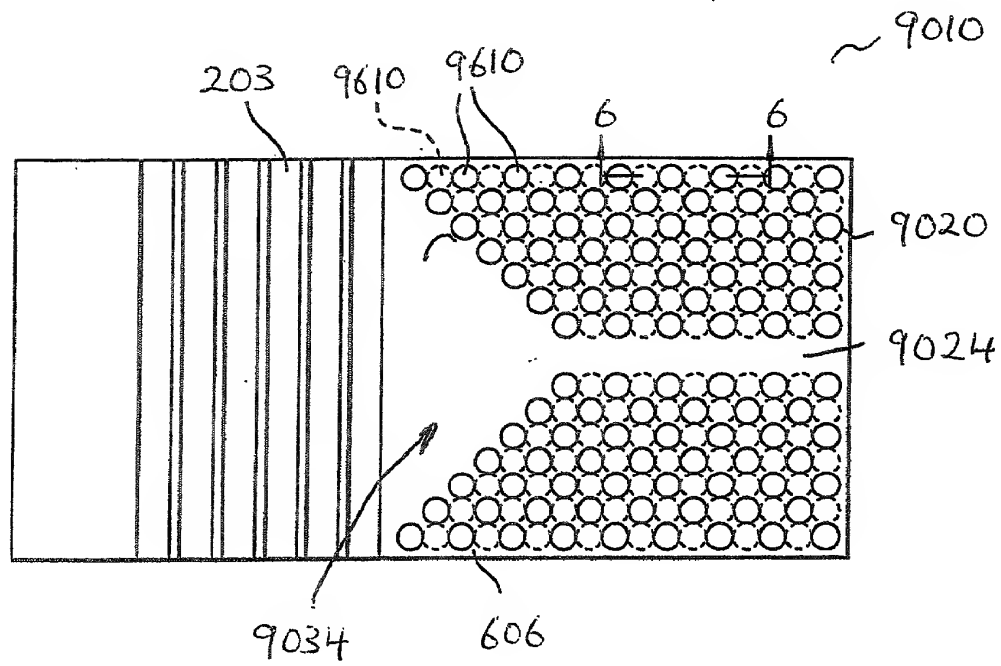


FIG. 85



51/55

FIG. 86

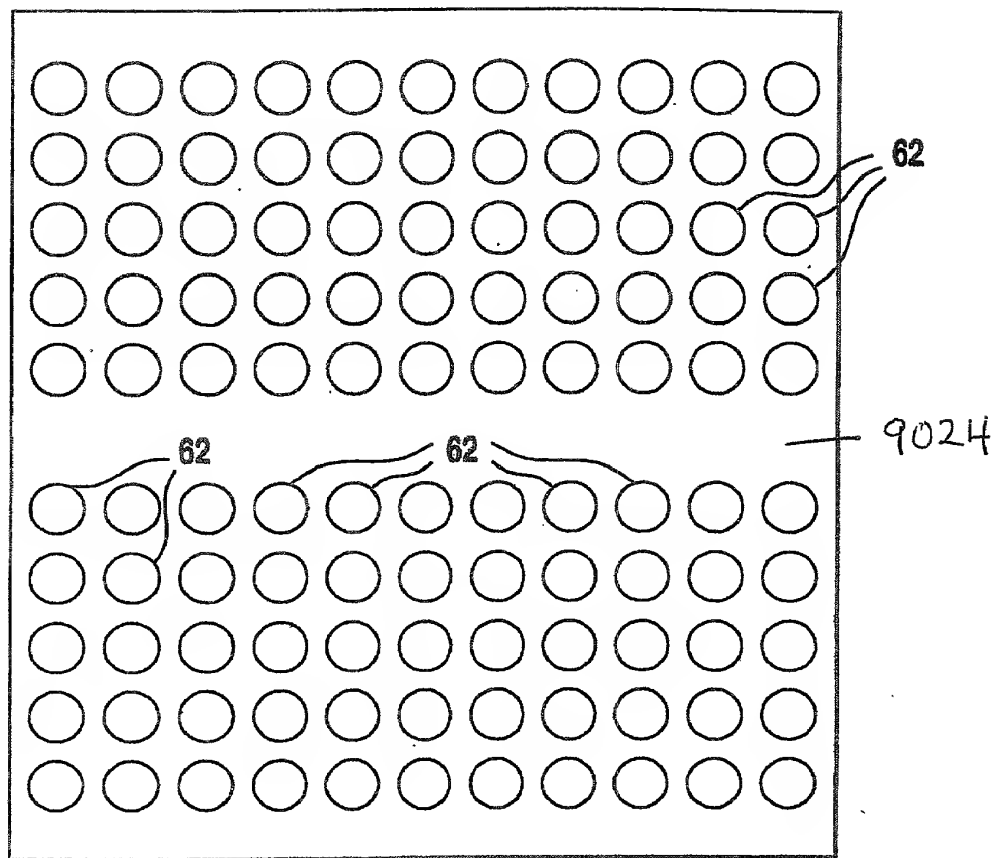
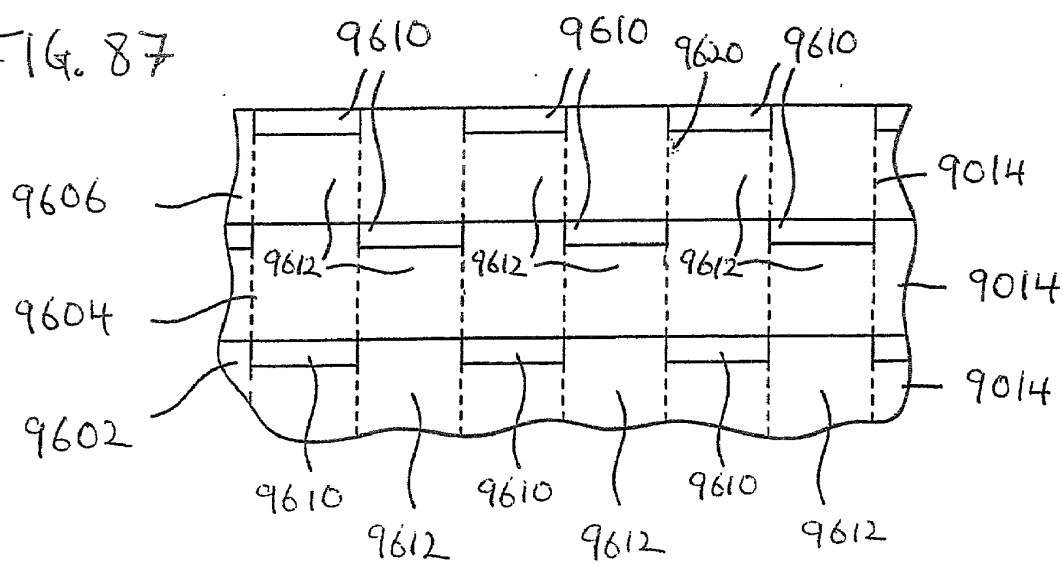
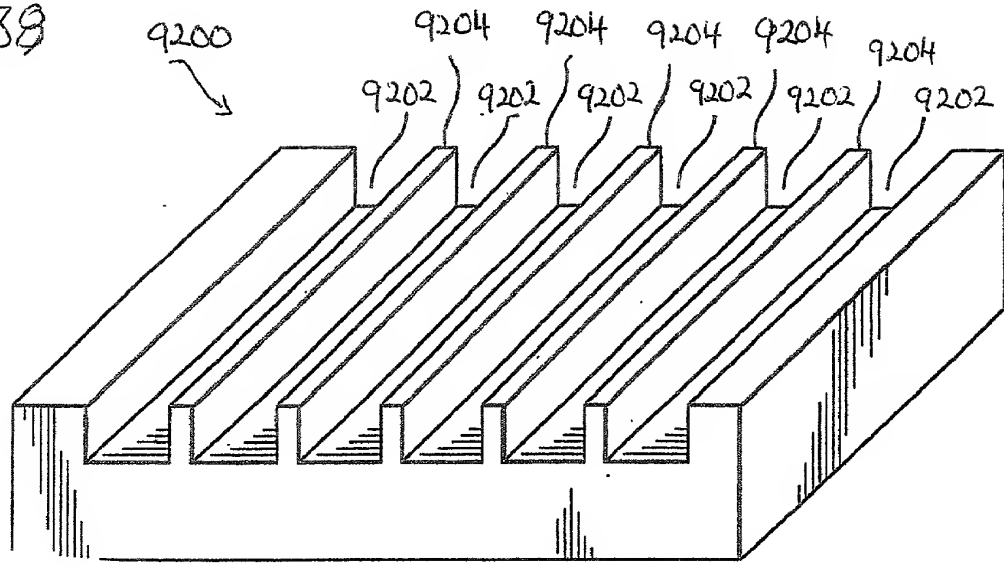


FIG. 87



52/55

FIG. 88



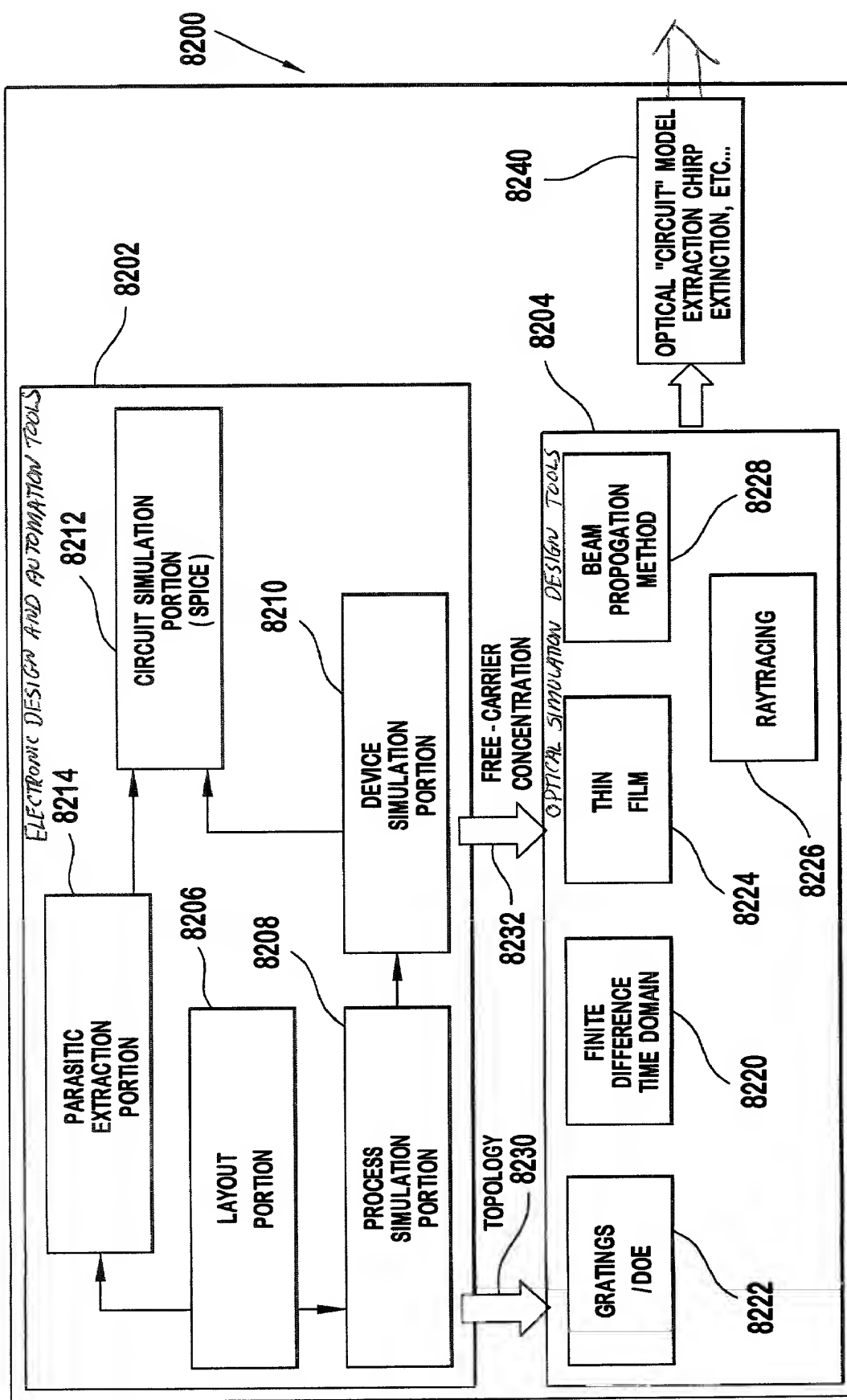


FIG. 8.9

54/55

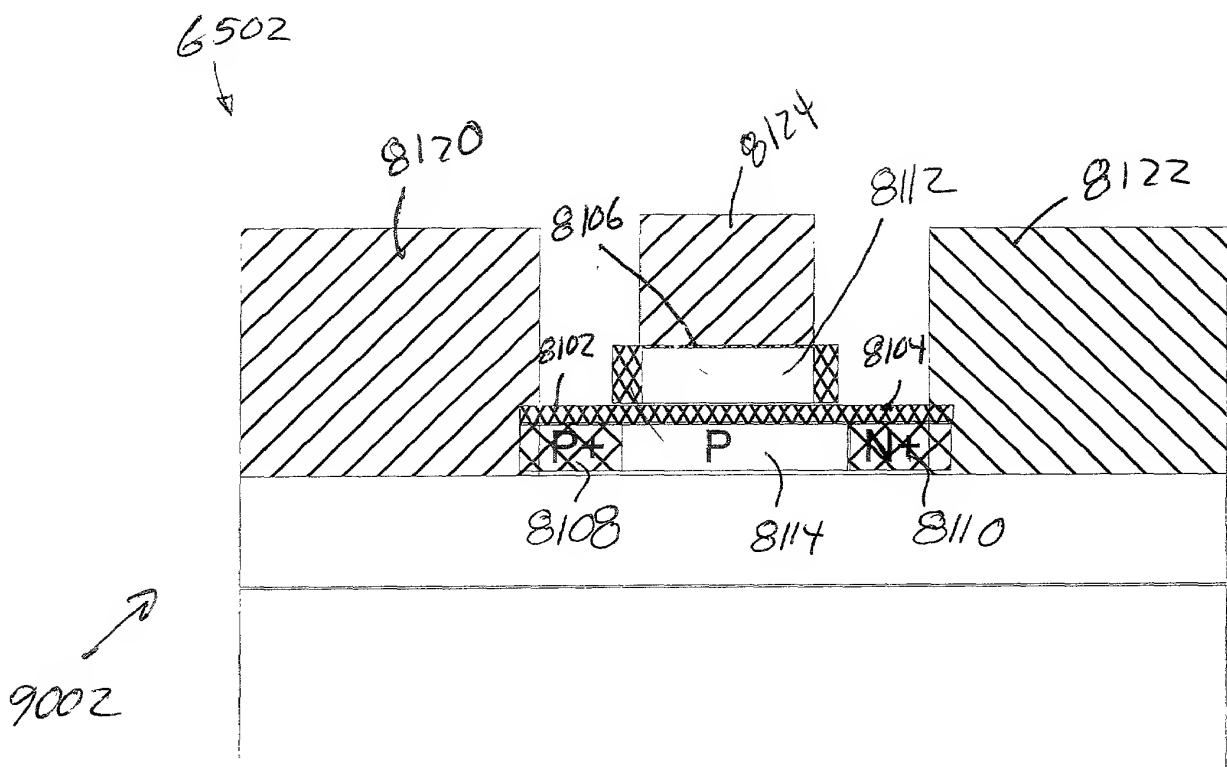


FIG. 90

55/55

6502



8170

8124

8112

8122

8106

8102

8104

8108

8114

8110

P P

9002

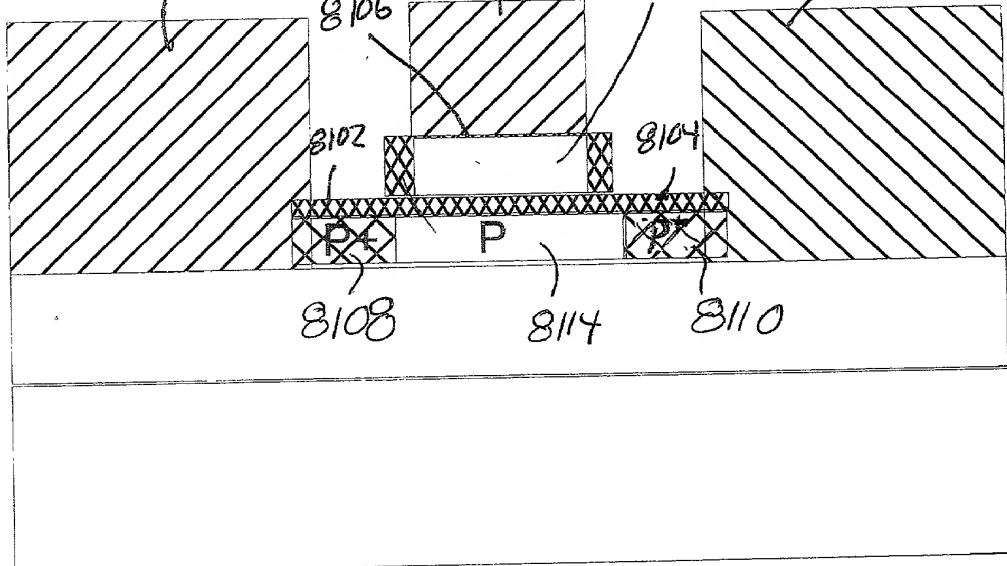


FIG. 91